

目录

第一讲 课程介绍&生态学简史	2
关键讨论议题	4
第二讲 生物与环境（个体生态或生理生态）	6
光捕获、碳固定和光呼吸	8
三种光合作用途径（C3、C4、CAM）	12
压力势、渗透势、基质势	14
$r-K$ 选择理论与植物经济谱	16
环剥	18
第三讲 提高植物光合作用的途径 CO ₂ 浓度增高对陆地生态系统的影响	20
贪青	22
植物生物量和土壤有机碳对 eCO ₂ 的响应存在权衡关系，为什么？	23
温室顶棚颜色选取	24
第四讲 种群动态与竞争	26
不同种间作用的例子	29
为什么种群动态会呈现周期性？	32
均匀分布、集群分布与随机分布	34
不对称竞争与单向竞争	36
第五讲 种群生态学的应用（害虫防治、外来种防控与人口政策）	38
第六讲 群落与生物多样性	40
α 、 β 、 γ 多样性及其测度	41
第七讲 生物多样性的濒危与保护	44
南亚热带“古热点”与横断山区“新热点”	46
PS：两个“热点”所指不同	48
第八讲 生态系统的能量流动与物质循环	49
碳源和碳汇	51
第九讲 景观生态与生态恢复	54
斑块与廊道	55
生境破碎化	57
三北防护林	59
我国的生态保护与恢复	60
第十一讲 生态学的重要法则	62
法则详解	64
第十二讲 气候变暖与碳排放	66
没有 CO ₂ 排放，自然-社会系统的变化？	69
第十三讲 水环境变化与人类健康	70
胡焕庸线	72
厄尔尼诺现象和拉尼娜现象	74
微量元素对人体健康的影响	75
第十四讲 大气环境变化与人类健康	77
污染物进入人体的途径	79
重金属污染的健康危害	80

雾霾污染的成因与危害	81
阳伞效应	82
大气运动与人类活动对大气环境的影响.....	84

第一讲 课程介绍&生态学简史

根据提供的文档内容，以下是系统化的分析总结，涵盖课程框架、生态学核心概念、学科发展及教学安排等关键维度：

一、课程基本信息

1. 课程属性

- 通识核心课 + 理工类平台课 + 城环规划类必修课
- 名称：生态学与环境变化

2. 教学团队

- 主讲教师：方精云（全球变化生态学）、王志恒（宏观生态学）、朱彪（地下生态学）、徐福留（环境生态学）
- 助教：薛锦馨（2024 级）、周元辉（2023 级直博生）

3. 时间安排

- 学期：2025 年春季（2 月 21 日开课）
 - 课时：15 次课（避开清明节、劳动节）
 - 考试：开卷考试（6 月 13 日）
-

二、生态学核心概念解析

1. “生态”的社会意义

- 影响生产（生态产业、绿色发展）、生活（衣食住行）、思维模式（环保意识、生态文明国策）；
- 与“五位一体”国家战略直接关联，成为社会共识。

2. 生态与生态学的关系

- 生态：社会文化概念（象征自然、健康的生活方式）；
- 生态学：科学学科（研究宏观生命系统的结构、功能及动态）。

3. 生态学的新定义

- 研究宏观生命系统及其与环境关系的科学；
 - 目标：为人类认识、利用、保护自然提供理论及解决方案；
 - 学科定位：独立一级学科（与生物学、地理学等并列），兼具自然科学与交叉学科属性。
-

三、课程内容与结构

第一部分：生态学理论与应用（12 讲）

主题	主讲人	核心内容
生态学简史	方精云	概念起源、学科发展脉络
生物与环境	朱彪	个体生态学
光合能力提升	朱彪	植物生理生态

种群动态与竞争	王志恒	种群生态学模型
外来种与害虫控制	王志恒	入侵生物学、人口动态
群落与生物多样性	王志恒	群落结构、多样性机制
生物多样性保护	王志恒	濒危机制与保护策略
生态系统物质/能量循环	朱彪	生态系统生态学
景观生态与生态恢复	王志恒	景观尺度过程与修复实践
野外考察	-	中国科学院植物所实践
生态学定律	王志恒	基础法则（如能量十分之一定律）
气候变化生态影响	方精云	全球变化与生态响应

第二部分：环境变化专题（3 讲）

- 水环境变化（徐福留）
 - 大气环境变化（徐福留）
 - 期末交流与答疑（朱彪、王志恒）
-

四、生态学学科发展脉络

1. 历史分期

- 萌芽期（17世纪前）：原始生态记录（如《管子·地员篇》）、古希腊分类学（亚里士多德）。
- 建立期（17–20世纪初）：
 - 林奈提出“自然经济学”（1749）；
 - 洪堡奠基植被地理学（安第斯山脉垂直带）；
 - 海克尔首次定义生态学（1866）；
 - 三好学生译“生态学”引入亚洲（1895）。
- 成长期（1900s–1950s）：
 - 群落生态学（Clements、Tansley）；
 - 生态系统理论（Tansley 提出概念，Lindeman 能量定律）；
 - 《生态学基础》（Odum, 1953）出版。
- 现代期（1960s–今）：
 - 分支学科爆发（岛屿生物地理学、分子生态学）；
 - 国际计划推动（IGBP、MAB）；
 - 技术革新（遥感、大数据）。

2. 中国生态学发展

- 张珽首次引入“生态学”概念（1916）；
 - 李继侗开设首门课程（1931）、费鸿年出版首部专著（1937）；
 - 侯学煜推动应用生态学（橡胶种植、植被调查）；
 - 当代成为全球最大研究群体。
-

五、生态学学科体系

分支学科划分方式

分类依据	代表性分支学科
研究层次	个体→种群→群落→生态系统→景观→全球生态学
生物类群	植物/动物/微生物/昆虫生态学
生境类型	陆地/海洋/淡水/岛屿生态学
研究性质	理论生态学、应用生态学（农业/城市/恢复生态学）

二级学科新框架（7类）

1. 植物/动物/微生物生态学
 2. 生态系统生态学
 3. 景观生态学（地理-生态交叉）
 4. 修复生态学（污染/恢复/生态工程）
 5. 可持续生态学（支撑生态文明建设）
-

六、教学安排与资源

- 授课形式：讲授为主（90分钟）+课堂讨论（10分钟）
 - 考核方式：
 - 平时成绩（20%）：5次课堂测验；
 - 期末考试（80%）：开卷。
 - 教材：
 - 《生态学：从个体到生态系统》（Begon等著）
 - 课程目标：
 - 掌握生态学核心理论与现象；
 - 应用原理指导环境保护、国土规划、绿色发展实践。
-

七、关键讨论议题

1. 生态学如何从生物学分支发展为独立一级学科？
 2. 现代生态学如何支撑“生态文明”国家战略？
 3. 宏观生命系统研究为何成为学科核心？
 4. 交叉学科特性如何体现（如景观生态学连接地理学）？
-

总结

该课程以贯通理论与应用为特色，结合经典生态学框架与环境变化前沿议题，通过跨尺度研究（个体→全球）和交叉学科视角（地理、社会、工程），培养学生解决实际生态环境问题的能力。课程设计紧密呼应国家“五位一体”战略，强调生态学在推动可持续发展和生态文明建设中的科学价值。

关键讨论议题

以下是对课程文档最后提出的**关键讨论议题**的详细解答，结合生态学学科发展、现代特征及其社会价值展开分析：

议题一：生态学如何从生物学分支发展为独立一级学科？

核心驱动力：

1. 研究对象的拓展
 - 传统生物学聚焦生物体结构、功能及遗传机制；
 - 生态学将视角扩展到生物与环境互作的宏观系统（种群、群落、生态系统），形成独特研究对象。
2. 方法论革新
 - 引入系统科学（如 Tansley 的“生态系统”概念）、空间分析（景观生态学）、全

球尺度模型（全球变化研究），超越传统生物学实验范式。

3. 社会需求推动

- 环境危机（如《寂静的春天》引发的公害事件）凸显生态学在解决污染、生物灭绝、气候变化等问题中的不可替代性；
- 中国将“生态文明”纳入国家战略，亟需生态学作为独立学科提供理论支撑。

标志性事件：

- **1990年代国际学科重组**：生态学与生物学分离，成为与地理学、环境科学并列的领域；
- **中国教育部学科调整**：2011年将生态学升为理学一级学科（代码0713），确立其基础科学地位。

议题二：现代生态学如何支撑“生态文明”国家战略？

三大支撑路径：

1. 理论基石

- **可持续生态学**（二级学科）：研究资源承载阈值、生态足迹，为国家划定“生态保护红线”提供依据；
- **恢复生态学**：指导退化生态系统修复（如课程中徐福留的水/大气环境治理研究）。

2. 实践工具

- **生态产业设计**：将课程中“生态工业/农业”原理转化为循环经济模式（如桑基鱼塘系统）；
- **城市生态规划**：应用景观生态学（王志恒讲授）优化城市绿地网络，提升人居环境。

3. 决策支持

- **全球变化研究**（方精云团队）：预测气候变化对生物多样性的影响，支撑国家“双碳目标”；
- **生物多样性保护**（王志恒研究方向）：制定物种保护名录与自然保护区规划。

政策衔接案例：

- 课程强调的“五位一体”总体布局中，生态学直接服务于生态建设维度，通过科学评估环境容量约束经济发展速度与模式。

议题三：宏观生命系统研究为何成为学科核心？

必然性分析：

1. 复杂性问题的要求

- 单一生物或局部环境无法解释跨尺度现象（如候鸟迁徙涉及个体行为-种群动态-气候系统耦合）；
- 宏观系统研究（如景观、生物圈）才能破解生物多样性维持、碳循环等全局性问题。

2. 技术革命的赋能

- **遥感与 GIS**：实现大范围生态系统实时监测（课程野外考察使用卫星数据）；
- **大数据建模**：整合多源数据模拟生态系统演变（如朱彪的生态系统物质循环模型）。

3. 学科本质的回归

- 生态学定义强调“宏观生命系统”（课程新定义），其动态需在**系统层级**（如食

物网、能量网) 中被解析, 微观机制仅作为补充。

典型例证:

- 方精云的气候变化研究需在全球尺度关联植被格局-碳汇功能-大气 CO₂浓度, 微观光合机制仅作为底层解释。

议题四：交叉学科特性如何体现？以景观生态学为例

交叉性三维解析:

维度	交叉学科	融合体现
空间尺度	地理学	借用地理空间分析技术 (如土地利用分类、生境破碎化评价)
技术方法	信息科学	结合遥感影像解译与机器学习算法预测景观变化 (课程野外考察技术基础)
应用目标	城乡规划学	指导生态基础设施布局 (如绿地廊道设计缓解城市热岛效应)
理论根基	生态学 + 系统科学	将“斑块-廊道-基质”模式与生态系统能物流理论整合 (王志恒授课内容)

课程中的典型交叉:

- 城环学院开设背景: 城市规划需融合景观生态学 (空间格局优化) 与环境变化 (徐福留研究方向), 体现“自然-社会”系统耦合。

总结: 生态学的当代使命

课程文档揭示的核心逻辑:

生态学 = 认识论 (理解宏观生命系统) + 实践论 (支撑可持续发展)

其独立学科地位、交叉属性及宏观视角, 使其成为解决人类生存危机的核心科学工具, 最终服务于“人与自然和谐共生”的生态文明愿景。

第二讲 生物与环境 (个体生态或生理生态)

文档内容分析

该文档为北京大学城市与环境学院朱彪教授的生态学课程讲义 (第二讲), 聚焦个体生态学 (生理生态学), 系统阐述了生物 (有机体) 与环境间的相互作用机制。以下是核心内容的结构化分析:

一、生态学基础框架

1. 生态学定义
 - 综合交叉学科, 研究生物与环境的关系。
2. 研究尺度
 - 个体 → 种群 → 群落 → 生态系统 → 生物圈 (景观/区域/全球)。
 - 各尺度关注点: 个体 (生长/适应)、种群 (动态/进化)、群落 (种间作用)、生态系统 (物质循环/能量流动)、生物圈 (全球过程)。

二、核心理论模块

1. 物种环境耐受性与生态位

- 李比希最小因子定律

- 生长受最稀缺资源（限制因子）制约。
- 案例：朱永官院士因土壤学研究获 2022 年李比希奖，凸显该理论在现代环境科学的应用。

- 生态位理论 (Hutchinson, 1957)

- 基础生态位：无种间竞争时的理想生存条件（物理环境决定）。
- 现实生态位：受生物相互作用（如竞争、促进）压缩后的实际生存空间。
- 图示：n 维超体积模型展示竞争导致的生态位收缩（图 12.14）。

2. 光合作用与呼吸作用

- 光合作用途径

类型	关键特征	适应环境
C3	常规途径，RuDP 酶固定 CO ₂	温带地区
C4	空间分离 (PEP 酶 + RuDP 酶)	高温强光干旱环境
CAM	时间分离 (夜间固定 CO ₂ , 白天合成)	极端干旱环境

- 数据支持：C3/C4/CAM 光合能力对比表（补偿点、蒸腾速率、生产力等）。

- 全球 C4 植物分布

- 集中于暖干地区 (Osborne et al., 2014)，如热带草原。
- 前沿应用：C4 水稻工程 (c4rice.com) 旨在提升作物光合效率和水分利用。

- 呼吸作用

- 公式： $C_6H_{12}O_6 + 6O_2 \rightarrow 6CO_2 + 6H_2O + ATP$ 。
- 温度敏感性：Q10 随温度升高而下降 (Atkin & Tjoelker, 2003)。
- 与氮含量正相关 (Reich et al., 2008)。

3. 生物对环境的适应

- 温度适应

- 大气候 vs. 微气候（植被、坡向、地表颜色等局部因素调控）。
- 光合最适温度与物种原生环境相关（适应性进化）。
- 高山树线规律：全球树线处根系土壤温度恒定为 6.7°C (Körner & Paulsen, 2004)。

- 水分适应

- 水势公式： $\psi_t = \psi_p$ (压力势) + ψ_o (渗透势) + ψ_m (基质势)。
- 土壤-植物-大气连续体 (SPAC)：水分沿水势梯度运输。
- 关键实验：环割树木验证光合产物运输依赖韧皮部 (Högberg et al., 2001)。

4. 生活史策略与功能性状

- r-K 选择理论

- r 策略：小体型、快生长、多后代（如蒲公英）。
- K 策略：大体型、慢生长、少后代（如橡树）。

- 植物经济谱

- 叶片经济谱 (Wright et al., 2004)：资源获取型 vs. 资源保守型。
- 根系经济谱 (Carmona et al., 2021)：细根（高吸收效率） vs. 粗根（高持久性）。
- 关联性：叶-根性状协同进化（如比根长 SRL 与比叶面积 SLA 正相关）。

三、图示与案例

- **关键配图：**
 - Hutchinson 生态位模型、C4/CAM 途径示意图、全球 C4 植物分布图、树线温度规律图。
 - **研究案例：**
 - 朱永官获李比希奖（中国土壤学突破）、C4 水稻工程（农业应用）、树木高度限制机制（水分运输极限）。
-

四、课程延伸

- **推荐阅读：**
 - Wright et al. (2004) 叶经济谱、Laliberté (2017) 根系功能性状、Carmona et al. (2021) 根系经济空间。
 - **教材：**《生态学—从个体到生态系统（第四版）》第 1-4 章。
-

总结

该讲义以生理过程（光合/呼吸）为切入点，串联环境适应（温度/水分）与生活史策略，构建了从微观机制到宏观规律的个体生态学框架。通过经典理论（如李比希定律、生态位模型）与前沿研究（如根系经济谱、C4 工程）的结合，体现了生态学在解决全球变化与粮食安全中的关键作用。

光捕获、碳固定和光呼吸

好的，我们来深入探讨光合作用的核心过程：光捕获、碳固定以及与之密切相关的光呼吸。理解这三者及其相互关系是掌握植物如何将光能转化为化学能并构建生命基础的关键。

1. 光捕获：将阳光转化为化学能

- **定义：**光捕获是光合作用的第一阶段（光反应），发生在叶绿体的类囊体膜上。其核心功能是吸收太阳光的光子，并将其能量转化为活跃的化学能形式（ATP 和 NADPH），用于后续的碳固定。
- **关键参与者：**
 - **光合色素：**叶绿素 a、叶绿素 b、类胡萝卜素等。它们吸收特定波长的可见光。
 - **光系统 II (PSII)：**包含色素复合体（捕光天线复合体 II, LHCII）和反应中心。光系统 II 负责水的裂解（光解水），释放氧气、质子和电子。
 - **光系统 I (PSI)：**包含色素复合体（捕光天线复合体 I, LHCI）和反应中心。光系统 I 负责最终将电子传递给 NADP⁺，形成 NADPH。
 - **电子传递链：**连接 PSII 和 PSI 的一系列载体蛋白（如质体醌 PQ、细胞色素 b6f 复合体、质体蓝素 PC），传递电子并建立质子梯度。
 - **ATP 合酶：**利用质子梯度 (H⁺浓度差，产生于类囊体腔内) 的能量合成 ATP（化学渗透偶联）。

• 核心过程：

1. **光吸收：**叶绿素等色素在类囊体膜上组成庞大的捕光天线复合体（类似于卫星天线），

它们吸收光子，将能量激发（电子跃迁到高能级）。

2. **能量传递：** 激发能量不是固定在最初吸收它的叶绿素分子上，而是在色素分子之间共振传递，像一个高效的接力棒传递，直到传递到反应中心色素分子（通常是特殊的叶绿素 a 对）上。

3. **电荷分离：** 反应中心的特殊叶绿素 a 吸收能量后，将一个高能电子“踢”出去。这个电子被一个特定的原初电子受体接收，而叶绿素分子自身带正电（氧化态）。这是将光能转化为电能的关键步骤。

4. **电子传递链与水的光解 (PSII)：**

- 在 PSII 反应中心失去的电子需要补充，它从裂解水分子中获得 ($2\text{H}_2\text{O} \rightarrow 4\text{H}^+ + 4\text{e}^- + \text{O}_2$)。氧气 (O_2) 释放到大气中，质子 (H^+) 积累在类囊体腔内。
- 反应中心释放的高能电子，通过一系列的电子载体 (PQ、细胞色素 b6f 等) 传递到 PSI。电子传递过程中，质子被从叶绿体基质“泵”进类囊体腔内，建立跨膜质子梯度（腔内高 H^+ 浓度）。

5. **NADPH 生成与循环电子传递 (PSI)：**

- PSI 的反应中心叶绿素 a 被光激发，释放另一个高能电子。这个电子通过载体（如铁氧还蛋白 Fd）最终传递给 NADP⁺，在 Fd-NADP⁺ 还原酶的作用下将其还原为 NADPH。这个过程在叶绿体基质中进行。
- **循环电子传递：** 在特定条件（如高光、低 CO_2 需要更多 ATP 时），部分从 PSI 释放的电子不经过生成 NADPH 的途径，而是通过一条旁路（循环磷酸化）绕回电子传递链，再次泵入质子，增加 ATP 合成（不产生 NADPH 和 O_2 ）。

6. **ATP 合成（光合磷酸化）：** ATP 合酶利用跨类囊体膜的质子梯度（化学渗透势能）作为驱动力，让 H^+ 离子顺浓度梯度流回基质。这个流动过程像水车带动水磨一样，推动 ADP 和 Pi 结合，合成 ATP。

- **最终产物：** ATP（能量货币）、NADPH（强还原剂）、 O_2 （副产品）。这些为碳固定提供了能量和还原力。

2. **碳固定：将二氧化碳转化为有机物**

- **定义：** 碳固定是光合作用的第二阶段（暗反应或卡尔文循环），发生在叶绿体的基质中。它利用光反应产生的 ATP 和 NADPH，将气态二氧化碳 (CO_2) 固定（共价结合）到有机分子中，主要合成碳水化合物（如葡萄糖）。

• **核心场所和参与者：**

- **核酮糖-1,5-二磷酸羧化酶/加氧酶：** RuBisCO。这是卡尔文循环中最关键、也是地球上最丰富的酶。它催化 CO_2 与起始分子 RuBP 结合。然而，它也可以催化氧合反应（见光呼吸）。
- **核酮糖-1,5-二磷酸：** RuBP，5 碳糖， CO_2 的主要受体。
- **3-磷酸甘油酸：** 3-PGA， CO_2 固定后形成的第一个稳定产物（3 碳）。
- **1,3-二磷酸甘油酸：** 1,3-BPG。
- **甘油醛-3-磷酸：** G3P。这是卡尔文循环的一个重要输出物和再生中间体。
- **ATP 和 NADPH：** 来自光反应。

• **核心过程（卡尔文循环的三个阶段）：**

1. **碳固定（羧化反应）：**

- RuBisCO 酶催化大气中的 CO_2 添加到五碳糖 RuBP 上。

- 产生的初始六碳中间产物极不稳定，立即水解成两个三碳分子 **3-PGA**。
- 这是碳从无机物向有机物转化的关键一步。

2. 还原阶段：

- 在 **ATP** 供能和 **NADPH** 提供还原力的驱动下，每个 3-PGA 分子首先被磷酸化（由 ATP）生成 **1,3-BPG**。
- 接着，**NADPH** 将高能中间体 1,3-BPG 还原为 **G3P**（也是糖酵解中的中间产物）。
- G3P 是 **卡尔文循环的第一个三碳糖产物**，它可以从循环中被移出用于合成其他有机物（如蔗糖、淀粉）。

3. RuBP 的再生：

- 为了让循环持续进行，大部分 G3P 并非被输出，而是需要重新生成 **RuBP** 以接收下一个 CO_2 分子。
- 这个过程需要消耗大量的 **ATP** 和经过复杂的糖分子重组（涉及转酮酶、转醛酶、醛缩酶等酶），将 5 个三碳糖（G3P）通过多种四碳、五碳、六碳、七碳中间体，最终重组回 3 个五碳糖 **RuBP**。
- 这一步消耗了额外的能量 (**ATP**)，确保了循环的延续。
- **净反应和效率：**
 - 为了净合成一个 G3P 分子（可看作半个葡萄糖分子），需要固定 3 个 CO_2 分子。
 - 这需要消耗：6 个 **ATP**（用于还原阶段和再生阶段）和 6 个 **NADPH**（全部用于还原阶段）。
 - **RuBisCO** 的专一性不足（对 CO_2 和 O_2 ）是关键限制因素，直接导致光呼吸效率下降。

3. 光呼吸：一个“浪费”但必要的补救过程

- **定义：** 光呼吸是光反应、卡尔文循环与呼吸作用的特殊结合，是 **RuBisCO** 在氧气存在下发生氧化反应（而不是羧化反应）所引发的一个消耗过程。它消耗光能固定产生的有机物并释放 CO_2 ，不产生 **ATP** 或 **NADPH**。
- **起因：** **RuBisCO** 的双重功能
 - **羧化酶活性：** 在 CO_2 浓度相对较高时，**RuBisCO** 优先将 CO_2 加到 **RuBP** 上，进入卡尔文循环（高效合成）。
 - **加氧酶活性：** 在 O_2 浓度相对较高（高温、干旱导致气孔关闭，降低胞内 CO_2 浓度）或 CO_2 浓度过低时，**RuBisCO** 会将 O_2 加到 **RuBP** 上。
- **光呼吸的关键过程（发生场所：叶绿体、过氧化物酶体、线粒体）：**

1. 起始：在叶绿体中，**RuBisCO** 催化 $\text{RuBP} + \text{O}_2 \rightarrow 1$ 个 3-PGA + 1 个 2-磷酸乙醇酸 (2-Phosphoglycolate, 2-PG)。

- 2-PG 对细胞有潜在毒性。

2. 过氧化物酶体：2-PG 被运送到过氧化物酶体（一种细胞器），被磷酸酶转化为乙醇酸。乙醇酸在乙醇酸氧化酶催化下氧化为乙醛酸，同时消耗 O_2 并产生过氧化氢 (H_2O_2)。过氧化氢被过氧化氢酶分解为 H_2O 和 O_2 。

3. 线粒体：乙醛酸被氨基转移酶转化为甘氨酸（此步消耗谷氨酸或丝氨酸提供氨基）。

两个甘氨酸分子在线粒体内发生反应： 2 甘氨酸 \rightarrow 丝氨酸 + CO_2 + NH_3 。

- *这里释放 CO_2 ！*（这就是为什么光呼吸造成“损失”）。
- 同时产生有毒的氨 (NH_3)。

4. 回到过氧化物酶体/叶绿体：丝氨酸回到过氧化物酶体，被转氨基、脱羧等反应转化为羟基丙酮酸，然后还原为甘油酸。甘油酸进入叶绿体。
 5. 结束：甘油酸在叶绿体中被磷酸化（消耗 ATP）形成 **3-PGA**，重新进入卡尔文循环。
 - 有毒的氨在叶绿体中需要消耗额外的 ATP 和还原力（可能来自光反应）被重新同化为氨基酸。
- 后果与生物学意义：
 - 能量和碳损失：光呼吸消耗碳（损失 25% 左右固定碳作为 CO₂）、消耗能量（ATP）和还原力（NADPH）用于处理 2-PG 和重新固定氨。降低了光合效率。
 - 看似浪费，但并非完全无用：
 - 解除光抑制：在高光强下，光反应过剩产生的能量（尤其是还原力 NADPH）可能导致活性氧积累，损伤光合机构。光呼吸提供了一条电子“泄洪通道”，消耗还原力和过剩的能量（ATP），保护光系统。
 - 维持 C₃ 植物在胁迫下的生存：在高温、干旱、强光、盐胁迫等条件下气孔关闭导致胞内 CO₂ 浓度下降，O₂ 浓度相对升高。此时光呼吸是消耗 RuBP 和过剩 NADPH/ATP 并回收部分碳（虽然不高效）的重要途径，避免卡尔文循环完全停滞和活性氧大量产生，有助于植物度过胁迫。
 - 氮代谢整合：参与丝氨酸和甘氨酸的代谢。
 - C₃ vs C₄ vs CAM 植物：C₃ 植物（如水稻、小麦、大豆）因 RuBisCO 暴露于大气（O₂:CO₂比例高）而光呼吸损失严重（可达 25-50%）。C₄ 植物（如玉米、甘蔗）和 CAM 植物（如菠萝、仙人掌）通过 **空间分隔 (C₄)** 或**时间分隔 (CAM)** CO₂ 浓缩机制，在叶肉细胞中临时固定 CO₂ 成四碳酸，再转运到维管束鞘细胞 (C₄) 或白天 (CAM) 释放高浓度 CO₂ 给卡尔文循环的 RuBisCO，大大减少了光呼吸。

总结与联系

1. 协同与循环：
 - 光捕获收集太阳能，制造 ATP 和 NADPH。
 - 碳固定（卡尔文循环）利用 ATP 和 NADPH 固定 CO₂ 合成有机物（主要是 G3P）。
 - 光呼吸是 RuBisCO 错误结合 O₂ 的副产品，需要消耗额外的 ATP、NADPH 来化解并回收部分碳（损失 CO₂）。
2. 光呼吸的关键触发点：RuBisCO 的氧合活性。当大气中 CO₂/O₂ 比例不利于 RuBisCO 发挥羧化活性（通常是气孔关闭导致胞内 CO₂ 低）时，就会启动光呼吸途径。
3. 能量流动：
 - 光能 → (光捕获) → ATP & NADPH → (卡尔文循环) → G3P (化学能储存)
 - RuBisCO + O₂ → 光呼吸 → 消耗 ATP & NADPH & 碳 → 损失能量（部分回收为 3-PGA）
4. 进化与适应：RuBisCO 的“不完美”（加氧酶活性）可能是地球大气从低 O₂ 到高 O₂ 演化过程中遗留的问题。植物通过多种策略（如 C₄、CAM 途径）进化以减少其负面影响，表明了生物对环境的适应性。

理解光捕获、碳固定和光呼吸及其相互制约关系，不仅能掌握光合作用的核心机制，也能理解作物生产面临的挑战（如热害、旱害下的光呼吸损耗）以及未来农业改良（如提高 RuBisCO

羧化效率或工程改造更高效的碳固定途径) 的努力方向。

三种光合作用途径 (C3、C4、CAM)

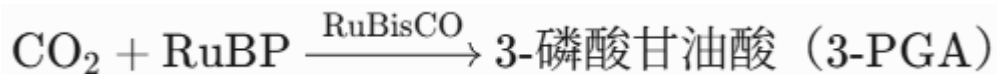
以下是三种光合作用途径 (C3、C4、CAM) 的详细解析, 涵盖机制、适应环境及生态意义:

1. C3 光合作用途径

机制特点

- 碳固定过程:

仅通过 卡尔文循环 在叶肉细胞中完成, 关键酶为 RuBisCO (核酮糖-1,5-二磷酸羧化酶/加氧酶)。



- 光呼吸问题:

RuBisCO 易与 O₂结合 (尤其在高温干旱时), 生成 2-磷酸乙醇酸 (有毒), 需消耗能量降解 (损失 20-50% 碳固定效率)。

适应性与分布

- 典型植物:

小麦、水稻、大豆等温带作物 (占植物物种的 85%)。

- 环境局限:

最适温度 15-25°C; 强光下易光呼吸, 在高温 (>30°C)、干旱或低 CO₂环境中效率骤降。

- 同位素标记:

δ¹³C 值较高 (-22‰至 -30‰), 因 RuBisCO 优先结合¹²CO₂。

2. C4 光合作用途径

机制特点

- 空间分离策略:

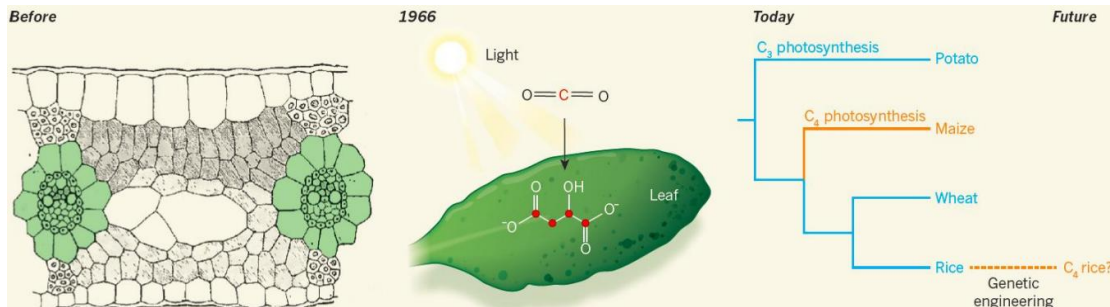
- 步骤 1 (叶肉细胞):

PEP 羧化酶固定 CO₂生成 四碳酸 (草酰乙酸→苹果酸/天冬氨酸)。该酶对 CO₂亲和力极强 (几乎无光呼吸)。



- 步骤 2 (维管束鞘细胞):

四碳酸脱羧释放高浓度 CO₂, 供 RuBisCO 高效进行卡尔文循环 (形成“CO₂ 泵”效应)。



适应性与分布

- **典型植物:**
玉米、甘蔗、高粱及暖干草原优势草种（如狗尾草）。
- **环境优势:**
 - 高温适应: 最适温度 30-40°C (PEP 羧化酶耐热)。
 - 节水高效: 气孔导度低, 水分利用效率 (WUE) 是 C₃ 植物的 2 倍。
 - 低 CO₂ 利用: CO₂ 补偿点接近 0 ppm (表 1)。
- **全球分布:**
热带/亚热带干旱区 (图: Osborne et al. 2014)。
- **同位素标记:**
 $\delta^{13}\text{C}$ 值较低 (-12‰至-15‰), 因 PEP 羧化酶无碳同位素分馏效应。

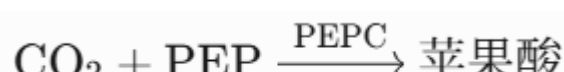
农业应用

- **C4 水稻工程** (c4rice.com):
将 C₄ 机制导入水稻, 目标增产 50% 并提升抗旱性 (尚未完全成功)。

3. CAM (景天酸代谢) 途径

机制特点

- **时间分离策略:**
 - 夜间 (气孔开放):
类似 C₄ 途径, PEP 羧化酶固定 CO₂生成苹果酸, 储存于液泡。
 - 白天 (气孔关闭):
苹果酸脱羧释放 CO₂, 供 RuBisCO 进行卡尔文循环 (避免蒸腾失水)。



适应性与分布

- **典型植物:**
仙人掌、龙舌兰、凤梨、景天科多肉植物。
- **环境优势:**
 - 极端节水: 气孔仅在凉爽夜间开放, WUE 可达 C₃ 植物的 10 倍。
 - 高温干旱耐受: 可在沙漠或岩石缝隙生存。
- **局限性:**
生长缓慢, 最大光合速率仅 1-4 mg CO₂/dm²/h (表 1)。

生态意义

- **碳固定灵活性:**
部分 CAM 植物 (如龙舌兰) 在水分充足时可转为 C₃ 模式, 提升生长速率。

三途径关键对比

参数	C3 途径	C4 途径	CAM 途径
碳固定初始酶	RuBisCO	PEP 羧化酶	PEP 羧化酶
CO ₂ 浓缩机制	无	空间分隔 (CO ₂ 泵)	时间分隔 (夜间固碳)
光呼吸损耗	高 (20-50%)	可忽略 (<5%)	可忽略
最适温度 (°C)	15-25	30-40	≈35 (昼夜均适)
水分利用效率 (WUE)	低	中等 (C3 的 2 倍)	极高 (C3 的 5-10 倍)
CO ₂ 补偿点 (ppm)	30-70	0-10	0-5 (夜间)
典型生境	温带湿润区	热带/亚热带干旱区	极端干旱区

进化与生态启示

1. 演化逻辑:

C4 和 CAM 途径是植物对 低 CO₂浓度 (新生代以来) 和 干旱胁迫 的适应性进化 (独立演化超 60 次)。

2. 气候响应:

全球变暖可能扩大 C4 植物分布, 但 CO₂浓度升高会削弱其竞争优势 (因 C3 植物光呼吸减少)。

3. 人类利用:

理解 C4/CAM 机制有助于设计抗旱作物 (如 CAM 性状导入小麦), 应对粮食安全挑战。

推荐扩展:

- Sage et al. (2012) "C4 Photosynthesis Evolution" - *Annual Review of Plant Biology*
- Borland et al. (2011) "Engineering CAM into Crops" - *Trends in Plant Science*

压力势、渗透势、基质势

以下是关于植物水势的三个关键分量——压力势 (ψ_p)、渗透势 (ψ_π) 和基质势 (ψ_m) 的详细解析, 涵盖定义、物理意义、计算公式及生态应用:

1. 压力势 (Pressure Potential, ψ_p)

定义与机制

• 物理本质:

细胞壁对原生质体产生的静水压力 (膨压), 或外部压力 (如土壤水压)。

• 方向性:

- 正压力势 ($\psi_p > 0$): 细胞吸水膨胀时产生 (如根系内皮层细胞)。

- 负压力势 ($\psi_p < 0$): 木质部导管中张力导致 (蒸腾拉力下)。

• 公式:

$$\psi_p = P - P_0$$

(P 为细胞实际压力, P₀为参照大气压)。

生态意义

- **细胞刚性维持:**
膨压支撑薄壁细胞结构 (如叶片挺立);
 - 膨压丧失 → 萎蔫 ($\psi_p \approx 0$)。
- **气孔开闭调控:**
保卫细胞通过 K^+ 调节渗透势 → 压力势变化 → 气孔运动。

2. 渗透势 (Osmotic Potential, ψ_π)

定义与机制

- **物理本质:**
溶液中溶质浓度引起的化学势降低 (水势负值的主因)。
- **定量规律:**
 - 范特霍夫方程:

$$\psi_\pi = -iCRT$$

- C: 摩尔浓度 (mol/L)
- R: 气体常数 (8.314 J/mol·K)
- T: 绝对温度 (K)
- i: 解离系数 (NaCl 为 1.8, 蔗糖为 1)
- 范围: 陆生植物细胞 ψ_π 通常在 $-0.5 \sim -2.0 \text{ MPa}$ 。

水分移动驱动力

- **半透膜两侧梯度:**
水分从高水势 (低溶质) 区域向低水势 (高溶质) 区域扩散 (图 1)。
- **植物适应实例:**
 - 盐生植物 (如碱蓬) 积累脯氨酸 → ψ_π 低至 -8 MPa → 从盐土吸水。

3. 基质势 (Matric Potential, ψ_m)

定义与机制

- **物理本质:**
固体基质 (土壤颗粒、细胞壁) 通过吸附力束缚水分子 (氢键、毛细作用)。
- **关键特征:**
 - **负值为主** ($\psi_m \leq 0$), 在干燥环境中主导水势 (如沙土 ψ_m 可达 -10 MPa)。
 - **计算公式:**

$$\psi_m = -A \cdot r^{-n}$$

(A 为介质常数, r 为孔隙半径, n≈2)。

生态意义

- **土壤水分有效性:**

土壤湿度阶段	主导势能	植物可利用性
饱和	压力势 ($\approx 0 \text{ MPa}$)	极易吸收
田间持水量	基质势 (-0.03 MPa)	正常吸收

永久萎蔫点	基质势 (-1.5 MPa)	不可吸收
-------	----------------	------

- 细胞壁水分调控：

种子萌发时，种皮基质势吸水膨胀 → 打破休眠。

三势能对水势的贡献

水势总和公式

$$\psi_{total} = \psi_p + \psi_\pi + \psi_m$$

- 应用场景对比：

系统	主导势能	典型值 (MPa)
成熟植物细胞	$\psi_p + \psi_\pi$	-0.5 ~ -1.2
木质部导管	ψ_p (负压!)	-2.0 (红杉可达-8)
干旱土壤	ψ_m	-3.0 ~ -10
海水	ψ_π	-2.5

实际应用案例

1. 农业灌溉决策

当土壤水势 $\psi < -1.5 \text{ MPa}$ (基质势主导)，需灌溉 (植物永久萎蔫)。

2. 耐旱育种筛选

- 仙人掌液泡积累苹果酸 → $\psi_\pi \downarrow$ → 维持吸水能力 (ψ_π 可达 -3.0 MPa)。
- 小麦根系渗透调节：合成甜菜碱 → ψ_π 降低 0.4 MPa → 抗旱性 ↑。

3. 盐碱地治理

种植柽柳 (分泌盐分) → 降低根区 ψ_π → 提升水分吸收效率。

前沿研究

- 压力探针技术：

激光探测单细胞 ψ_p 动态 (Tomos & Leigh, 1999)。

- 负压人工模拟：

仿生材料复制木质部负压输水 (Nature 2020, 584: 278)。

扩展阅读：

- Nobel, P.S. (2009) *Physicochemical and Environmental Plant Physiology*
- Taiz & Zeiger (2015) *Plant Physiology*, Ch. 4 "Water Balance of Plants"

r-K 选择理论与植物经济谱

以下是关于 r-K 选择理论与根叶经济谱的综合解析，结合生态策略与功能性状的演化逻辑，涵盖概念框架、权衡机制及生态应用：

一、r-K 选择理论：生活史策略的连续谱

1. 核心概念

- r-选择 (机会主义者)：

- 特征：高繁殖力、小体型、短世代周期、快速扩散（如蒲公英）。
- 生境：不稳定环境（干扰频繁、资源波动大）。

$$r_{\max} = \frac{\ln(R_0)}{T}$$

- 适应逻辑：

(R_0 : 净繁殖率, T : 世代时间)

- **K-选择**（竞争专家）：

- 特征：低繁殖力、大体型、长寿命、高竞争力（如红杉）。
- 生境：稳定环境（资源有限、竞争激烈）。
- 适应逻辑：K = 环境承载力的进化反馈

2. 理论扩展（Grime 的 CSR 模型）

策略类型	核心驱动因子	代表植物
C-策略	低干扰+高资源（竞争）	温带森林乔木
S-策略	高胁迫+低资源（忍耐）	沙漠仙人掌、地衣
R-策略	高干扰（开拓）	一年生杂草

💡 关键革新：植物策略受胁迫（Stress）与干扰（Disturbance）双维度驱动，而非仅种群密度（K）。

二、根叶经济谱：功能性状的权衡轴

1. 概念框架

植物通过资源分配权衡形成功能性状连续谱（“快-慢”策略）：

- 叶片经济谱（Leaf Economics Spectrum, LES）：

快策略端	慢策略端
高比叶面积（SLA）	低 SLA（厚叶）
低叶寿命（<6 月）	高叶寿命（>1 年）
高氮含量（>2%）	低氮含量（<1%）
高光合速率（> 20 μmol/m²/s）	低光合速率（<5 μmol/m²/s）

- 根系经济谱（Root Economics Spectrum, RES）：

快速资源获取	持久保守型
细根直径（<0.2 mm）	粗根直径（>0.5 mm）
高根氮浓度	低根氮浓度
低根组织密度（< 0.2 g/cm³）	高组织密度（> 0.5 g/cm³）
短寿命（<3 月）	长寿命（>1 年）

2. 根-叶协同演化

- 正向耦合（资源一致策略）：

快叶（高 SLA） \rightleftharpoons 快根（细根高氮）——如农田杂草（r-选择）。

- 解耦现象（异质环境适应）：

○ 干旱适应：慢叶（低 SLA 保水）+ 快根（深扎吸水）——如骆驼刺。

○ 贫瘠土壤：快叶（高效固碳）+ 慢根（高密度抗分解）——如高山杜鹃。

三、r-K 选择与经济谱的生态关联

1. 策略整合模型

策略维度	r-选择/快经济谱	K-选择/慢经济谱
------	-----------	-----------

资源获取	高投资回报率 (ROI)	低 ROI+长寿性状
胁迫响应	逃避 (逃避干旱/寒害)	忍耐 (贮水/抗冻组织)
干扰响应	再生 (种子库爆发)	抵抗 (树皮防火)

2. 典型生态系统案例

- **热带雨林 (K 主导+慢经济谱):**
 - 冠层乔木: 厚叶 ($SLA < 10 \text{ mm}^2/\text{mg}$) + 板根 (RES 慢) → 长期竞争。
- **草原系统 (r-K 过渡):**
 - C₄草: 中速叶 ($SLA \approx 15$) + 深细根 (RES 快) → 干湿季资源博弈。
- **苔原 (S-胁迫主导):**
 - 地衣: 极慢经济谱 ($SLA \approx 3$, 根菌共生) → 耐寒耐贫瘠。

四、生态应用与前沿进展

1. 全球变化响应预测

- **CO₂升高:**
 - C₃快策略植物受益 (光合↑), 慢策略者受限于营养稀释 ($N \downarrow$)。
- **干旱加剧:**
 - RES 慢型根 (高密度木质化) 占比↑, 深根物种扩张 (如地中海灌丛)。

2. 生态系统服务调控

- **碳封存优化:**

策略类型	碳存储潜力	管理建议
慢经济谱 (K)	高 (木质组织稳定)	保护老龄林
快经济谱 (r)	低 (易分解)	轮作增加周转碳

- **混交林设计:**

深根 (栎树, K) + 浅根快叶 (桦树, r) → 资源互补提升生产力。

3. 争议与挑战

- **光谱连续体:**
60%物种偏离“快-慢”单轴 (*Nature Ecology & Evolution*, 2021), 需多维模型 (如水力-养分权衡)。
- **菌根网络的干预:**
丛枝菌根 (AM) 推动 RES 向快速获取偏移, 挑战经典经济谱理论 (*Science*, 2023)。

推荐文献:

- Reich (2014) *The world-wide ‘fast-slow’ plant economics spectrum*
- Bergmann et al. (2020) *The fungal collaboration gradient*

总结: 从策略到生态系统功能

r-K 选择理论与根叶经济谱共同揭示了植物在资源分配、寿命权衡中的演化智慧。理解这些连续谱, 可精准预测植被对气候变化的响应, 并为生态修复 (如选配抗旱物种)、农业育种 (如 C₄ 稻引入快根性状) 提供底层逻辑。

环剥

环剥树皮 (也称环割), 即环绕树干剥去一圈完整的树皮 (包括韧皮部), 会对树木及其周围

环境产生一系列严重的负面影响，通常会导致树木死亡，并破坏生态平衡。以下是具体的影响：

1. 对树木本身的毁灭性影响（核心伤害）

- **切断营养运输通道：**
 - 树皮中的韧皮部含有负责向下运输光合作用产生的有机养分（如糖类、氨基酸）的筛管。环剥完全切断了这条至关重要的“下行运输通道”。
 - **结果：**树冠进行光合作用制造的养分无法运输到树根及根颈部位。
- **根部饥饿与死亡：**
 - 根系没有光合作用能力，完全依赖树冠提供的有机养分维持生命活动（呼吸、生长、吸收水分和矿质养分）。
 - 环剥后，根部很快耗尽储存的养分，因饥饿而停止生长并最终死亡。
- **水分和无机盐运输受阻（间接且后续）：**
 - 水分和无机盐向上运输主要通过木质部中的导管进行，位于树干内部。环剥本身不直接切断木质部。
 - **然而：**当根部因饥饿死亡后，树木就失去了吸收水分和无机盐的能力。即使导管完好，没有根吸水，整个树体的水分供应也会中断。
- **伤口暴露与次级危害：**
 - 环剥造成的大伤口暴露了脆弱的形成层（产生新树皮的关键）和木质部。
 - **易受病虫害侵袭：**真菌、细菌、蛀干害虫（如天牛、小蠹虫）极易从伤口侵入，加速树木腐朽和死亡。
 - **难以愈合：**环剥通常是整圈剥皮，树皮没有相连部分，形成层无法再生新的树皮来封闭伤口（不像部分伤口可以逐渐愈合）。伤口长期存在，持续遭受环境压力和生物侵害。
- **最终结果：**综合以上影响，被环剥的树木通常会在几周到几个月内（具体时间取决于树种、树木大小、季节和环境条件）表现出枝叶萎蔫、枯黄，树冠逐渐死亡，最终整株树木枯死。这是一个非常痛苦且不可逆转的过程。

2. 对周围环境的破坏性影响

- **树木死亡造成的连锁效应：**
 - **栖息地丧失：**死亡的树木失去了作为鸟类、松鼠、昆虫等动物栖息地、觅食地、繁殖场所的功能。
 - **生物多样性下降：**依附于该树木生存的各类生物（地衣、苔藓、共生真菌、昆虫等）也随之消失或受到严重影响。
- **水土保持能力丧失：**
 - 树木的树冠可以拦截雨水，减少地表径流。
 - 庞大的根系网络能固持土壤。
 - 树木死亡后，**水土保持能力急剧下降**。在地形起伏较大的区域，**土壤侵蚀风险增加**，山体滑坡或泥石流发生的可能性变大。在干旱或半干旱地区，地面更容易受到风蚀。
- **微气候变化：**
 - 活树能通过蒸腾作用调节周围小环境的温度和湿度，提供遮荫。
 - 树木死亡后，**地面温度升高，湿度降低，局部小气候变得更加干燥和炎热**。
- **碳汇功能消失：**
 - 活树通过光合作用吸收二氧化碳（CO₂），是重要的碳汇。
 - 树木死亡后，停止固碳。当树木逐渐腐烂分解时，反而会将储存的碳以 CO₂

或甲烷的形式释放回大气，加剧温室效应。

- **病虫害扩散：**

- 环剥造成的伤口是入侵病虫害的理想通道和孳生地。死亡的树木成为害虫（如蛀干害虫）和病菌（如引起木材腐朽的真菌）的重要来源库，可能传播蔓延，侵害周边健康的树木和植被。

- **养分循环中断：**

- 健康树木通过落叶和根系分泌物将养分归还给土壤。
- 树木死亡后，这种持续的养分循环中断，影响土壤微生物群落和土壤肥力。

- **景观破坏：**

- 死亡的树木成为景观中的不协调因素，尤其在城市公园、行道树或保护区，造成视觉上的衰败感，也失去了美化环境的功能。

总结

环剥树皮是一种极端破坏性的行为。它不仅残忍地扼杀了树木的生命，使其在痛苦中缓慢死亡，还严重破坏了依赖该树木存在的生态系统，导致水土流失加剧、生物多样性下降、小气候恶化、病虫害风险增加等一系列严重的环境问题。除了极其特殊、受严格控制的园艺目的（如对特定果树进行环割促花促果，需掌握宽度、时机且需保护形成层愈合能力），任何情况下都应绝对避免对树木进行环剥。**保护树木就是保护我们共同的环境。**

⚠ 请善待树木和森林，它们是地球生命支持系统不可或缺的部分。

第三讲 提高植物光合作用的途径 CO₂ 浓度增高对陆地生态系统的影响

以下是对文档内容的系统分析，涵盖结构框架、核心知识点与科学价值：

一、文档结构与主题

1. 标题与框架

- 主题：提高植物光合能力的途径（第五讲，生态学与环境变化课程）
- 三大核心部分：
 - 光合作用原理（生物化学与能量转化机制）
 - 提高农作物光合能力与产量的策略（农业应用）
 - 陆地生态系统对大气 CO₂ 升高的响应（全球变化视角）

2. 关键图表与数据来源

- 多幅经典生物学插图（如 Figure 10.2/10.4/10.6）源自 Campbell Biology 等教材，解释光合作用过程。
- 农业数据引用权威期刊（Annual Review of Plant Biology, Zhu et al. 2010）。
- 全球 CO₂ 监测数据来自 Keeling 曲线（1958-2016 年 Mauna Loa 观测站）。

二、光合作用原理的核心知识点

1. 光合作用参与者

- 光养生物类型：植物、藻类（巨海藻）、原生生物（眼虫）、蓝细菌、紫硫细菌。
 - 叶绿体结构：类囊体膜（光反应场所）与基质（卡尔文循环场所）。
2. 能量转化机制
- 光反应：光能→ATP/NADPH（依赖叶绿素吸收 PAR 400-700nm）。
 - 卡尔文循环：CO₂固定为有机物（依赖 ATP/NADPH）。
 - 关键现象：
 - 叶片呈绿色因叶绿素反射绿光（吸收蓝紫/红光）。
 - 天空呈蓝色因瑞利散射（短波蓝光被大气散射）。
3. 环境影响因子
- 光响应：阳生叶 vs. 阴生叶的光合效率差异（图表示例）。
 - CO₂响应：A-Ci 曲线揭示 Rubisco 酶活性限制。
 - 温度与氮素：高温抑制酶活性；氮含量影响 Rubisco 合成。
-

三、提高农作物光合能力的策略

1. 能量损失瓶颈 (Zhu et al. 2010)
- 理论最大光能转化率：C3 植物仅 4.6% (PAR 波段 9.4%)，C4 植物可达 6% (PAR 波段 12.3%)。
 - 主要损失环节：光吸收 (8%)、光保护 (10%)、Rubisco 氧合酶活性 (30%) 等。
2. 改进路径与时间表
- | 时间框架 | 改进方向 | 增产潜力 | 关键障碍 |
|------------|---------------------|------|-----------|
| 长期 (>10 年) | 改造 Rubisco (减氧合酶活性) | 30% | 酶分子机制未明 |
| 中期 | 光保护状态恢复速率提升 | 15% | 光保护通路调控复杂 |
| 近期 | 光呼吸旁路途径 | 13% | 基因工程转化效率低 |
3. 农业实践手段
- 延长光合时间：复种指数提升（轮作/套种）、生育期延长。
 - 扩大光合面积：合理密植、株型改良（矮秆/直立叶）。
 - 优化光合效率：
 - 光照：补充人工光（温室）。
 - CO₂：增施有机肥/温室增气。
 - 水肥：灌溉+氮磷钾平衡施肥。
-

四、CO₂升高对陆地生态系统的影响

1. 实验证据与尺度
- 实验室/OTC：幼苗短期响应（光合↑、气孔导度↓、生物量↑）。
 - FACE 实验：自然生态系统长期响应（全球 13 个站点，如 Duke 森林）。
 - 共性发现：干旱/富营养站点响应更强 (Norby et al. 2016)。
 - 空白区：热带雨林（磷限制）、北方针叶林、成熟温带林。
2. 未解科学问题
- 碳分配权衡：植物生物量↑ vs. 土壤碳储量↓ (Terrer et al. 2021, Nature)。
 - 长期平衡：NPP 初始提升是否持续？或转向器官周转加速（叶/根凋落）。
 - 模型瓶颈：缺乏成熟森林数据（现存 FACE 多针对人工林）。
-

五、文档的科学价值

1. 跨尺度整合：从分子机制（Rubisco 酶）→ 作物生理 → 全球碳循环。
2. 应用导向：提出分阶段农艺改良路径，直指粮食安全。
3. 前沿警示：指出热带/北方森林数据缺失，呼吁新一代 FACE 实验。

结论：该文档系统解析光合作用优化路径，并强调大气 CO₂上升背景下陆地生态系统的复杂响应，为农业增产与碳汇管理提供理论支撑。推荐延伸阅读：

- Zhu et al. 2010 (光合效率改进)
- Norby et al. 2016 (FACE 综述)
- Terrer et al. 2021 (植物-土壤碳权衡)

贪青

“贪青”是农业领域常见术语，具体指作物在生长后期（尤其是生殖生长期）因环境或管理不当，导致营养生长持续过旺、延迟成熟的现象。以下是具体解析：

核心特征

1. 生育期失衡：
 - 本该转向籽粒发育的阶段，茎叶仍持续旺盛生长，植株保持浓绿色（即“贪恋青绿”）。
 - 如玉米抽雄后茎叶徒长、小麦灌浆期茎秆持续拔高等。
2. 直观表现：
 - 叶片叶绿素降解延迟，植株迟迟不转黄（正常成熟时叶片应逐渐枯黄）。
 - 穗粒灌浆受阻，出现空瘪粒、干粒重下降（减产主因）。

主要成因

类型	具体原因
氮肥过量	后期氮肥过多→促进蛋白质合成→茎叶徒长，抑制生殖器官营养积累。
水分过多	灌浆期土壤过湿→根系活力下降，光合产物向籽粒转运效率降低。
温度异常	秋季持续高温→延缓植株衰老；寒流突袭→代谢紊乱停滞灌浆（双重风险）
种植密度高	群体荫蔽→光合效率下降，养分竞争偏向营养器官。
品种缺陷	某些晚熟品种对光温敏感度低，在异常气候下易贪青。

对农作物的危害

- **减产**：光合产物被茎叶消耗，籽粒灌浆不充实（如水稻空秕率可升 30%）。
- **品质下降**：籽粒含水量高（如玉米 > 28%）、蛋白质积累不足。
- **抗逆性弱**：晚熟植株易遭遇早霜冻害（如东北玉米未成熟即冻死）。
- **收割困难**：茎秆含水高易倒伏，机械收割时易堵塞设备。

防控措施

1. 水肥调控：
 - 控氮：生殖生长期减少氮肥，增施磷钾肥（如玉米大喇叭口期后停氮）。
 - 控水：灌浆期保持田间“见干见湿”，避免持续淹水（水稻需适时晒田）。
2. 品种与农艺优化：
 - 选择当地适应性强的中早熟品种。
 - 合理密植（如玉米每亩 4500 株以下），改善群体透光。
3. 化学调控：
 - 喷施乙烯利等催熟剂促进衰老（需严格掌握浓度与时机）。
 - 叶面喷施磷酸二氢钾（0.3%）加速养分向籽粒转移。

典型案例

- 东北玉米：秋季遇持续暖湿天气→籽粒脱水慢→机收时籽粒破损率高，霉变风险增加。
 - 南方双季稻：晚稻抽穗后氮肥过量→遭遇“寒露风”低温→灌浆停止→减产绝收。
-

总结：“贪青”本质是作物营养生长与生殖生长失调的结果，通过精准肥水管理、品种优化及化控手段可有效规避，对保障粮食适时收获和产量品质至关重要。

植物生物量和土壤有机碳对 eCO₂ 的响应存在权衡关系，为什么？

植物生物量和土壤有机碳 (SOC) 对大气 CO₂ 浓度升高 (eCO₂) 的响应常表现出此消彼长的权衡关系 (trade-off)，其核心机制源于生态系统碳分配的优先级冲突与养分限制，以下是具体解析：

关键机制：碳-养分耦合失衡

1. 植物生物量增加 (碳输入↑)

- 光合作用增强：eCO₂ 直接提高 C₃ 植物光合速率 (Rubisco 酶效率 ↑)，植物捕获的碳增多。
- 碳分配向地上部分倾斜：
多将碳用于构建茎、叶等地上的生物量（如 FACE 实验显示：eCO₂ 下植物生物量平均 ↑ 20%），但对根系深层碳投入（如顽固性碳化合物）增长有限。

2. 土壤有机碳提升受阻 (碳留存↓)

- 根系分泌物“质变”稀释效应：
eCO₂ 下根系分泌物量 ↑ (如糖类、有机酸)，但碳化学稳定性 ↓ (易分解组分比例高) → 微生物利用效率高 → 加速分解。
- 微生物激发效应 (Priming Effect)：
新鲜根系分泌物刺激微生物活性 → 促进原生 SOC 分解 (“土壤碳损耗效应”)，抵消新碳输入 (如部分实验 eCO₂ 下 SOC 分解速率 ↑ 12%)。
- 养分限制加剧 (N/P 失衡)：
eCO₂ 导致植物组织 C:N 比 ↑ (如叶片 C:N ↑ 15%)，凋落物更难分解；微生物因氮/磷

饥饿，需分解老 SOC 获取养分→进一步矿化土壤碳库。

证据支持：全球尺度数据

- **生物量与 SOC 响应的负相关：**
多数 eCO₂实验（如 Duke FACE、瑞士草地实验）显示：植物生物量↑显著的群落，SOC 积累多呈弱响应甚至下降（*Nature, 2021*）。
- **时间尺度的分异：**
短期内(<5 年) 植物生物量响应主导；长期(>10 年) SOC 可能因养分耗尽而停止积累（*Global Change Biology, 2019*）。

深层次驱动因素

因素	对植物生物量的影响	对 SOC 的影响	权衡关系成因
碳分配策略	优先地上生长（快速获取光资源）	根系深层固碳减少	植物“投资策略”偏向短期收益
微生物群落适应	与植物共生菌活性↑	腐生菌(r-strategists)激活↑	新碳输入→激发老碳分解
土壤养分固定	植物 N 需求↑→竞争吸收土壤有效 N	SOC 形成需 C+N→氮限制加剧	碳输入放大氮磷限制

生态意义与启示

1. **资源竞争本质：**
植物与微生物在有限养分(N/P)条件下对碳资源的竞争，导致碳储存渠道分流（地上生物量 vs. 土壤碳库）。
2. **碳汇潜力高估风险：**
单纯根据植物生长响应预测 eCO₂的固碳效应，可能因忽略 SOC 动态而高估（需整合碳-养分循环模型）。
3. **管理对策：**
通过添加功能性微生物（如固氮菌）、优化养分管理（如磷添加）可缓解权衡，协同提升植物与土壤固碳。

结论：eCO₂下“植物生物量↑ - SOC 响应弱”的权衡核心源于光合碳分配优先级与土壤养分限制的互作。理解这一关系对准确预测全球变化下的碳循环至关重要，也揭示未来碳汇潜力依赖于生态系统养分平衡的重建。

温室顶棚颜色选取

为了提高温室中植物的光合作用效率，最优化的选择是使用无色透明的玻璃做顶棚。

原因如下：

1. **最大化光照强度和全光谱利用率：**
 - 光合作用利用的是可见光（大致在 400-700 纳米波长的光），并且主要依赖叶绿素 a 和 b 等色素来吸收光能。
 - 叶绿素吸收红光（约 660nm）和蓝光（约 450nm）的效率最高，但也会吸收其他波长的可见光（如紫光、橙光），只是效率相对较低。类胡萝卜素等

其他光合色素也会吸收蓝绿光。

- 无色透明玻璃对整个可见光范围的透光率都很高且相对均匀（通常在 80%-90%以上），允许最大量的光子进入温室，提供植物进行光合作用所需的最广泛的光谱能量和最大的总光量。
- **光照强度（光量）是影响光合速率的关键因素之一。** 在光照强度低于饱和点之前，光合速率随光强增加而增加。无色玻璃透过的光量最大。

2. 有色玻璃的缺点：

- **大幅降低光量和光谱范围：**
 - **红色玻璃：** 主要透过红光（600-700nm），强烈阻挡蓝光和绿光。
 - **蓝色玻璃：** 主要透过蓝光（400-500nm），强烈阻挡绿光和红光。
 - **其他颜色（如绿色/黄色）：** 透过的光谱范围更窄，与植物需要的光谱匹配度更低（叶绿素吸收绿光最少）。
- **减少总光合有效辐射：** 有色玻璃会阻挡掉其颜色对应波长范围以外的绝大部分可见光。例如，红玻璃会滤掉大部分蓝光，而这些蓝光是叶绿素高效吸收的光线。被阻挡的光线就不能被植物利用。
- **降低光照强度：** 过滤过程本身就损失了大部分入射光能，导致进入温室的实际光照强度大大降低。这会**显著限制**光合作用速率。
- **破坏光谱平衡：** 植物生长需要平衡的光谱。尽管红光和蓝光对光合作用最有效，但其他波长的光对于调控植物的形态建成（如蓝光抑制茎过度伸长）、光周期反应以及辅助色素的光合作用也至关重要。单一或过窄的光谱可能导致植物生长异常。
- **光分布不均（尤其多层结构）：** 红光和蓝光的穿透力不同（红光穿透性强于蓝光）。在多层栽培的温室中，使用单一的有色顶棚会导致不同层次的植物接收到的光谱分布差异很大。

3. 关于红、蓝光的误区：

- 虽然叶绿素吸收红、蓝光效率高是事实，但这并不意味着温室只提供红、蓝光就是最好的。
- **“更有效” ≠ “总量更多”：** 在自然全光谱光下，叶绿素吸收红光、蓝光的效率确实高，但全光谱提供的可用光子总量远超过滤后的光谱。过滤掉其他波长的光，意味着大幅减少了可用于光合作用的**总光子数**。
- **“辅助色素和调控”：** 非红、蓝光波段的光并非无用。它们可以被光合作用中的其他辅助色素利用，同时参与调控植物的生理反应，对植物整体健康生长至关重要。
- **穿透性和覆盖面积：** 无色透明的白光能均匀穿透叶层，为下层叶片提供更均衡的能量来源，而有色光可能导致光谱在冠层分布不均衡。

总结：

追求光合作用效率最大化，核心在于让尽可能多的可见光光子（特别是在 400-700nm 范围内，即光合有效辐射）进入温室。无色透明玻璃是达到这一目的最有效手段。它保证了：

- **最高的总光量：** 最大化光合作用的基本动力来源。
- **最完整的可见光谱：** 满足多种光合色素的需求，支持植物的正常生理调控和健康生长。
- **最强的光穿透性：** 使光线能到达温室的内部和植物下层叶片。

应用建议：

- **普通温室生产：** 绝对优先选择高透光率的无色透明材料（玻璃或聚碳酸酯板）。

- **人工光植物工厂/组培室：** 在这些封闭环境中，可以使用高比例的甚至纯红蓝 LED 光源。这是因为：
 - 人工光源可以精确控制光谱和强度。
 - 通常采用多层立体栽培，每层可独立设置光源，无需穿透多层植物。
 - 目标是最大能效而非利用自然光。
 - 但即使是这里，一些研究也发现添加少量绿光或其他波长的光可能对形态和品质有积极影响。
- **温室补光：** 在温室补光时，可以使用富含红光和蓝光的 LED 灯来针对性地补充植物最需要的光谱。但这仍然是在透明顶棚引入自然光的前提下进行的局部、补充性干预。

结论：对于主要依赖自然光的温室顶棚来说，为了最大化植物的光合作用效率和整体生长，使用无色透明的玻璃（或高透光率塑料）是最佳选择。红色、蓝色或其他有色玻璃都会显著降低光照总量和光谱完整性，反而不利于光合作用效率的提升。

第四讲 种群动态与竞争

核心主题：种群生态学 - 研究生物种群的结构、动态、分布及其与环境相互作用的科学。

主要结构与内容分析：

1. **提纲概述 (提纲 | 提纲)**
 - 清晰地列出了文档将要讲解的五大核心模块：
 - 1. 种群的概念及内涵 (Concept & Definition)
 - 2. 种群的空间分布与传播扩散 (Spatial Distribution & Dispersal)
 - 3. 种群增长模型 (Population Growth Models)
 - 4. 种内与种间关系 (Intra- & Interspecific Relationships)
 - 5. 全球变化对种群的影响 (Impact of Global Change)
2. **种群的概念 (种群的概念)**
 - **核心定义：** 明确指出种群是在一定时期、一定空间内，能够自由交配和繁殖的同种生物个体的集合体。
 - **关键内涵：**
 - **物种存在的基本单元：** 强调种群是物种在自然界存在和发挥作用的基本形式。
 - **词源探讨：** 指出“Population”源自拉丁词根“populues”（人/人民），并列举了常见的中文翻译（群体、居群、繁群、虫口、人口；族群、个体群）。

- 意义：为理解种群生态学奠定了基础，明确了研究对象。
3. 种群生态学与人类生活 (种群生态学与人类生活)
- 研究目的：明确点出种群生态学的应用导向——调控生物种群，为生态环境保护及人类社会经济与自然环境协调发展提供科学依据。
 - 具体应用场景 (举例)：
 - 有害生物管理：害虫（蝗灾、鼠害）的大种群爆发预测与防治。
 - 资源可持续利用：渔业资源的预测与可持续利用（种群动态预测）。
 - 生物多样性保护：濒危物种（小种群/极小种群）的保护与管理。
 - 入侵生物防控：外来入侵物种的管理（涉及种间相互作用）。
 - 人口政策制定：直接点明人类自身也是一种需要科学管理的种群。
 - 意义：强调了种群生态学研究的重要现实意义，连接了理论与实践。
4. 种群的空间分布与传播扩散 (种群的空间分布 与传播扩散)
- 核心问题：研究种群个体在空间上的排列模式（如随机、均匀、集群分布）以及个体或后代在空间上的移动扩散能力。
 - 关键内容 - 气候变化的影响：
 - 主要发现：未来气候变化（SSP245 情景）将显著增加受威胁物种的比例。
 - 数据对比：
 - 完全扩散（假设物种能自由迁移到适宜新气候区）：14%物种受威胁。
 - 不扩散（假设物种无法迁移）：24%物种受威胁。
 - 核心结论：
 - 扩散限制加剧风险：扩散限制显著增强了气候变化对物种的负面影响。
 - 保护对策：建设有效的生态廊道（促进扩散）对未来保护规划极为重要。
 - 文献支持：引用了《生物多样性》(2022)、《Current Biology》(2023)、《中国科学》(2024)上的研究成果。
 - 意义：将种群的空间动态（扩散能力）与全球气候变化这一重大环境压力联系起来，凸显了生态连通性在生物保护中的关键作用。
5. 种群增长模型 (种群增长模型 / 种群内个体数量的变化 / 种群数量变化的控制因子有哪些？)
- 核心问题：如何定量描述和预测种群数量随时间的变化？
 - 关键概念：
 - 影响变化的因素：
 - 增加因子：出生 (Birth - B)、迁入 (Immigration - I)
 - 减少因子：死亡 (Death - D)、迁出 (Emigration - E)
 - 离散型增长模型：适用于世代不重叠或离散时间步长（如一年生植物、按年统计）。
 - 公式推导：
 - $B = N_0 * b$ (出生数 = 初始数 * 出生率)
 - $D = N_0 * d$ (死亡数 = 初始数 * 死亡率)
 - $N_1 = N_0 + B - D = N_0(1 + b - d)$
 - 定义 $\lambda = 1 + b - d$ (周限增长率 / 有限增长率 / 基

基础净繁殖率)

- $N_2 = N_1 * \lambda = N_0 * \lambda^2$
- $N_t = N_0 * \lambda^T$ (T 为世代数)

- **λ 的意义:** 每个世代结束时种群数量是开始时的 λ 倍。
 $\lambda > 1$ 增长, $\lambda=1$ 稳定, $\lambda < 1$ 下降。

- **简化案例:** 以野兔种群 (一年繁殖一次, 一岁性成熟) 为例引入问题。
- **意义:** 提供了理解和预测种群数量动态的最基本数学工具, 是种群生态学的核心分析基础。文档重点介绍了最简单的密度无关离散增长模型。

6. 种内与种间关系 (种间作用的类型 / 竞争 / 竞争是如何发生的? / 种内竞争 / 种群动态的周期性 / 种群动态周期性的地理格局)

- **核心内容:**

- **种间作用类型:** 使用经典的 “++/+/-/-” 符号矩阵 清晰分类了六种种间关系:

- ++ 互惠共生 (Mutualism)
- +0 偏利共生 (Commensalism) - 文档中标记为“共生”
- +- 捕食、寄生、采食 (Predation, Parasitism, Herbivory)
- 00 中性作用 (Neutralism)
- -0 偏害作用 (Amensalism)
- -- 竞争 (Competition)

- **竞争 (Competition):** 重点阐述。

- **定义:** 争夺相同资源导致部分个体存活、生长或繁殖能力下降的相互作用。
- **类型:**

- **种内竞争:** 同种个体间。文档明确指出其通过密度制约影响死亡率/存活率和生殖力。
- **种间竞争:** 不同种个体间。

- **发生机制:**

- **利用性竞争 (Exploitation):** 个体间接通过消耗共享资源竞争 (图示资源消耗区)。
- **干扰性竞争 (Interference):** 个体直接对抗阻止对方获取资源 (图示争夺交配权、领域)。

- **种内竞争证据:** 以杂拟谷盗实验为例, 展示死亡率随初始密度 (对数尺度) 增加而上升的典型密度制约效应。

- **种群动态的周期性 (Cyclic Population Dynamics):**

- **普遍性:** 引用 Kendall et al. (2002) 指出约 30% 的动物种群存在明显周期性波动。
- **类群差异:** 表格显示哺乳动物和鱼类周期性波动比例较高 (33%, 43%), 鸟类和昆虫较低 (13%, 16%)。
- **地理格局 (纬度梯度):** 图示表明周期性波动在北半球高纬度地区更强, 且向低纬度减弱, 哺乳动物尤其明显。

- **意义:** 解释了影响种群增长 (模型结果) 的关键生物学过程 (竞争), 并揭示了种群动态 (增长模型的应用结果) 在自然界中普遍存在的周期性现象及其地理规律。

7. 课外阅读 (课外阅读)

- 提供了延伸学习的资源：
 - 教材：5-6 章（可能对应种群增长模型、种间关系）、8-10 章（可能对应空间分布、全球变化、应用）。
 - 中文文献：杨文忠等（2015）关于极小种群野生植物概念与保护。
 - 英文文献：Ims et al. (2008) 关于种群周期崩溃的综述。
 - 意义：引导学生进行更深入和广泛的学习。
8. 结语 (Thank you for your attention!)
- 致谢，并标明来源为北京大学宏观生态学研究组，提供了研究组主页和公众号信息。

总结：

这份文档全面、系统地介绍了种群生态学的核心内容，从基本概念出发，深入探讨了种群的空间动态（扩散与气候变化影响）、数量动态（增长模型）、相互作用（竞争、其他关系）以及动态模式（周期性），最后强调了其广泛的应用价值（保护、管理、政策）和面临的全球变化挑战。文档结构清晰，图文并茂，既有理论模型推导（离散增长），也有实证数据支持（周期性波动、竞争实验、气候变化影响），并提供了进一步学习的资源。它非常适用于作为种群生态学的教学课件或学习资料。

不同种间作用的例子

好的！在生态学中，不同物种之间的相互作用类型是生态系统结构和功能的关键驱动力。以下是主要种间作用类型的分类及相应的例子：

一、正相互作用 (+)

这类相互作用中，至少一个物种受益，且至少一个物种不受害（即中性或受益）。

1. 互利共生 (Mutualism) (+/ +)

- 定义：两个物种在相互作用中都获得净收益。
- 例子：
 - 豆科植物与根瘤菌：植物为根菌提供碳水化合物和栖息地，根菌将空气中的氮气固定成植物可利用的氮营养，两者相互依赖。
 - 开花植物与传粉者（蜜蜂、蝴蝶、蜂鸟等）：植物获得授粉服务以繁殖，传粉者获得花蜜或花粉作为食物。
 - 地衣（藻类+真菌）：藻类进行光合作用为双方提供有机物，真菌提供水分、矿物质和保护性结构。
 - 牛椋鸟与大型食草动物（水牛、犀牛）：鸟类啄食动物身上的寄生虫（如蜱、虱），获得食物；动物免受体表寄生虫的骚扰。
 - 清洁鱼（如裂唇鱼）与大型鱼类：清洁鱼以大型鱼体表的寄生虫、死皮、食物残渣为食，大型鱼获得清洁服务。

2. 偏利共生 (Commensalism) (+/0)

- 定义：一个物种受益，而另一个物种不受影响（中性）。
- 例子：
 - 附生植物（如兰花、蕨类）与树木：附生植物长在树干或树枝上，获得更好的光照和空间而不伤害树木；树木不受影响。
 - 鲫鱼与鲨鱼：鲫鱼通过头部吸盘吸附在鲨鱼身上，随鲨鱼移动节省能量并获取鲨鱼捕食残渣；鲨鱼基本不受影响（或影响极微）。

- **一些林下蕨类植物与树木：** 蕨类在树木荫蔽下生长良好，树木不对其影响。
- **鸟巢搭建在树杈上：** 鸟获得安全的筑巢场所，树木通常不受影响（除非鸟群巨大或有特定破坏行为）。

二、负相互作用 (-)

这类相互作用中，至少一个物种受损（被抑制）。

3. 竞争 (Competition) (-/-)

- 定义：两个或多个物种争夺相同的、有限的资源（食物、水、空间、阳光、配偶等），导致参与竞争的各方都受到资源限制的负面影响。
- 例子：
 - **狮子与鬣狗争夺猎物：** 争夺相同的羚羊等猎物资源，两者获得猎物的机会都降低。
 - **同一草原上不同种类食草动物 (角马、斑马、羚羊)：** 共同竞争草料资源。有时会出现资源分割 (Resource Partitioning) 来缓解竞争，如各自偏好不同高度或种类的草。
 - **农田中作物与杂草：** 共同争夺阳光、水分、土壤养分。
 - **森林中树木间的竞争：** 竞争阳光（尤其是林冠层树种）和地下水分、养分。
 - **达尔文雀：** 不同种的地雀在加拉帕戈斯群岛分化，喙形大小适应取食不同大小的种子，减少了对种子的竞争。

4. 捕食 (Predation) (+/-)

- 定义：一个物种（捕食者）杀死并吃掉另一个物种（猎物）。
- 例子：
 - **狮子捕食角马、羚羊。**
 - **青蛙捕食昆虫。**
 - **螳螂捕食其他昆虫（如蝴蝶、苍蝇）。**
 - **蜘蛛用网捕获昆虫或其他节肢动物。**
 - **食肉植物（如猪笼草、捕蝇草）捕食昆虫等小型动物。**

5. 食草 (Herbivory) (+/-) - 捕食的特殊形式

- 定义：一个动物（食草者）以植物体（或其部分，如叶子、种子、果实、汁液）为食，通常不杀死整个植物（但可能致死），对植物造成损伤。
- 例子：
 - **绵羊、牛等吃草。**
 - **毛毛虫吃树叶。**
 - **蝗虫啃食植物叶片。**
 - **松鼠啃食松子等种子/坚果。**

6. 寄生 (Parasitism) (+/-)

- 定义：一个物种（寄生物）生活在另一物种（宿主）体内或体表，从宿主身上获取营养或资源（如血液、组织、体液、消化物），通常会对宿主造成损害但不会立即致命（慢性消耗）。寄生关系通常有高度特化。
- 例子：
 - **体内寄生虫：** 如绦虫、蛔虫生活在宿主的肠道内；疟原虫在人和蚊子体内。
 - **体外寄生虫：** 如蜱虫、虱子附着在宿主体表吸血。

- **寄生蜂:** 将卵产在毛虫等宿主体内，幼虫在宿主体内发育并以宿主组织为食（常导致宿主死亡）。
- **冬虫夏草 (真菌寄生昆虫):** 真菌孢子侵入昆虫（如蝙蝠蛾幼虫）体内并最终充满其体腔致死，菌丝体再从虫体头部长出。
- **槲寄生寄生在树上:** 从寄主树中吸取水分和养分。
- **螨虫寄生在蜂巢或动物皮肤上。**

7. 拟寄生 (Parasitoidism) (+/-) - 类似捕食的寄生

- 定义：一种特殊的寄生关系。寄生者（多为昆虫，如寄生蜂、寄生蝇）的幼虫生活在宿主体内（或体表），最终通常杀死宿主（这点与一般寄生不同），成虫是自由生活的。它是介于寄生（慢性）和捕食（直接致命）之间的类型。
- 例子：寄生蜂将卵产在毛虫体内，幼虫孵化后以毛虫的组织为食，最终钻出毛虫身体化蛹或羽化，毛虫最终死亡。

8. 偏害共生

偏害共生的核心特征是：两个物种生活在一起（共栖），其中一个物种遭受抑制或伤害，但通常不至于死亡；而另一个物种则既不获益也不受害（即中性）。

以下是两个经典的偏害共生例子：

1. 黑胡桃树与其他植物：

- **共生方:** 黑胡桃树 & 其根系周围的其他草本或木本植物。
- **现象:** 黑胡桃树会通过其根部和叶片分泌一种名为**胡桃醌**的化感物质到土壤中。
- **影响:**
 - **对黑胡桃树 (中性):** 胡桃醌的产生是黑胡桃树的生理活动结果，旨在减少周围植物的竞争。它本身并未从中直接获益或受害（至少在这个关系中）。
 - **对其他植物 (受害):** 胡桃醌具有毒性或抑制作用，能有效阻止许多植物在其根系附近萌发或生长，显著抑制甚至杀死邻近的竞争者（如番茄、土豆、紫花苜蓿、松树幼苗等），为自身争取更多的水分、养分和阳光。但这些受害植物一般不会因为胡桃醌的存在而立即死亡，特别是在树冠投影范围外还能正常生长。
- **符合偏害:** 黑胡桃树的行为对其他植物有害（减少它们的资源、抑制生长），但对树本身没有直接的好处（除了减少竞争压力这个间接结果，但共生关系本身定义中认为它是中性的）或直接的坏处。受害植物被抑制而非彻底杀死。

2. 青霉菌与某些细菌：

- **共生方:** 青霉菌 & 与它生活在同一微环境（如土壤、腐烂有机物表面）的某些敏感细菌。
- **现象:** 青霉菌在生长代谢过程中会分泌**青霉素**等抗生素到环境中。
- **影响:**
 - **对青霉菌 (中性):** 青霉素的产生是青霉菌的代谢结果，其主要作用是抑制或杀死潜在的细菌竞争者。青霉菌本身不受这种分泌物影响（它对其有抗性），也不会因为分泌了青霉素而直接获益或受害。
 - **对敏感细菌 (受害):** 青霉素能通过抑制细菌细胞壁的合成，非常有效地抑制甚至杀死对其敏感的细菌种群，清除生存空间的竞争对手或抑制它们的增殖。
- **符合偏害:** 青霉菌分泌的物质对附近的某些细菌有害（抑制、杀死），但青

霉菌本身既不从中获益（它的目标仅仅是消除竞争者，而消除竞争者带来的资源优势不属于共生关系的直接获益定义）也不因此直接受害。被抑制或杀死的细菌是该关系的受害者。

三、中性相互作用 (0)

9. 中性作用 (Neutralism) (0/0)

- 定义：两个物种共存于同一环境中，但彼此之间没有直接相互作用（至少在当前生态背景下没有可观测的显著影响）。在自然界中真正的绝对中性作用可能比较罕见。
- 例子：
 - 森林中的松鼠和土壤中的蚯蚓：它们在资源利用和空间上可能几乎没有交集和竞争。
 - 同一个池塘里，不同食物层或生活方式差异极大的物种，如浮游植物滤食性鱼类和底栖无脊椎动物：资源利用重叠度低。

总结

- 正相互作用 (+ 或 0): 互利共生 (+/+)，偏利共生 (+/0)。
- 负相互作用 (-): 竞争 (-/-)，捕食 (+/-)，食草 (+/-)，寄生 (+/-)，拟寄生 (+/-)。
- 中性作用 (0): 中性作用 (0/0)。

需要强调的是，这些作用类型并非绝对孤立，有时一种关系会变化（如原本中性的关系在资源短缺时可能变成竞争；弱寄生在某些条件下可能增强或减弱），也可能多种作用同时存在（如菌根共生可能兼具互利共生和轻微寄生的特征）。研究这些相互作用对于理解物种多样性维持、群落结构和生态系统功能至关重要。

为什么种群动态会呈现周期性？

种群动态呈现周期性波动是生态学中一个复杂且迷人的现象，其核心原因在于种群增长的限制因素（如资源、捕食、疾病等）对种群数量的影响存在**延迟效应 (Time Lags)** 和**密度依赖性反馈 (Density-dependent Feedback)**。这些因素相互作用，形成了类似于“增长-过度消耗-崩溃-恢复”的循环。

以下是导致周期性波动的主要机制和驱动因素：

1. 捕食者-猎物动态 (Predator-Prey Interactions) - Lotka-Volterra 模型的核心：

- 机制：当猎物（如雪兔）数量增多时，捕食者（如猞猁）因食物充足而数量增加。但捕食者数量增加到一定程度后，会过度消耗猎物，导致猎物数量锐减。猎物减少后，捕食者因食物匮乏而大量死亡或繁殖率下降，数量随之崩溃。捕食者减少后，幸存的猎物因捕食压力减小又得以恢复增长，从而开始新一轮循环。
- 延迟：捕食者数量对猎物数量的变化存在滞后（繁殖、成长需要时间），猎物数量对自身资源的消耗也存在滞后（资源耗尽需要时间）。这个时间差是形成稳定周期的关键。
- 经典案例：加拿大哈德逊湾公司的雪兔和猞猁皮张收购记录（约 10 年周期）是生态学最著名的证据。

2. 食物资源限制与种内竞争：

- 机制：种群增长消耗其赖以生存的食物（如植物、种子、特定猎物）。当种

群数量达到高峰时，食物资源被过度消耗，质量下降或数量不足。这导致种群内个体营养不良、死亡率上升、繁殖率下降，种群数量随之崩溃。种群崩溃后，资源得以恢复，为下一轮增长创造条件。

- **延迟：** 资源的再生或恢复需要时间（如植物生长、种子库补充），这造成了资源限制效应相对于种群高峰的滞后。
- **案例：** 许多植食性昆虫（如松毛虫）、小型啮齿动物（如旅鼠、田鼠）的种群波动常受此驱动，尤其是当它们依赖的植物生长较慢时。

3. 寄生物/病原体-宿主动态：

- **机制：** 类似于捕食者-猎物关系。高种群密度有利于病原体（如病毒、细菌、寄生虫）的传播和流行。当种群数量达到高峰时，疾病容易大规模爆发，导致宿主死亡率急剧上升，种群崩溃。宿主密度降低后，疾病传播率下降，宿主种群得以恢复。
- **延迟：** 病原体感染、潜伏、致死需要时间；宿主免疫或种群抗性重建也需要时间。
- **案例：** 赤狐种群周期性波动与狂犬病等疾病的爆发密切相关。

4. 母体效应（Maternal Effects）或遗传反馈：

- **机制：** 种群密度高峰期的环境压力（如食物短缺、竞争激烈）会影响母体的生理状况（如营养状况、激素水平），进而影响其后代的“质量”（如体型、生长率、抗逆性、繁殖力）。在高密度期出生的“低质量”后代，其生存和繁殖能力下降，加速了种群的崩溃。而当种群处于低谷时，个体能获得更多资源，其后代“质量”较高，有利于种群恢复。
- **延迟：** 母体效应是通过影响下一代的性能来体现的，这本身就是一个世代的时间延迟。
- **案例：** 在小型哺乳动物（如田鼠、旅鼠）和一些昆虫中得到证实。

5. 气候/环境的周期性驱动与共振：

- **机制：** 外部环境的周期性变化（如太阳黑子活动周期（~11年）、北大西洋涛动、厄尔尼诺南方涛动）可能通过影响食物资源可得性（如植物生长）、捕食效率、疾病传播条件或直接导致极端死亡率（如严冬、干旱），间接地或直接地驱动种群周期性波动。
- **共振：** 当环境波动的周期接近种群自身内在波动的潜在周期时，会放大和稳定种群的周期性（即“共振”）。这解释了为什么北半球高纬度地区周期性更明显——那里的季节性和气候年际波动更剧烈（如严寒冬季），更容易与内在周期产生共振。
- **案例：** 高纬度地区（如苔原、北方森林）的许多种群（旅鼠、雪兔、猞猁、一些鸟类）的周期性与严寒冬季的存活率密切相关。

关键要点总结：

- **核心是延迟的密度依赖：** 导致种群数量下降的限制因素（捕食、食物、疾病）的作用效果不是即时的，而是滞后于种群密度的变化。这种滞后破坏了稳定平衡点，使系统围绕平衡点振荡。
- **负反馈是基础：** 高密度最终导致种群下降（负反馈），低密度最终允许种群恢复（正反馈）。正是这种反馈机制的存在，使得种群不会无限增长或彻底灭绝，而是在一定范围内波动。
- **多种因素交织：** 现实中，周期性往往是多种机制共同作用的结果（如捕食和食物限制共同作用）。主导因素可能因物种、地点和时间而异。

- **内在属性与环境驱动：** 种群自身的生活史特征（如繁殖速度、世代时间）决定了其潜在的内在波动周期，而外部环境因素（气候、资源）则可能触发、放大或改变这种周期性。北纬高纬度地区的周期性更强，很大程度上源于其更剧烈和规律的环境波动更容易与生物的内在节律产生共振。

文档中提到约 30% 的动物种群存在周期性波动，以及这种波动在高纬度地区更显著，正是上述复杂机制在不同物种和环境下作用的结果。人类活动（如栖息地破坏、气候变化、过度捕猎）正在改变这些自然机制，可能导致许多历史上存在的种群周期性“崩溃”（如 Ims et al. (2008) 所讨论的）。

均匀分布、集群分布与随机分布

好的，生物种群的集聚分布、随机分布和均匀分布分别对应着不同的环境条件和生物适应性，以下是一些具体的例子：

1. 集聚（集群）分布

特征： 个体成群聚集在栖息地的特定地点，群与群之间是大片空白区域。

原因： 环境资源（食物、水源、栖息地等）呈斑块状分布；生物的社会行为（如群体防卫、繁殖合作）；幼体扩散能力有限（如种子掉落在母树附近）；种间关系（如寄生、病原体依赖宿主聚集）。

例子：

- **动物：**

- **狼群：** 为了合作捕猎大型猎物和提高领地防御能力，狼倾向于群体生活。狼群的领地很大，但个体紧密集中在群体核心活动区域。
- **帝企鹅：** 在南极严寒环境中，企鹅为了保暖和抵御风雪，紧密聚集在一起形成大型集群。
- **狮群：** 狮子是高度社会化的猫科动物，形成狮群共同保卫领地、合作狩猎和抚育后代。
- **蚂蚁/蜜蜂/白蚁巢：** 社会性昆虫的个体高度集中在巢穴内及周围活动。
- **鱼类（如沙丁鱼群）：** 形成巨大的鱼群来迷惑捕食者（稀释效应、混淆效应）或提高觅食效率。
- **感染特定病原体的个体：** 疾病传播往往在空间上呈聚集性（例如，某种传染病爆发时，感染者在某些区域集中出现）。

- **植物：**

- **森林下层幼苗：** 许多树木种子成熟后落在母树附近，或在被动物搬运、捕食后堆积在特定地点（如鼹鼠洞边、蚁穴旁），导致幼苗在母树下或这些“热点”周围呈集群分布。
- **红树林：** 很多红树植物的种子（如桐花树、白骨壤）掉落在母树周围的水域中生根，形成密集的植株群。
- **干旱地区的某些灌木：** 可能围绕水源点（如少量渗出的地下水处）聚集。
- **田间的杂草丛：** 可能因为种子被风刮到田埂或某些低洼处聚集，或者因为土壤肥力不均等原因。

2. 随机分布

特征： 个体在空间中的位置完全独立，不受其他个体或可识别的环境斑块的影响，任何位置出现的几率相等。在自然界中这种分布类型相对比较罕见，通常发生在环境资源均匀分布

且个体之间不发生强烈相互作用的极端理想条件下。

原因：环境因素完全均匀一致；个体之间没有相互吸引或相互排斥的关系；种子/幼体传播是完全随机的（如非常均匀的风）。

例子：

- **森林下层的某些植物：**在非常均质的土壤和光线条件下，如果种子是由罕见但又极其均匀（不形成阵风或旋涡）的风传播，或者种子小而轻，由完全随机的水流传播，并且幼苗之间没有竞争，可能会有接近随机的分布。（注意：现实中完美的随机分布极其罕见）。
- **蒲公英在新的开阔均匀草地上：**虽然蒲公英种子靠风传播（聚伞花序式样落地可能造成小集聚），但在一个非常大、刚形成且地表极为平坦、土壤均一、无竞争的草场上，最初定植的植株分布可能接近随机。
- **均匀培养基上的微生物菌落（初期）：**在理想的实验室条件下，如果接种时孢子/细胞是完全随机散布的，且培养基养分、湿度、温度绝对均匀，初期形成的菌落位置可能随机。
- **海洋浮游生物（在特定尺度下）：**在非常大的均质水体中，营养分布均匀且个体间没有联系时，可能出现接近随机的分布。但在更小的尺度上，往往因物理过程（水流、温度）或生物过程（集群、捕食）而呈现出集聚或均匀分布。

3. 均匀分布

特征：个体在空间中以大致相等的间隔规则分布。

原因：个体之间存在强烈的负相互作用（主要是空间竞争）；或者由人为活动控制。

例子：

- **人为控制：**
 - **农田作物：**水稻、小麦行播，果树按规则间距栽种（如苹果园、柑橘园）。这是为了最大化利用光照、养分和水分，减少竞争，便于管理。
 - **人工林：**植树造林时按固定株行距栽种的树木。
- **自然界：**
 - **干旱地区/沙漠中的灌木（如某些仙人掌、腺牧豆树）：**个体间为争夺有限的地下水或土壤养分而产生强烈的竞争和抑制，通过化感作用或根系竞争排斥邻近个体，导致植株之间保持相当大的、相对均匀的距离。
 - **某些鸟类营巢地（如海鸥、某些猛禽）：**具有强烈的领域性和攻击性，繁殖季节时巢穴之间会保持相当大的、相对均匀的距离（领域防御），防止被同类干扰或捕食。
 - **稀树草原的金合欢树：**在某些干旱稀树草原，金合欢树之间常因根系竞争水分而保持相对均匀的间距。
 - **森林中层/上层的树木（在顶极群落中）：**在林冠郁闭（树冠相互接触）的成熟森林中，上层树种为争夺阳光和空间，可能导致树冠边缘保持近乎六角形的排列（虽然在林下看主干位置可能随机，但从树冠投影看则趋近于均匀）。（虽然不完全均匀，但在较大的成熟林中整体趋势更接近均匀分布，与幼苗的集聚分布形成对比）。

总结

- **集聚分布** 在自然界最常见，因为资源和有利生境往往是斑块状的，且很多生物具有集群习性。
- **随机分布** 在自然界最不常见，因为环境几乎不可能是绝对均匀的，且个体之间或个体与环境之间总会存在一些关联。

- **均匀分布** 主要由强烈的种内竞争（尤其是在资源有限、可预测性强的稳定环境中）或人为干扰导致。

理解物种的空间分布模式对于生态学研究和自然保护管理（如建立保护区、估算种群大小、病虫害防治）非常重要。

不对称竞争与单向竞争

好的，我们来深入探讨种内竞争中的“不对称竞争”与“单向竞争”。这两个概念密切相关，都描述了竞争关系中个体间的不平等，但侧重点有所不同。

核心前提：种内竞争的定义

种内竞争指同种生物个体之间为争夺有限资源（食物、水、空间、配偶、阳光等）而发生的相互作用，这种相互作用导致所有竞争者的适合度下降（生长减缓、繁殖减少、死亡率增加等）。它是一种密度制约现象，种群密度越高，竞争越激烈。

1. 不对称竞争

- **核心思想：竞争成本/代价在个体间分配极度不均。**
- **定义：**在种内竞争中，当个体的竞争能力存在差异时，竞争对不同个体造成的适合度损失（代价）是不同的，甚至相差悬殊。竞争力强的个体（优势个体）只承担很小的成本或代价很小就获得了资源，而竞争力弱的个体（劣势个体）则付出了不成比例的高昂代价（甚至死亡）。
- **特点与表现：**
 - **结果不对等：**竞争的结果不是双方均摊损失，而是损失主要落在弱者身上。强者几乎不受影响甚至还能受益（获得资源），弱者则遭受严重损失（生长停滞、无法繁殖、甚至死亡）。
 - **过程可能“短促”或“低成本”：**竞争的过程本身可能很快速、代价相对较低，尤其是在等级制度明确、个体大小差异明显的物种中。强者通过威慑、较小的肢体冲突（对自身消耗不大）就能确立优势，弱者因恐惧或迅速失败而退出竞争。
 - **竞争成本的巨大不平等：**弱者为获得同等或更少的资源，或仅仅为了避免冲突，需要付出比强者多得多的努力和代价（如更冒险的觅食、更长的搜索时间、更高的应激水平）。强者以最小的投入获得最大的回报。
 - **资源分配的高度倾斜：**资源主要流向强者，弱者仅获得残羹冷炙或无法获得。
- **关键本质：**竞争本身是存在的（个体间有互动或争夺），但这种互动造成的负面影响主要集中在弱势方。强大的个体有效地将竞争的代价转嫁给了弱小的竞争者。
- **常见例子：**
 - **动物社会等级（如狼群、鸡群）：**首领（Alpha）优先享用食物和配偶，维护地位代价相对小（有时只需要威胁）。低等级个体不敢争抢或只能在首领享用后捡食残渣，经常挨饿、无法繁殖；若试图挑战，则付出重伤或死亡的巨大代价（高成本）。首领的成本/损失极低，低等级个体的成本/损失极高。
 - **领域性物种（如鸟类）：**优势雄鸟通过展示或轻微打斗就赶走了挑战者。输家丧失繁殖机会，需长途迁徙寻找新领域（高成本、高风险）。赢家稳固地获得繁殖资源和空间，代价极小。

- **高密度植物群落：**最大、最先占据优势位置的植株吸收大部分阳光、水分和养分，生长受限轻微（低损失）。被遮蔽的小植株生长严重受阻、枯萎甚至死亡（高损失）。竞争的成本（死亡、无法繁殖）主要由这些小个体承担。

2. 单向竞争

- **核心思想：**竞争作用的方向是单一的，近乎“单向道”。
- **定义：**种内竞争的一种特定形式，其中一个个体（或一组个体）显著地影响另一个个体（或一组个体）的生长、繁殖或生存，但后者对前者的影响几乎为零或可以忽略不计。
- **特点与表现：**
 - **作用方向明确：**影响力只从 A 指向 B，没有或极少有从 B 指向 A 的反向作用。想象一条射线的方向，从施加者（A）指向承受者（B）。
 - **常见于固定生物（尤其是植物）：**由于空间位置的相对固定性，这在植物中极为普遍。
 - **常见机制：**主要依赖干扰（如遮荫、释放化感物质）来实现这种单向影响。
 - **极端的不对称性：**单向竞争可以看作是不对称竞争达到极致的一种特殊表现形式。当 A 对 B 的影响力趋于无穷大，而 B 对 A 的影响力趋于零时，就成了严格意义上的单向竞争。
- **关键本质：**竞争压力的方向是不可逆的。影响者（A）的优势是压倒性和不可动摇的，被影响者（B）根本没有能力、空间或机制去“回击”或影响 A。
- **常见例子：**
 - **树木对幼苗的遮蔽：**高大的乔木 A 将树冠伸展到一片区域，其下方的幼苗 B 被完全遮蔽，缺乏光照，生长停滞甚至死亡。（ $A \rightarrow B$ 的强烈影响）幼小的 B 无论如何生长，其矮小的枝叶都不可能遮挡到上方 A 的冠层。（ $B \rightarrow A$ 的影响为零）这是最经典的单向竞争例子。
 - **森林冠层结构：**最上层的优势木（树冠层）几乎不受任何其他树木的遮光影响，它们接受全光照，并将强烈的阴影投射在所有下层树木（次冠层、灌木层、幼苗层）上，压制后者的生长。下层树木的存在或死亡对上层优势木的生长影响微乎其微。
 - **等级制度严明的群体中底层个体：**在高度等级化的动物群体（如猴子、狼群）中，最低等级个体（B）可能受到所有上层个体（包括 A）的支配和资源剥夺（高度受压抑状态）。但 B 对最顶端首领（A）的资源和生存几乎没有任实质性的影（威胁、竞争资源）。首领施加压力给底层个体（ $A \rightarrow B$ ），底层个体无法反作用于首领（ $B \rightarrow A$ 可忽略）。
 - **根系强大的植株对邻近弱株：**个别植株根系异常发达（A），能占据邻近小植株（B）生长区域内的水分和养分。B 的生长因此受制，但 B 的弱小根系对 A 庞大的根系汲取能力无法构成有效竞争。

总结对比：不对称竞争 vs 单向竞争

特征	不对称竞争	单向竞争
核 心 焦 点	适合度损失的分配（成本不对称）	作用方向（影响力的单向性）
本 质	竞争存在，但成本/后果极度不对等	作用只从 $A \rightarrow B$, 无 $B \rightarrow A$
竞 争 作 用	双向但影响强度差异巨大（A 强有力地影响 B, B 微弱地影响或不影响 A）	严格单向（A 显著影响 B, B 不影响 A）

竞争关系	通常涉及互动（即使短暂且结果明显偏斜）	常表现为单方面施加（如遮蔽）
典型例子	狼群/鸡群中的等级冲突、领域争夺	大树遮蔽小树、森林冠层优势木对下层木
关系	单向竞争是不对称竞争的极端表现形式/特殊类型（当不对称达到极致时，即一方影响力完全零，另一方无限大）	

简单来说：

- 所有单向竞争都是极其不对称的。
- 并非所有不对称竞争都必然是严格单向的（可能存在非常微弱的反向作用，比如底层狼的回避行为轻微影响了首领的活动空间，但效果可忽略）。但在植物遮荫这个最典型场景中，它就是严格单向的。

理解这两种竞争形式，尤其是它们在植物结构和动物社会等级中的普遍性，对于认识种群如何自我调节（密度制约）、资源如何在种群内不平等分配、以及最终如何影响个体的生存和繁殖成功（种群动态）至关重要。它们都揭示了自然选择如何在种内竞争中塑造不同个体的“竞争策略”，最终导致适应性的差异。

第五讲 种群生态学的应用（害虫防治、外来种防控与人口政策）

一、文档结构分析

章节	核心内容
1. 种间关系类型	互利共生、捕食/寄生/植食、偏害共生、中性关系的物种互作模式
2. 害虫防治	定义、化学防治（类型与危害）、生物防治、综合防治（IPM）策略
3. 生物入侵与防控	本地种/外来种/入侵种/归化种定义、入侵途径、危害、治理方法（含经典假说与案例）
4. 人口政策	种群增长率（ r ）、世代净增殖率、总和生育率（TFR）、中国人口政策演变与分布

二、核心概念解析

1. 害虫防治

• 关键问题

- 化学防治弊端：非专一性毒杀（误伤天敌→害虫二次爆发）、抗药性进化、生态毒理（富集效应）。
- 生物防治原理：引入天敌调控种群（如转基因蚊子绝育技术）。

• 解决方案

- IPM（综合防治）：结合物理/化学/生物/耕作/抗性作物（如设置避难所延缓抗性）。
- 抗性管理：毒性升级、药剂轮换、进化生物学应用（Carroll et al., 2014）。

2. 生物入侵

- 入侵机制

- 10%法则：仅约 1%引入物种成为入侵种（运输→存活→建立种群→扩散→入侵）。
- 假说冲突：
 - 预适应假说（PAH）：近缘种易入侵（预适应本地环境）。
 - 达尔文归化假说（DNH）：远缘种易入侵（生态位分化减少竞争）。

- 治理挑战：

- 生物防治风险：非专一性天敌可能造成二次入侵（如水葫芦治理案例）。

3. 人口政策生态学基础

- 调控杠杆：

- 降低 r 值：控制总和生育率 ($TFR \downarrow$) 或延长世代时间（晚婚晚育）。

- 中国实践：

- 政策演变：计划生育 ($TFR \downarrow$) → 放开二胎/三胎（应对人口拐点）。
- 人口分布：黑河-腾冲线以东聚集 94% 人口（环境承载力不均衡）。

三、典型案例与数据

案例	核心结论
美国加州棉铃虫防治	杀虫剂使用后棉铃虫反弹（天敌被误杀），棉桃损害加剧（对照区损害更低）。
农田杂草群落（欧洲案例）	杂草具生态双重性：竞争作物资源 vs. 维持传粉者/天敌栖息地（需精准管理）。
水葫芦（ <i>Eichhornia crassipes</i> ）	南美引入→湿地生态破坏→警示生物防治需评估专一性。

四、前沿争议与思考

1. 达尔文归化谜团：入侵成功更依赖种间竞争减弱（DNH）还是环境耐受（PAH）？
2. 转基因生物风险：绝育蚊子技术可能扰乱食物网？长期生态效应未知。
3. 人口政策平衡点：中国 TFR 降至 1.3（2020），如何协调老龄化与生态承载力？

五、延伸阅读建议

1. 害虫抗性进化：Carroll et al. (2014) *Science* - 进化生物学应对全球挑战。
2. 中国入侵物种分布：Bai et al. (2013) *EST* (空间风险评估)；Chen et al. (2021) *GECCO* (入侵格局)。
3. 生态承载力模型：逻辑斯蒂增长方程 ($dN/dt = rN(1-N/K)$) 的实践应用。

注：文档中部分图表数据（如棉铃虫动态）因格式错乱未能完整呈现，建议参考原始文献验证结论。

此分析框架既涵盖文档核心知识，亦提炼关键问题与前沿方向，适用于学术研究或政策制定参考。

第六讲 群落与生物多样性

一、文档结构与核心主题

1. 主题定位

- 主标题：群落与生物多样性（群落生态学专题）
- 范围：群落的概念、结构、物种共存机制及其与人类生活的关联
- 教材关联：第 16、19、20、21 章（推测为生态学教材）

2. 内容提纲

部分	核心内容
1. 群落概念	定义、组成（动植物/微生物）、相互作用
2. 结构与多样性	垂直结构、生物多样性维度（遗传/物种/功能/谱系/生态系统）、测度方法
3. 物种共存机制	生态位分化、环境筛选、中性过程
4. 与人类生活	人体微生物群落、农田生态系统、生物多样性的生态功能

二、关键概念解析

1. 群落 (Ecological Community)

- 定义：特定时空内相互作用的物种集合（Whittaker, 1975; Price, 1984）
- 组成：植物、动物、细菌、真菌等多分类单元
- 特征：具独特的组成、结构、环境关系、发育与功能

2. 群落结构

- 垂直结构（成层性）：
 - 森林群落分层：乔木层→灌木层→草本层→地被层
 - 层间植物：附生植物（苔藓/地衣）、藤本植物

3. 生物多样性 (Biodiversity)

- 多维内涵：
 - 遗传多样性：种内基因变异（适应性与性状差异的基础）
 - 物种多样性：物种丰富度与均匀度
 - 功能多样性：影响生态功能的性状变异（如叶片/种子特征）
 - 谱系多样性：考虑物种亲缘关系的多样性测度
 - 生态系统多样性：景观与生境差异
- 测度方法：
 - α 多样性：丰富度 (S)、香农指数 (H')、辛普森指数 (P)
 - 均匀度：Pielou 指数 ($E = H'/\ln S$)
- 科学问题：物种多样性格局的驱动机制 (>120 个假说)

4. 物种共存机制

机制	核心原理	对立效应
生态位分化	竞争排除导致生态位分化（资源分割）	使相似物种无法共存
环境筛选	环境过滤选择适应性相似物种	使群落内物种趋同
中性过程	随机漂变（忽略生态位差异）	/
争议焦点	实证显示生态位高度重叠（石灰岩草地研究）	挑战传统生态位分化理论

三、生物多样性的生态功能（人类生活关联）

1. 应用场景

- 人体微生物群落：
 - 肚脐微生物群落：>2368 种系型 (phylotype)，与健康密切相关
- 农业生态系统：
 - 套作模式（玉米/大豆、甘蔗/花生）
 - 杂草群落功能：害虫天敌栖息地、传粉媒介、鸟类食物源

2. 生物多样性的生态价值

- 生产力提升：
 - 多样性增加→生态系统生物量/生产力显著提高（全球多地点验证）
 - 作用强于施肥、CO₂施肥等干预（Tilman 等研究）
- 养分循环优化：
 - 植物多样性降低土壤硝态氮流失（Cedar Creek 实验）
- 稳定性增强：未明示但隐含于功能讨论中

四、文档亮点与启示

1. 多维度视角：
 - 突破传统物种多样性框架，整合遗传、功能、谱系维度。
2. 理论争议呈现：
 - 生态位分化 vs. 环境筛选 vs. 中性过程，引用实证挑战经典理论。
3. 跨学科关联：
 - 链接医学（人体微生物）、农业（套作/杂草管理）、气候变化（CO₂施肥）。
4. 前沿动态：
 - 提及生物多样性对生态系统功能的“超预期作用”（超越非生物干预）。

五、潜在拓展方向

- 未深入话题：
 - Beta/Gamma 多样性尺度、全球变化对群落的影响（标题隐含但未展开）
 - 中性理论模型（Hubbell 范式）的具体案例
- 实践启示：
 - 如何将群落生态学原理应用于生态修复或农业可持续管理？
 - 微生物群落调控在精准医疗中的潜力

结论：文档系统构建了群落与生物多样性的知识体系，强调多维概念整合与实证研究，并为理解生态系统服务提供理论基础。逻辑清晰，兼具经典理论与前沿争议，适合作为生态学高阶课程的核心资料。

α、β、γ 多样性及其测度

以下是关于 α、β、γ 多样性及其测度方法的详细解析，结合生态学理论与实际应用：

一、三种多样性的定义与关系

多样 性类 型	空间尺度	核心含义	生态学意义
α 多样性	局地尺度 (单个群落内)	一个特定群落或生境内的物种多样性	反映群落内部的物种丰富程度和均匀度
β 多样性	区域尺度 (群落间)	不同群落间物种组成的差异 (物种更替率, species turnover)	衡量环境异质性或地理隔离导致的物种空间分化
γ 多样性	大区域尺度	一个地理区域内所有群落的物种总多样性 (区域物种库大小)	整合 α 和 β 多样性, 反映区域生物多样性热点

关键关系:

$$\gamma \text{ 多样性} = \alpha \text{ 多样性} \times \beta \text{ 多样性}$$

(Whittaker, 1960 公式, 体现区域多样性由局地多样性和群落间差异共同决定)

二、测度方法详解

1. α 多样性

反映单一群落内的物种组成, 常用指数:

指数名称	公式	侧重	解释
物种丰富度	$S=$ 物种数	物种数量	最简单指标, 忽略物种多度差异 (如群落 A 有 10 种, 群落 B 有 5 种 \rightarrow A 的 S 更高)
Shannon-Wiener	$H' = - \sum_{i=1}^S p_i * \ln(p_i)$	物种均匀度+丰富度	值越高多样性越高 (最大值为 $\ln S$) ; 对稀有种敏感
Simpson 指数	$\lambda = \sum_{i=1}^S p_i^2$	优势物种集中度	值越高多样性越低 (0-1 范围); 对优势种敏感 (如群落被 1-2 个物种主导时 $\lambda \rightarrow 1$)
Pielou 均匀度	$J' = H'/\ln S$	物种个体分布的均匀性	消除丰富度影响 (0-1 范围, 1 表示完全均匀)

公式说明:

- $p_i = N_i/N$ (物种 i 的个体数占群落总个体数的比例)
- 示例 (课件 Page 15 图示):
 - 当 $S=5$ 且所有物种均匀分布时: $H'=1.61, \lambda=0.20, J'=1.00$
 - 当 $S=5$ 但 1 个物种占 90% 个体时: $H'=0.76, \lambda=0.81, J'=0.48$

2. β 多样性

衡量群落间物种组成差异, 分为两类测度:

(1) 相似性指数 (值越高, 差异越小)

指数	公式	特点
Jaccard 相似性	$J = \frac{a}{a + b + c}$	仅考虑物种有无 (a=共有种, b/c 为独有种)
Sørensen 相似性	$S = \frac{2a}{2a + b + c}$	对共有种赋予更高权重
Bray-Curtis 相异度	$\begin{aligned} BC \\ = 1 - 2 \frac{\sum \min(N_i A, N_i B)}{\sum N_i A + \sum N_i B} \end{aligned}$	考虑物种多度 (更敏感)

(2) 距离指数 (值越高, 差异越大)

指数	解释
Whittaker 指数	$\beta_\omega = \frac{\gamma}{\bar{\alpha}} - 1$ 基于 α 和 γ 多样性计算 ($\bar{\alpha}$ 为平均 α 多样性)
Sørensen 相异度	$\begin{aligned} \beta_{sor} \\ = 1 - \frac{2a}{2a + b + c} \end{aligned}$ 由 Sørensen 相似性推导而来

案例 (课件 Page 28):

俾斯麦群岛鸟类的“棋盘分布” (checkerboard distribution) 即高 β 多样性的典型——相邻岛屿因竞争排斥或随机过程导致物种完全不重叠 ($\beta_{sor} = 1$)。

3. γ 多样性

区域总物种数的测度:

- 直接计算: γ =区域内所有记录物种的总数 γ =区域内所有记录物种的总数
- 基于 α 和 β 推导: $\gamma = \bar{\alpha} * (1 + \beta_\omega)$ (需先计算平均 α 和 Whittaker β)

应用场景:

- 保护区规划 (如热带雨林 $\gamma > 10000$ 种, 温带森林 $\gamma < 500$ 种)
- 全球生物多样性热点识别 (课件 Page 16-17 图示植物和四足动物 γ 多样性空间格局)

三、生态学意义总结

多样 性	核心问题	实际应用
α	局地群落稳定性与功能	评估自然保护区或农田的物种保护价值
β	环境梯度变化与生境破碎化影响	监测气候变化导致的物种迁移 (如山地物种垂直带移动)

多样性	核心问题	实际应用
γ	区域物种库大小与演化历史	划定生物多样性优先保护区域 (如亚马孙、中国西南)

经典研究支持:

- Tilman 的草地实验 (课件 Page 33-34): α 多样性每增加 1 种, 生产力提升 5-10%;
- 纬度梯度格局 (课件 Page 18): 鸟类 γ 多样性从极地向热带递增 10 倍以上。

附: 测度方法选择建议

- α 多样性:
 - 关注稀有物种 → Shannon 指数
 - 关注优势物种 → Simpson 指数
- β 多样性:
 - 仅需物种有无 → Jaccard/Sørensen
 - 需结合多度信息 → Bray-Curtis
- γ 多样性: 需统一采样标准避免低估 (尤其大尺度研究)。

参考课件 Page 14-15 的公式及图示案例可加深理解。

第七讲 生物多样性的濒危与保护

一、文档框架与目标

核心目标: 阐述通过《2020 年后全球生物多样性框架》推动保护行动

提纲结构:

- 威胁生物多样性的主要因素
- 生物多样性的受威胁现状
- 生物多样性保护规划
- 北大的生物多样性保护研究

二、核心内容分析

1. 威胁生物多样性的主要因素

- 五大关键威胁:
 - 环境污染、气候变化
 - 生境破坏 (核心问题)
 - 物种入侵 (*Invasive Species Alert*)
 - 过度利用 (引用 Barnosky et al., 2011)
- 生境破坏的典型案例:
 - 原始森林 (IFL) 定义: 面积 $\geq 500 \text{ km}^2$ 、无人类干扰的连续森林斑块 (Potapov et al., 2008, 2017)
 - 2000-2013 年全球 IFL 变化:

- 总损失率 7.2% (非火灾因素占 5.7%)
- **重灾区:**
 - 澳大利亚 (损失 21.9%)、东南亚 (13.9%)、非洲 (10.1%)
 - 热带雨林区 (如南美洲热带区损失 7.3%)

2. 生物多样性的受威胁现状

- **物种灭绝危机** (Ceballos et al., 2015):
 - **脊椎动物灭绝速率** (1900 年后):

类群	灭绝速率 (背景值倍数)
两栖动物	100 倍 (保守估计)
哺乳动物	55 倍
鸟类	34 倍
 - **评估缺口:** 仅 59% 脊椎动物完成 IUCN 评估 (2014 年数据)

3. 生物多样性保护规划

- **保护策略:**
 - **迁地保护:**
 - 设施类型: 动物园、种子库 (如挪威末日种子库、中国西南种质库)
 - 局限性: 仅适用于极危物种, 难替代自然生态系统
 - **就地保护:**
 - **保护地 (PA) 类型:** 按 IUCN 分为 6 类 (从严格自然保护区到资源保护地)
 - **优先区选择方法:**
 - **物种/生态系统途径:** 保护特有物种和代表性生态系统
 - **热点地区法 (Myers et al., 2000):**
 - 全球 34 个热点 (占陆地 1.5%, 含 >1500 种特有物种且原生植被丧失 >70%)
 - **中国重点区域:** 横断山区、西双版纳、秦岭等 16 个区域
 - **算法辅助规划:**
 - **互补算法 (Vane-Wright):** 基于物种多样性排序
 - **Zonation 算法 (Moilanen):** 整合物种、生境、成本等多维度
 - **创新保护理念:**
 - **谱系多样性 (PD):** 超越物种丰富度, 关注进化独特性 (Faith, 1992)
 - **中国案例:**
 - 木本植物 PD 揭示“古热点”(南亚热带) 与“新热点”(横断山区)
 - **保护空缺:** 古热点 (高 PD 区域) 受保护比例低于新热点 (Cai et al., 2021)

4. 北大的生物多样性保护研究

- **学术传承:**
 - **奠基人:** 李继侗 (1952 年创办中国首个植物生态学组)
 - **关键人物:**
 - 陈昌笃 (参与起草国家保护纲要/行动计划)
 - 潘文石/吕植 (大熊猫、雪豹保护)

- 方精云（碳循环与植被生态学）
- **标志性成果：**
 - **数据库建设：**《中国木本植物分布图集》(含 11,405 种，获国家图书奖)
 - **基因组研究：**虎亚种全基因组演化分析 (Liu et al., 2018)
 - **红色名录评估：**中国 35,784 种植物中 10.8% 受威胁 (覃海宁, 2023)
 - **保护实践：**设立“燕园自然保护小区”(校内保护 470+ 植物/300+ 动物)

三、核心结论与行动呼吁

1. **紧迫性：**生境破坏与物种灭绝速率远超自然背景值 (最高达 100 倍)。
2. **保护策略升级：**需结合传统方法 (如保护区规划) 与新技术 (基因组、算法模型)。
3. **北大角色：**从基础研究 (PD 评估) 到实践 (燕园小区)，推动“科学保护”落地。
4. **全球框架目标：**强调通过系统性规划 (如热点保护、谱系多样性优先) 实现 2050 年生物多样性恢复。

文档亮点：以数据驱动论证 (如森林损失表、灭绝速率计算)，结合本土案例 (中国热点区域、北大实践)，凸显保护行动的学术基础与实践路径。

南亚热带“古热点”与横断山区“新热点”

这个问题涉及保护生物学中“**谱系多样性**”(Phylogenetic Diversity, PD) 的核心概念与生物地理历史的关联，需要从演化生物学角度解释。以下是详细分析：

一、核心概念：什么是“古热点”与“新热点”？

在保护规划中，这两个术语通过**谱系多样性 (PD)** 与**物种丰富度 (Species Richness)** 的对比来定义：

类型	定义	保护意义
古热点	PD 显著高于物种丰富度预期值的区域	保存了古老演化分支 (子遗物种)，代表不可替代的进化遗产
新热点	PD 显著低于物种丰富度预期值的区域	近期辐射演化的产物 (近缘物种聚集)，演化独特性较低

关键逻辑：PD 衡量的是物种间的演化距离总和，高 PD 区域意味着存在更多古老而独特的演化分支 (如活化石物种)。

二、中国案例：南亚热带（古）vs. 横断山（新）

1. 南亚热带（古热点）

- **PD 表现：**实际 PD 值 > 基于环境预测的预期值
- **原因：**
 - 地质历史稳定 (未受第四纪冰期严重侵袭)，成为**古老物种的避难所**。
 - **保存大量子遗物种**，如木兰科、金缕梅科植物 (演化孤立、分支久远)。
 - **举例：**广东、广西的亚热带森林中，榕属(*Ficus*)、樟科(*Lauraceae*)植物包含深演化分支。
- **PD 意义：**高 PD 表明该区域在亿万年尺度上积累了独特演化历史，一旦丧失则**进化遗产不可恢复**。

2. 横断山区（新热点）

- **PD 表现：**实际 PD 值 < 基于环境预测的预期值
 - **原因：**
 - 年轻地质区域（喜马拉雅造山运动形成），**近期物种爆发式演化**。
 - 物种多为**近缘快速分化**（如杜鹃属 *Rhododendron*、报春属 *Primula*），共享短演化距离。
 - **举例：**横断山高海拔地区同一属内多个相似物种共存（如 10 种绿绒蒿 *Meconopsis*）。
 - **PD 意义：**低 PD 反映物种同质性高，丧失部分物种对演化树整体结构影响较小。
-  **数据支持** (Cai et al., 2021):
- 南亚热带 PD：超出预期值 **+15%**（古热点）
 - 横断山区 PD：低于预期值 **-12%**（新热点）

三、为何用 PD 判断“新旧热点”？

科学依据：PD 揭示深层演化历史

指标	局限性	PD 的突破性
物种丰富度	仅统计物种数量，忽视演化价值（如 1 个鳄鱼 ≠ 1 个青蛙）	量化演化差异：鳄鱼代表古老分支，其丧失切断了 2 亿年演化历史
“新旧热点”的实质		
• 古热点	= 演化博物馆 (Museums)：长期保存古老谱系（如中国南方的银杏、苏铁）。	
• 新热点	= 演化摇篮 (Cradles)：近期催生新物种（如横断山的疾速适应性辐射）。	
 全球案例：		
• 古热点：	南非开普植物区（保存侏罗纪植物分支）	
• 新热点：	安第斯山脉（近期演化出上千种蜂鸟）	

四、保护启示：为何关注“古热点”？

1. **不可替代性：**
 - 古热点物种（如熊猫、银杏）若灭绝，将导致**整条演化分支永久消失**。
 - 新热点损失 10 个近缘物种，可能仅相当于丢失 1 个古老属的演化历史。
2. **现实威胁：**
 - 中国古热点（南亚热带）受保护比例不足 **15%**（远低于新热点的 30%），面临开发压力 (Cai et al., 2021)。
3. **政策响应：**
 - 全球保护框架（如 CBD）明确要求优先保护**演化独特物种**（PD 权重>物种数）。

结论

文件中强调“南亚热带是古热点（高 PD）”而“横断山是新热点（低 PD）”，本质是通过谱系多样性揭示区域生物多样性的演化本质：

- **古热点（高 PD）** → 保存不可再生的生命演化史 → **保护优先级最高**
- **新热点（低 PD）** → 虽物种丰富但演化价值较低 → 需防范近缘物种集体灭绝

这一结论推动保护规划超越“物种数量统计”，转向守护地球生命演化史诗的关键篇章。

PS：两个“热点”所指不同

您指出了一个关键术语歧义问题！您说得完全正确——前文提到的“热点地区法”（Biodiversity Hotspots）和此处讨论的“古热点/新热点”（Phylogenetic Hotspots）是完全不同的概念体系，混淆两者会导致理解偏差。以下是清晰对比：

一、两种“热点”的定义本质不同

概念类型	提出背景	定义核心	判定标准
热点地区法中的“热点” (Myers et al. 2000)	全球保护优先级评估	物种丰富度高且受威胁的区域	① 含 ≥1,500 种特有植物 ② >70%原生植被已丧失
本文中的“古 / 新热点” (Faith 1992; Rosauer et al. 2009)	演化历史价值评估	谱系多样性 (PD) 异常区	实际 PD 与基于环境/物种数预测值的偏差幅度

✓ 简言之：

- 前者的“热点” = 危机中的物种仓库（侧重数量与濒危度）
- 后者的“热点” = 演化史的保险箱（侧重生命树独特分支）

二、操作方法的根本差异

1. 热点地区法（传统）

- 数据基础：物种分布清单（尤其特有种）
- 计算逻辑：划定物种丰富度和特有率双高的区域（如喜马拉雅热点含 10,000+植物特有种）
- 保护目标：优先保护物种灭绝风险最高的地理单元

2. 古/新热点法（演化视角）

- 数据基础：物种系统发育树（需基因序列构建）
- 计算逻辑：通过模型预测“预期 PD 值”，比对方差揭示偏差区域
 - 正偏差 (+) → 古热点（如南亚：实际 PD 比预测高）
 - 负偏差 (-) → 新热点（如横断山：实际 PD 比预测低）
- 保护目标：优先保护不可再生的演化历史（如银杏的 2 亿年独立分支）

三、为何在同一文件中出现？——保护策略的协同

虽然定义不同，但两种“热点”在保护规划中常联合使用以互补：

评估维度	热点地区法	古/新热点法	协同案例
空间范围	大尺度（全球 176 个热点）	局地尺度（如中国山系）	横断山既是传统热点（物种多）又是新演化热点（近期辐射）
保护优先级	高（需紧急行动）	古热点>新热点（演化不可逆性）	南亚既是非传统热点（开发早），但因是古热点获升级保护
政策应用	全球环境基金 (GEF) 资助依据	国家公园选址（如中国大熊猫公园护古老谱系）	海南热带雨林公园：传统热点+古热点的双重身份

◆ 文件中的逻辑：

在强调“横断山区是新热点”时，是基于 PD 分析说明其演化特征（近期辐射），而不是否认其作为传统物种热点的保护价值（它仍是中国生物多样性关键区域）。

四、易混淆点解析：为什么都用“热点”？

- 术语沿革问题：

“热点”（Hotspot）一词在保护生物学中被泛化借用，但其原始专利属于 Myers 的物种濒危热点（1988），后来演化领域新概念被迫加限定词，如“Phylogenetic Hotspot”。

- 中文翻译局限：

英文可通过冠词（*a hotspot* vs. *the hotspot*）或定语（evolutionary hotspot）区分，但中文均译为“热点”导致歧义。

建议在阅读时主动识别语境标签：

- 若上下文出现“特有物种”“濒危”“植被丧失” → 指传统热点地区法
 - 若出现“谱系多样性”“演化树”“预期偏差” → 指古/新演化热点
-

结论

您敏锐地发现了术语陷阱！两者确实是不同概念：

1. “热点地区法”的热点 = 物种丰富且濒危的地理单元（地理属性优先）
2. “古/新热点” = 基于谱系多样性异常的演化价值分区（演化属性优先）

当前保护生物学趋势是将二者整合，例如：

“某区域既是传统热点（需资金投入），又是古热点（需顶级优先级）”

——这正是中国在制定国家公园规划时的科学依据（如海南热带雨林国家公园的双重身份）。

第八讲 生态系统的能量流动与物质循环

根据提供的文档内容，以下是详细的分析总结，涵盖核心概念、历史背景、关键人物及生态系统功能等方面：

文档主题

第八讲：生态系统的能量流动与物质循环

主讲人：朱彪（北京大学城市与环境学院）

日期：2025-04-18

核心内容分析

1. 生态系统的定义与历史发展

- 概念提出：

- 1935 年：英国生态学家 A.G. Tansley 首次提出“生态系统”（ecosystem），强调生物与环境形成的功能单元。
- 1944 年：苏联学者 V.N. Sukachiov 提出“生物地理群落”（biogeocoenosis），后与生态系统被认定为同义概念。

- 关键人物贡献：

- Charles Elton (1920 年代)：提出食物链、数量金字塔概念，奠定群落研究基础。

- **Raymond Lindeman** (1942 年): 通过 Cedar Bog 湖研究提出能量流动的“十分之一定律” (Lindeman 效率)。
- **Odum 家族**:
 - **E.P. Odum**: 生态系统结构与功能研究,《生态学基础》(Fundamentals of Ecology) 作者。
 - **H.T. Odum**: 发展系统生态学 (Systems Ecology), 关注能量流动模型。
 - **W.E. Odum**: 湿地生态系统研究。

2. 生态系统组成与结构

- **四大组分**:

组分	功能	实例
非生物环境	提供物质基础与物理条件	无机元素 (C, N, O ₂)、温度、水
生产者	固定能量 (光合/化能合成)	植物、蓝绿藻、化能细菌
消费者	依赖有机物质生存	草食动物 (初级)、肉食动物 (次级/三级)、杂食动物
分解者	分解有机物为无机物	细菌、真菌、蚯蚓等食碎屑者

- **营养结构**:

- **食物链**: 能量传递路径 (如植物 → 草食动物 → 肉食动物)。
- **食物网**: 多条食物链交错形成的复杂网络 (Charles Elton 提出), 增强生态系统稳定性。
- **营养级位置测定**: 通过氨基酸氮同位素 ($\delta^{15}\text{N}$) 分析确定生物在食物网中的层级。

3. 能量流动关键规律

- **能量金字塔**:

- 能量沿营养级递减, 传递效率约 **10-20%** (Lindeman 效率)。
- 能量金字塔不可倒置 (与数量/生物量金字塔不同)。

- **生产力层级**:

概念	公式	意义
总初级生产力 (GPP)	-	植物光合固定总碳量
净初级生产力 (NPP)	NPP = GPP - Ra	植物生长可用能量 (Ra: 自养呼吸)
净生态系统生产力 (NEP)	NEP = NPP - Rh	生态系统碳汇能力 (Rh: 异养呼吸)
净生物群区生产力 (NBP)	NBP = NEP - NR	区域尺度净碳储量 (NR: 干扰消耗)

4. 物质循环 (碳循环)

- **全球碳循环现状**:

- 工业革命以来, 大气 CO₂浓度从 **277 ppm** (1750 年) 升至 **422.5 ppm** (2024 年)。
- 人类活动碳排放: 化石燃料 (89%) + 土地利用变化 (11%)。

- **碳收支** (2014-2023 年均值):

- **排放**: 10 GtC/年 → 大气滞留 (48%) + 陆地吸收 (29%) + 海洋吸收 (26%)
- **碳失衡**: 约 **-0.4 GtC/年** (源汇估算差异)。

5. 生态系统特征总结

1. **层次性**: 生态系统的结构高于个体、种群、群落。
 2. **自我调节**: 物种多样性越高, 调节能力越强。
 3. **营养级限制**: 受能量传递效率限制, 营养级通常不超过 5-6 级。
 4. **功能核心**: 能量单向流动, 物质循环利用。
 5. **人类影响**: 显著改变全球碳循环, 引发气候变化。
-

关键图表与案例

1. **营养级联效应 (Trophic Cascades)**:
 - 关键捕食者(如海獭)调控食物网, 维持生态系统平衡(Robert Paine 研究)。
 - 移除关键种导致群落结构崩溃(如海獭减少 → 海胆暴发 → 海藻林退化)。
 2. **生产力空间分布**:
 - 全球 NPP 高值区集中于热带雨林和沿海水域。
-

补充说明

- **研究邀请**: 文档末尾邀请加入“地下生态学”研究组(联系邮箱: biaozhu@pku.edu.cn)。
 - **推荐阅读**:
 - *Fundamentals of Ecology* (E.P. Odum)
 - *Principles of Terrestrial Ecosystem Ecology* (Chapin et al.)
 - 《生态系统生态学: 回顾与展望》(方精云、刘玲莉主编)
-

结论: 本讲系统梳理了生态系统的能量流动与物质循环机制, 强调人类活动对碳循环的干扰, 并指出生态系统研究需结合多尺度(从生物个体到生物圈)和多学科方法。

碳源和碳汇

好的, 我们来详细展开讲讲地球生物圈中的“碳源”和“碳汇”。理解这两个概念是掌握地球碳循环和应对气候变化的关键。

核心定义: 动态平衡下的碳流动

- **碳源**: 指向大气中释放二氧化碳或其他含碳气体(主要是 CO₂, 也包括 CH₄等)的过程、活动或地方。它相当于向大气“输出”碳。
- **碳汇**: 指从大气中吸收并储存二氧化碳或其他含碳气体(主要是 CO₂)的过程、活动或地方。它相当于从大气“输入”并“封存”碳。

关键在于理解它们是一个动态过程:

- 地球上的碳在岩石圈、水圈、生物圈和大气圈之间不断循环流动。
- 碳源和碳汇是描述碳流动方向(进出大气)的两个方面。
- 许多系统既是源又是汇, 取决于特定条件(如时间、空间、管理方式等)。
- 在自然状态下, 碳源和碳汇大致处于平衡状态, 维持着大气中相对稳定的 CO₂浓度(在工业革命前约为 280 ppm)。
- **人类活动**(主要是化石燃料燃烧和土地利用变化)作为强大的额外碳源, 打破了这种平衡, 导致大气中 CO₂浓度显著上升, 引发气候变化。

一、详述碳源: 向大气“排气”的地方/过程

碳源向大气净释放 CO₂或其他含碳气体(如 CH₄):

1. 呼吸作用:

- 所有生物的基本过程: 动植物、微生物通过呼吸作用消耗有机物(葡萄糖等), 分解产生能量, 同时释放 CO₂。这是自然界最大、最广泛的碳源之一。
- 例子: 你呼气、树林中微生物分解落叶、土壤微生物活动释放 CO₂。

2. 分解作用:

- 有机物分解: 死亡生物体(动植物残体、枯枝落叶等)和废弃物中的有机物被分解者(细菌、真菌等)分解, 最终矿化, 释放 CO₂(有氧分解)或甲烷(无氧分解, 如在湿地、填埋场)。
- 例子: 森林地面的落叶腐烂、垃圾填埋场产生的甲烷、稻田发酵。

3. 燃烧:

- 自然火灾: 森林、草原等自然火灾直接将生物圈储存的碳以 CO₂的形式快速释放到大气中。
- 人为燃烧(主要原因):
 - 化石燃料燃烧: 煤、石油、天然气的燃烧是人类活动造成大气 CO₂浓度升高的最主要原因。它们在燃烧过程中释放数亿年来地质储存的碳。
 - 生物质燃烧: 为农业开垦(毁林造田)、森林管理或能源目的焚烧木材、农作物残渣等, 也释放大量的 CO₂(在短时间内破坏碳汇)。

4. 火山活动:

- 地质源: 火山喷发将地壳深处储存的碳(主要是 CO₂)释放到大气中。虽然相对其他源较小, 但在地质历史上是重要的碳源。在现代碳循环中占比远小于人类活动。

5. 自然湿地释放:

- CH₄来源: 在厌氧(缺氧)条件下, 湿地的有机质分解主要产生甲烷(CH₄), 这是一种极强的温室气体。沼泽、泥炭地、稻田等都是重要来源。

6. 海洋表层:

- 局部源: 海水温度升高会降低 CO₂的溶解度, 导致温暖的海洋区域向大气释放 CO₂(特别是在热带地区)。此外, 海洋生物的呼吸作用也产生 CO₂。
- 注意: 整体而言, 海洋是净碳汇(见下文), 但在某些区域和季节是碳源。

7. 冻土融化:

- 新的/增强的源: 随着气候变暖, 北极和高海拔地区的永久冻土(冻土层)融化, 其中封存的大量有机质暴露出来, 被微生物分解, 释放出 CO₂和 CH₄。这是全球变暖下新出现的重要的正反馈源。

二、详述碳汇: 捕获并“封存”碳的地方/过程

碳汇从大气中净吸收并储存 CO₂:

1. 光合作用:

- 植物固碳: 绿色植物(陆生和水生)利用光能, 将大气中的 CO₂和水转化为有机物(糖类、淀粉等), 并释放氧气。这是陆地生态系统最根本的碳汇过程, 是生物圈固碳的起点。
- 例子: 森林生长、农作物生长、海洋浮游植物繁殖。

2. 海洋溶解:

- 物理化学过程: 海水溶解大气中的 CO₂(“碳酸泵”)。尤其是在寒冷的高纬度地区, 海水能溶解更多的 CO₂并将其带入深海。
- 生物泵: 海洋浮游植物通过光合作用吸收 CO₂, 它们死亡后部分有机碳沉

降到深海（甚至海底沉积物），从而长期储存碳。

- **重要性：**海洋吸收了人类活动排放的约 25-30% 的 CO₂，是最大的活跃碳汇。

3. 陆地植被储存：

- **植物生物量：**光合作用固定的碳最终形成了树干、树枝、树叶、树根等生物质。这是相对**短期**的碳储存（数年到数百年）。
- **森林：**特别是成熟热带雨林和北方森林，储存着巨大的碳库。**森林管理（如减少砍伐、增加植树造林）是重要的增汇措施。**

4. 土壤有机碳储存：

- **植物残留物转化：**死去的植物、动物残体和根系分泌物进入土壤，部分经微生物分解转化为稳定的**土壤有机质**（腐殖质等），能储存碳数百年甚至数千年。
- **重要性：**全球土壤碳库极其巨大，远大于大气碳库和植被碳库。**健康的土壤管理（如保护性耕作、恢复退化土地、增加有机物投入）能显著增强碳汇。**

5. 地质储存（自然缓慢）：

- **化石燃料：**本质上是由远古生物有机物经过长期地质作用形成的碳储存库（煤、石油、天然气）。它们本是碳汇成果，但被开采燃烧后变成了巨大的碳源。
- **沉积岩：**部分海洋生物残骸（如贝壳、骨骼）中的碳酸钙 (CaCO₃) 沉积在海底，经过漫长的地质作用形成石灰岩等碳酸盐岩。这是**长期（数百万年尺度）但速度极其缓慢的碳汇。**

6. 人工捕获与封存：

- **碳捕集利用与封存：**这是一种技术手段，在 CO₂ 排放源头（如电厂、工厂）捕获 CO₂，通过管道运输并注入到深部地质构造（如枯竭油气田、咸水层）中永久封存。这是未来可能的人工碳汇技术。

三、关键要点总结与人类影响

1. 动态性与平衡：源和汇是循环的一部分，在自然状态下处于动态平衡。

2. 人类干预是失衡主因：

- **大规模增加碳源：**大规模燃烧化石燃料（地质碳库）+ 破坏自然碳汇（如森林砍伐、湿地排水、土地退化）。
- **削弱碳汇能力：**森林退化、土壤退化、海洋酸化（降低溶解 CO₂ 能力）都减弱了自然的吸收能力。

3. “净通量”概念：一个区域或系统到底是碳源还是碳汇，看其净排放量（源释放量 - 汇吸收量）。如果是正值，就是净碳源；如果是负值，就是净碳汇。

4. 气候变化的中心问题：当前全球碳循环的主要问题在于人类活动导致的巨大额外碳源大大超过了自然碳汇的吸收能力，造成大量过剩碳滞留在大气中，使大气 CO₂ 浓度不断升高（已超过 420 ppm），最终导致全球变暖。

5. 应对策略的核心：

- **减源：**最根本的是减少化石燃料燃烧（能源转型：可再生能源、能效提升）。
- **增汇：**保护和恢复森林、湿地、草地等自然生态系统，实施有利于土壤固碳的农业和土地管理实践（再生农业、农林复合）。
- **技术创新：**发展碳捕集与封存技术。

理解“碳源”和“碳汇”，就是理解地球生命维持系统的关键阀门是如何被我们撼动的，以及我们如何通过减少泄压（减源）和加固堤坝（增汇）来恢复系统的平衡。

第九讲 景观生态与生态恢复

以下是对文档的系统性内容分析，按主题分为核心概念、学科框架、研究尺度、景观结构、生态工程及争议五个部分：

一、核心概念

1. 景观 (Landscape)

- Forman (1995, 美国)：空间上镶嵌出现、紧密联系的生态系统组合。
- 欧洲视角：自然、生态和地理的综合体，包含自然与人为格局及过程。
- 肖笃宁 (1997, 中国)：由不同土地单元镶嵌组成，具有结构特征与功能联系的地理实体。

2. 景观生态学

- 定义：研究景观结构、功能、动态及相互作用机制的生态学分支，强调生态系统原理的应用。
- 特点：
 - 交叉性（连接自然科学与管理规划科学）
 - 实用性（优化景观结构与保护）。

二、学科框架

• 在生态学体系中的位置：

- 空间尺度：介于生态系统（微观）与区域/全球（宏观）之间。
- 交叉学科：链接地理科学、环境科学、资源科学及社会科学（经济学、社会学）。

三、研究尺度

时空尺度表（核心发现）

空间尺度	时间尺度	研究对象/现象
全球 (10^{14} m^2)	十万年 (10^5 年)	大陆冰河期、生物进化
区域/景观 (10^{10} m^2)	世纪-十年 ($10^2\text{-}10^1$ 年)	全球变暖、野兔种群波动
斑块/样地 (10^2 m^2)	天-小时 ($10^{-2}\text{-}10^{-3}$ 年)	昼夜循环、藻类爆发

关键结论：

- 大尺度（全球/大陆）关注长期演替（如气候变化、物种迁移）；
- 中小尺度（景观/斑块）聚焦短期动态（如火灾、种群演替）。

四、景观结构

1. 三大组分

- 基质 (Matrix)：广阔、同质、连通性强的背景地域（决定景观性质）。
- 斑块 (Patch)：最小均质单元（具体生态系统）。
- 廊道 (Corridor)：狭长异质地带（区别于两侧基质）。

2. 结构特征

- 斑块（大小、形状、分布、边缘）、廊道（长度、宽度、连通性）。

3. 演替阶段

先锋期 → 发展期 → 顶极群落（最终稳定阶段）。

五、中国生态工程案例与争议

1. 主要工程

工程	时间	范围/目标	核心举措
三北防护林	1979 年	西北/华北/东北	全球最大人工林工程
天然林保护工程	2000 年	长江/黄河上游禁伐, 东北限伐	分级保护天然林
退耕还林（草）	1999 年	水土流失/沙化/低产耕地	停耕还林草

2. 工程成效（研究支持）

- 生态恢复：
 - 植被碳储量↑ (Tong 2017)、中国占全球植被变绿 25% (Chen 2019);
 - 林业工程贡献 56% 碳汇增长 (Lu 2018)。
- 服务提升：
 - 2000-2010 年多数生态系统服务价值↑ (Ouyang 2016)。

3. 问题与争议

- 人工林生态缺陷：
 - 生物多样性、碳存储、水土保持等功能弱于天然林 (Hua 2022)。
- 干旱区造林风险：
 - 河北坝上杨树林/天然林大面积死亡（气候不匹配, Liu 2013）;
 - 草原带造林导致树苗枯死（需“草灌优先”策略）。

结论与启示

1. 生态工程需科学规划：
 - 干旱区应尊重自然植被（如草原带优先恢复草灌，非乔木造林）。
2. 天然林保护优先：
 - 人工林无法替代天然林的综合生态功能。
3. 尺度思维：
 - 生态管理需匹配时空尺度（如全球政策关注气候，区域工程聚焦水土保持）。

关键参考文献：

- Hua et al. 2022 (Science)：人工林 vs. 天然林功能对比
- Liu 2013 (GCB)：干旱区造林风险
- 刘鸿雁公开课：北方草原带生态建设策略（视频链接已附文档末）。

斑块与廊道

以下是针对斑块（Patch）和廊道（Corridor）生态效应的系统性分析，结合文档内容及景观生态学原理展开说明：

一、斑块的生态效应

斑块作为景观中的基本均质单元，其大小、形状、边缘特征及空间分布直接影响生态过程：

1. 面积效应（斑块大小）

- **物种多样性:**
 - 大斑块: 支持更多物种 (尤其需要核心生境的濒危物种), 维持稳定食物网 (如森林斑块中的顶级捕食者)。
 - 小斑块: 易受边缘效应干扰, 仅适应短命物种或广布种 (如农田杂草)。
- **内部环境稳定性:**
 - 大斑块内部温湿度波动小, 缓冲外部干扰 (如干旱时保水能力更强)。

2. 边缘效应 (斑块形状)

- **正效应:**
 - 边缘地带生境异质性高, 促进物种交流 (如森林-草原交错带鸟类多样性↑)。
- **负效应:**
 - 生态入侵: 不规则斑块边缘易遭外来种入侵 (参考文档中“物种入侵”现象)。
 - 核心生境丧失: 细长斑块 (如防护林带) 内部环境完全“边缘化”, 丧失原生功能 (如三北防护林中窄林带易退化)。

3. 空间配置效应 (斑块分布)

- **隔离与连通:**
 - 分散斑块阻碍基因交流 (如孤立森林中的近交衰退);
 - 适度聚集斑块促进种群扩散 (如山地森林斑块群支撑豹猫迁移)。
- **源-汇动态:**
 - “源斑块” (如健康森林) 输出生物个体/资源;
 - “汇斑块” (如受污染湿地) 吸收污染物但消耗资源。

案例关联:

- 三北防护林中大量小面积/条形人工林斑块, 因**边缘效应主导**导致生物多样性低下 (呼应 Hua 2022 人工林缺陷);
- 河北坝上杨树林死亡: 干旱区**小斑块**水分竞争激烈, 加速退化 (Liu 2013)。

二、廊道的生态功能

廊道作为线状景观组分, 核心功能是连通与阻隔的辩证统一:

1. 通道功能 (Connectivity)

- **物种迁移:**
 - 河流廊道助力鱼类洄游 (如鲑鱼利用河道上游产卵);
 - 绿廊为动物提供安全通道 (如城市绿地系统中的刺猬夜间迁移)。
- **物质流动:**
 - 风媒花粉沿防护林带传播;
 - 水土流失区树草廊道拦截泥沙 (退耕还林工程的核心技术)。

2. 屏障功能 (Barrier)

- **物理隔离:**
 - 道路廊道阻隔两栖类迁移 (如蛙类被车流碾压);
 - 防火林带阻断野火蔓延 (天然林保护工程的关键设计)。
- **生态过滤:**
 - 宽度不足的廊道仅允许耐受种通过 (如 10m 宽林带仅通行昆虫, 兽类需 100m+)。

3. 生境功能 (Habitat)

- **特有物种支撑:**
 - 河岸廊道供养专性物种 (如水獭、芦苇莺);

- 农田防护林带成为鸟类筑巢点（如东亚雨燕）。
- **微气候调节：**
 - 城市通风廊道缓解热岛效应（如巴黎利用塞纳河廊道引风）。

4. 负面效应

- **疾病传播通道：**
 - 美国榆树病害沿公路廊道扩散；
 - 非洲象结核病通过迁徙走廊传播。
- **入侵种桥梁：**
 - 互花米草沿海岸廊道快速侵占滩涂（中国滨海湿地典型问题）。

案例关联：

- 退耕还林工程中“草灌先行”：优先构建草带廊道稳定水土，再逐步恢复森林（减少干旱区造林风险）；
 - 天然林保护工程：保留河流廊道原生植被，提升水源涵养能力（Ouyang 2016 评估的ESV提升关键）。
-

关键启示

1. **斑块设计原则：**
 - 自然保护：扩大核心斑块（如整合小林地成生态保护区）；
 - 人工修复：形状近圆形（减少边缘比例）+ 多斑块集群布局（如三北工程应建“林斑块群”而非窄林带）。
2. **廊道优化策略：**
 - 生物迁移：宽度 $\geq 100m$ + 本土乔灌草复层结构（保障动物通行隐蔽性）；
 - 灾害防控：防火/防虫隔离廊道需贯穿高风险区（参考澳洲防火林网）。

科学矛盾点：

文档中 Hua 2022 指出人工林生态系统功能低下——因多数工程忽视廊道-斑块协同设计（如三北防护林缺乏动物迁移廊道，斑块孤立化），未来需以“斑块-廊道-基质”系统优化替代单一造林。

生境破碎化

生境破碎化是指原本连续、大面积的生境被分割成多个面积较小、彼此隔离的斑块的过程和结果。这主要由人类活动引起，如：

- **城市化：** 建设用地扩张
- **农业开垦：** 森林、草原转为农田
- **基础设施建设：** 修建道路、铁路、水坝、管道等
- **采矿、伐木等资源开发活动**

生境破碎化被认为是生物多样性丧失的主要原因之一，其负面影响是多方面且深远的：

1. **种群大小下降和局部灭绝风险增加：**
 - 单个生境斑块的面积远小于原始连续生境，因此能支持的物种数量和个体数量（种群大小）大幅减少。
 - 根据岛屿生物地理学理论，面积越小，能承载的物种数越少（物种-面积关系）。
 - 小种群对环境变化（如疾病、火灾、气候变化）、自然灾害和随机事件的抵

抗能力非常脆弱，更容易发生局部灭绝（局部消失）。一块碎片中的种群灭绝后，由于隔离，很难从其他碎片得到补充。

2. 物种丰富度和多样性下降：

- 上面提到的局部灭绝风险增加，加上小生境斑块本身能承载的物种有限（特有物种、需要大面积生境的物种首当其冲），最终导致该地区整体的物种丰富度和多样性显著降低。
- 内部生境物种（喜欢森林内部环境等）尤其容易受影响，因为它们对边缘环境敏感。

3. 遗传多样性下降和近交衰退：

- 隔离的碎片将种群分割成多个亚种群，亚种群之间的基因交流变得困难甚至完全中断。
- 在小种群内，近亲繁殖不可避免，导致有害的隐性基因表达，降低个体的适应力（适应环境变化能力下降）、繁殖力和存活率，这就是近交衰退。
- 遗传漂变在小的隔离种群中作用更强，可能导致等位基因丢失，遗传多样性降低，降低种群长期存活和进化的潜力。

4. 栖息地边缘效应加剧：

- 破碎化大幅增加了“生境边缘”（碎块边界）的长度和比例。
- 边缘环境与内部环境差异巨大：
 - **物理环境改变：**阳光、风、温度、湿度变化（通常更干燥、风更大、温差更大）。
 - **生物入侵：**易于被外来物种、杂草、家畜、害虫入侵。
 - **捕食增加：**一些捕食者（如家猫、狐狸）更容易在边缘活动捕食。
- 对适应内部生境的物种不利，迫使它们向内退缩，进一步压缩了实际可用核心生境面积。

5. 干扰区域（如道路、农田等障碍）影响：

- 生境碎片之间的障碍物本身：
 - **物理阻隔：**阻碍或禁止动物在不同碎片间移动、扩散、寻找食物和配偶、季节性迁徙。
 - **死亡陷阱：**道路导致大量野生动物死于车辆撞击（路杀）。
 - **污染源：**如交通噪音（影响动物交流）、化学污染（农药、重金属）。
 - **传播疾病：**促进不同种群间病原体传播。
 - **促进人类非法活动：**如盗猎、偷伐更易发生。

6. 阻碍物种扩散与迁移：

- 动物和植物种子的自然扩散路线被切断。
- 这对于物种应对气候变化（需向温度适宜地区迁移）至关重要。生境破碎化严重限制了物种追踪适宜气候区的能力，增加了气候变化下的灭绝风险。

7. 破坏关键生态过程和功能：

- **授粉受阻：**依赖动物传粉的植物可能因传粉者无法在不同碎片间活动而结实率下降。
- **种子传播受阻：**依赖动物（如鸟类、哺乳动物）传播种子的植物难以扩散到新的适宜地点。
- **捕食-被捕食关系失衡：**顶级捕食者通常需要大范围活动，破碎化首先将它们排除或使其难以维持，可能导致猎物（如食草动物）数量失控，进而影响植被结构。

- **养分循环改变：** 破碎化和边缘效应可能改变分解者活动速度和凋落物分解方式，影响养分循环效率。
8. **生态系统服务功能退化：**
- 生物多样性下降、生态过程受阻，最终导致生态系统提供服务的能力下降。例如：
 - 水源涵养和净化能力减弱。
 - 碳储存能力（尤其是森林）减弱。
 - 土壤保持能力减弱，水土流失风险增加。
 - 授粉等农业支持功能下降。
 - 天然虫害控制能力下降。

总结来说，生境破碎化如同给一个巨大的、正常运转的生态系统网络切上了多刀，将其打碎并分散开来。这不仅仅是生境面积减少的问题，更核心的是产生了隔离、边缘效应、障碍等，深刻地改变了生态位、种群动态和生态过程，最终导致物种丧失、遗传多样性锐减、生态系统功能退化和生态系统服务下降，是生物多样性保护和生态系统健康面临的严峻挑战。因此，保护大面积的连续生境，并通过生态廊道等方式连接碎片化的斑块，是至关重要的保护策略。

三北防护林

以下是针对三北防护林地区气候条件及天然植被的系统分析，严格依据地理学和生态学研究结论整理，适用于 PPT 汇报结论部分：

三北防护林地区气候特征

1. 干旱半干旱大陆性气候主导

- 降水稀少且集中：
 - 年降水量 200–500 mm，自东向西递减（如科尔沁沙地 400mm，塔克拉玛干沙漠 < 100mm）；
 - 70% 降水集中在 7–9 月，春旱发生率达 75%（造林成活关键制约）。
- 强烈蒸发：
 - 年潜在蒸发量 1,800–2,800 mm（甘肃民勤县实测值），水分赤字高达 6–10 倍。
- 极端温度：
 - 冬季低温：最冷月均温 -17~ -6°C（内蒙古根河市极端低温 -58°C）；
 - 夏季高温：最热月均温 20~26°C（吐鲁番盆地极端高温 49.6°C）。

2. 风蚀动力强劲

- 风沙活动频繁：
 - 年均风速 3–5 m/s，春季达 8–12 m/s（起沙风速 > 5 m/s）；
 - 年沙尘暴日数 10–30 天（宁夏盐池县最高记录 58 天）。

科学矛盾点（PPT 可突出）：

工程区水分承载力不足（降水量 < 400mm 区域）与高密度杨树纯林的水分需求（年均需水 600mm）形成尖锐冲突，导致“小老头树”现象（Liu 2013）。

天然植被类型与适应机制

1. 典型地带性植被

区域	天然植被类型	优势物种（生态型）
东部草原区	温带典型草原	羊草 (<i>Leymus chinensis</i>)、大针茅 (<i>Stipa grandis</i>)
中部荒漠区	荒漠草原/沙地植被	油蒿 (<i>Artemisia ordosica</i>)、沙鞭 (<i>Psammochloa villosa</i>)
西部极端干旱区	荒漠灌木	梭梭 (<i>Haloxylon ammodendron</i>)、柽柳 (<i>Tamarix spp.</i>)

2. 植被生存策略

- **水分高效利用**:
 - 深根系 (如梭梭根深 > 10m)、小叶/退化叶 (如沙蒿叶表面积 < 2cm²)；
- **抗风蚀结构**:
 - 匍匐生长 (沙米 *Agriophyllum squarrosum*)、茎秆柔韧 (沙竹 *Psammochloa mongolica*)；
- **短生育期**:
 - 一年生植物在雨季 40–60 天完成生命周期 (如沙芥 *Pugionium cornutum*)。

关键启示 (PPT 结论页建议):

- **气候适应性修复原则**:
 - ✓ 东部草原区：以羊草草原恢复为核心，辅以榆树疏林 (*Ulmus pumila*) 斑块；
 - ✓ 中西部荒漠区：放弃杨树造林，改用灌草复合廊道 (油蒿+沙柳网格固沙)；
- **工程优化方向**:
 - "以水定林"：降水量 < 400mm 区域严格控制造林密度 (如鄂尔多斯市推广的"1 树+4 灌草"稀植模式)。

数据支撑图示建议 (PPT 配图)

1. 气候图：叠加年均降水量等值线+潜在蒸发量色阶；
2. 植被分区图：标注三类天然植被分布带及特有物种；
3. 对比图：天然灌草群落 vs 人工杨树林的根系剖面 (直观展示深根 vs 浅根差异)。

警示案例引用：

河北坝上地区杨树大面积死亡 (1999–2013 年衰退率 37%) ——印证在半干旱草原区违背天然植被规律的不可持续性 (Liu 2013, *Forest Ecology and Management*)。

我国的生态保护与恢复

根据文档内容，我国的生态保护与恢复工作主要体现在以下几个方面，其核心是通过大型国家级生态工程推动植被恢复和生态系统服务提升：

一、核心生态工程

1. 三北防护林工程

- 启动时间：1979 年
- 范围：西北、华北、东北地区 (占国土面积 42.4%)
- 目标：防风固沙、控制水土流失，被称为“中国的绿色长城”和“生态工程世界之最”。

2. 天然林保护工程
 - 启动时间：2000 年
 - 分层保护策略：
 - 长江上游、黄河上中游：全面禁伐
 - 东北、内蒙古重点林区：严格控制采伐
 - 其他地区：以保护为主
 - 目的：保护天然林资源，转向人工林可持续经营。
 3. 退耕还林（草）工程
 - 启动时间：1999 年（1998 年洪灾和沙尘暴加速推进）
 - 目标耕地：水土流失严重、沙化/盐碱化/石漠化区域及低产耕地。
 - 举措：停止耕种，按“宜林则林，宜草则草”原则恢复植被。
-

二、生态恢复成效（科学验证）

1. 植被与碳汇显著提升
 - Tong et al. 2017：中国喀斯特地区植被生长和碳储量快速增加，与保护投入时间一致。
 - Lu et al. 2018：生态工程覆盖区年碳汇达 132 Tg C/y，其中 56% (74 Tg C/y) 直接归因于生态工程。
 2. 全球领先的植被变绿
 - Chen et al. 2019：2000–2017 年中国主导全球植被变绿（叶面积指数增长），东部森林恢复主要受林业工程驱动。
 3. 生态系统服务价值提升
 - Ouyang et al. 2016：2000–2010 年，除生物栖息地外，中国水源涵养、水土保持等服务价值全面提升，保护政策贡献显著。
 4. 大规模投入与覆盖
 - Bryan et al. 2018：1978–2015 年生态项目总投入 3785 亿美元，覆盖国土面积 65% (623.9 Mha)，1998 年后年均投入增至 406 亿美元（占 GDP 0.37%）。
-

三、存在问题与挑战

1. 人工林生态功能局限
 - Hua et al. 2022（基于全球 264 项研究）：与天然林相比，人工林在生物多样性保护、碳存储、水土保持等服务上普遍较弱。
 2. 干旱区造林风险
 - 河北坝上、御道口牧场等干旱半干旱区出现杨树林大规模死亡（如 Liu et al. 2013），草原带造林导致树苗枯死，反映气候不匹配问题。
 - 核心矛盾：三北防护林等工程在年降水量不足 400mm 的草原带种植需水树种，违背自然地带性规律（天然植被应为草原）。
 3. 恢复策略争议
 - 刘鸿雁提出需科学选择“植树还是种草”，强调干旱区应优先恢复草原而非森林（视频链接提及）。
-

四、景观生态学指导意义

- **格局优化：**通过斑块（生态系统单元）、廊道（生态连接带）、基质（背景环境）的空间配置提升景观连通性。

- **尺度思维**: 工程需兼顾长期（如气候适应）与短期（如火灾管理）尺度（文档中时空尺度表）。
- **学科交叉**: 生态工程需结合地理学（自然地带性）、社会学（退耕农户生计）等多学科知识（学科体系图）。

结论

我国通过全球最大规模的生态工程体系实现了显著的植被恢复和碳汇增长，但部分工程存在人工林功能低下、干旱区造林不可持续等问题。未来需更注重**基于自然的解决方案**（如尊重原生植被类型）、**天然林保护优先及精细化分区管理**，以平衡生态效益与工程可持续性。

第十一讲 生态学的重要法则

文档内容分析

1. 文档结构与主题

- **标题**: 第十一讲 生态学的重要法则
- **主讲人**: 方精云
- **日期**: 2025-05-16
- **核心内容**: 系统梳理生态学不同组织层次（个体、种群、群落、生态系统、全球变化）的关键理论和法则，强调其生物学意义与应用。

2. 生态学组织层次与对应法则

文档按生态学层级划分，每部分列出核心法则：

组织层次	重要法则
个体生态学	贝格曼法则、阿伦法则、最小因子定律、耐受性定律、相关生长（异速生长）法则
种群生态学	种群增长方程（指数/Logistic）、最终产量恒定法则、自然稀疏法则（3/2 法则）
群落生态学	种-面积曲线、生态代谢理论（MTE）、岛屿生物地理学理论
生态系统生态学	食物网理论、能量金字塔、10%法则（未展开）
全球变化生态学	生物地化循环原理、化学元素计量平衡理论（未展开）

3. 重点法则详解

(1) 个体生态学

- **贝格曼法则**
 - **内容**: 恒温动物在寒冷地区体型更大（如北极熊 > 黑熊），以减少散热（比表面积原理）。
 - **生物学解释**: 体型增大 → 比表面积减小 → 散热减少 → 保温能力增强。
- **阿伦法则**
 - **内容**: 寒冷地区恒温动物的突出器官缩短（如北极狐耳短、北极兔四肢短），减少热量散失。

- 核心：体型趋近球形以最小化比表面积。
- 最小因子定律（李比希）
 - 内容：生物生存受最稀缺资源限制（如氮缺乏限制植物生长），即“木桶效应”。
- 耐受性定律（谢尔福德）
 - 内容：生物生存需环境因子在耐受范围内，超出则消亡（如温度、pH 的上下限）。
- 相关生长（异速生长）法则
 - 数学表达：器官生长与整体生长呈幂函数关系 $y = ax^h$ （如人体胸围与体重）。

(2) 种群生态学

- 种群增长模型
 - 指数增长：资源无限时，种群按 $n = n_0 e^{rt}$ 增长（如细菌分裂）。
 - Logistic 增长：资源有限时，增长受密度抑制，公式为 $\frac{dw}{dt} = \lambda w(1 - \frac{w}{W})$ 。
- 最终产量恒定法则
 - 内容：高密度植物种群中，个体重量减少，但总产量恒定 ($w = b\rho^{-a}$ ，当 $a=1$ 时成立)。
- 自然稀疏法则（3/2 法则）
 - 公式： $w = k \rho^{-3/2}$ ，描述密度下降时个体增大的负相关性（如森林树木竞争）。
 - 条件：同种同龄、生境均一、高密度郁闭群落。

(3) 群落生态学

- 种-面积曲线
 - 模型：物种数 (S) 与面积 (z) 的关系：
 - Arrhenius 模型 $S = b \cdot z^k$
 - Gleason 模型 $S = c \lg z + a$
 - 应用：确定最小取样面积、保护区规划。
- 生态代谢理论 (MTE)
 - 核心：物种多样性与温度呈 $\log S \propto \frac{1}{kT}$ （斜率 $E \approx 0.6-0.7$ ）。
 - 争议：斜率随空间尺度变化（中国高纬地区物种丰富度 < 北美）。
- 岛屿生物地理学理论
 - 平衡模型：物种数由迁入率（受隔离距离影响）和灭绝率（受岛屿面积影响）平衡。
 - 公式： $S = cA^z$ （A 为面积，z 为隔离参数）。

4. 关键图表与案例

- 图示辅助理解：
 - 贝格曼/阿伦法则的动物体型对比（北极熊 vs. 黑熊、北极兔 vs. 羚羊兔）。
 - 最小因子定律的“木桶效应”示意图。
 - 自然稀疏的 $\log w - \log \rho$ 线性关系（斜率 -3/2）。
- 实证数据：
 - 中国 vs. 北美树木多样性随温度的变化（支持 MTE 但存在区域差异）。
 - 太平洋岛屿物种数与面积/距离的关系（验证岛屿理论）。

5. 文档特点

- **系统性**: 从微观（个体）到宏观（全球）逐层展开，逻辑清晰。
 - **数理结合**: 重要法则均提供数学公式及生物学推导（如异速生长、Logistic 方程）。
 - **争议点提示**: 如 MTE 的斜率争议、中国高纬地区物种特殊性，体现科学批判性。
 - **应用导向**: 强调法则的实际意义（如农业产量控制、保护区设计）。
-

总结

该文档是生态学核心理论的浓缩，重点在于：

1. **形态适应机制**（贝格曼/阿伦法则）；
2. **资源限制与竞争**（最小因子/耐受性/自然稀疏法则）；
3. **群落构建规律**（种-面积曲线、岛屿理论）；
4. **大尺度格局驱动**（生态代谢理论的温度依赖）。

为深入理解提供了理论基础、数学模型及实证案例，适合生态学学习者系统掌握学科框架。

法则详解

以下是针对文档中每个生态学法则的详细阐释，结合核心原理、数学表达、生物学意义及实际应用：

一、个体生态学法则

1. 贝格曼法则 (Bergmann's Rule)

- **核心原理**: 恒温动物在寒冷地区的体型比温暖地区更大（单位体积散热更少）。
- **机制**:
 - 体型增大 → 比表面积（表面积/体积）减小 → 热量散失减少（保温效率提升）。
 - 公式: 散热速率 \propto 比表面积 $\propto M^{-1/3}$ (M 为体重)。
- **实例**:
 - 北极熊（高纬度，体重 300-700kg）> 黑熊（低纬度，体重 100-300kg）。
 - 白尾鹿：尼加拉瓜（10-15°N）个体 < 密歇根（42-48°N）个体。
- **应用**: 预测气候变化对动物体型的影响（如全球变暖可能导致物种小型化）。

2. 阿伦法则 (Allen's Rule)

- **核心原理**: 寒冷地区的恒温动物突出器官（耳、尾、四肢）缩短，以减少散热。
- **机制**:
 - 器官缩短 → 比表面积减小 → 热量散失降低。
 - 对比: 球形（比表面积最小）> 不规则形状。
- **实例**:
 - 北极兔（短耳、短腿）vs. 沙漠羚羊兔（长耳、长腿）；
 - 北极狐（耳短而圆）vs. 大耳狐（耳长而尖）。
- **意义**: 与贝格曼法则共同解释动物对温度的形态适应（贝格曼重体型，阿伦重局部）。

3. 最小因子定律 (Liebig's Law)

- **核心原理**: 生物生长受最稀缺资源（限制因子）制约。

- **经典案例:**
 - 植物生长受限于土壤中最缺的营养元素（如缺氮时，增施磷钾无效）。
- **“木桶效应”图示:**
 - 木桶装水量取决于最短的木板，而非最长或平均长度。
- **应用:** 农业施肥管理（需先诊断限制性元素）。

4. 耐受性定律 (Shelford's Law)

- **核心原理:** 生物生存需所有环境因子在耐受范围内（单因子超限即致死）。
- **耐受曲线:**
 - 单峰型: 存在最适区间（如温度、pH），超出最低/最高耐受限即死亡。
 - 实例: 鲑鱼生存需水温 4-20°C, 溶解氧 > 5mg/L。
- **意义:** 解释物种分布边界（如珊瑚仅分布热带浅海）。

5. 相关生长 (异速生长) 法则 (Allometric Growth)

- **数学本质:** 器官生长速率 \neq 整体生长速率。
 - 公式: $y = ax^h$ (y : 器官大小, x : 体重, h : 异速生长指数)。
 - 若 $h=1$: 等速生长（如人指甲长度 vs. 体重）；
 - 若 $h \neq 1$: 异速生长（如脑容量 vs. 体重, $h \approx 0.75$ ）。
- **案例:**
 - 蚂蚁头部宽度 (y) 与体长 (x): $h > 1$, 头部生长更快；
 - 树木胸径 (x) 与树高 (y): $h \approx 2/3$, 高度增长慢于直径。

二、种群生态学法则

1. 种群增长模型

- **指数增长:**
 - 条件: 资源无限（如新栖息地）。
 - 公式: $\frac{dN}{dt} = rN \rightarrow N_t = N_0 e^{rt}$ (r : 内禀增长率)。
 - 实例: 入侵物种（如水葫芦初期爆发）。
- **Logistic 增长:**
 - 条件: 资源有限（密度制约效应）。
 - 公式: $\frac{dN}{dt} = rN \left(1 - \frac{N}{K}\right)$ (K : 环境容纳量)。
 - **S 形曲线:** 早期指数增长 \rightarrow 增速减缓 \rightarrow 稳定在 K 值（如培养皿中细菌）。

2. 最终产量恒定法则

- **核心:** 高密度植物种群中，个体变小但总产量不变。
 - 公式: 平均个体重 $w = b \rho^{-a}$ (ρ : 密度)，当 $a=1$ 时总产量 $w\rho = b$ (恒定)。
- **生物学解释:**
 - 资源竞争导致个体变小，但单位面积资源利用率达上限。
- **应用:** 农业避免过度密植（如水稻插秧间距设计）。

3. 自然稀疏法则 (3/2 Law)

- **核心:** 高密度植物种群随生长自发减少密度（竞争淘汰），个体增大。
 - 公式: $w = k \rho^{-3/2} \rightarrow \log w = \log k - \frac{3}{2} \log \rho$ 。
- **条件:**
 - 同种同龄、单层郁闭群落（如松树林）。
- **实例:**
 - 云杉林: 幼苗密度高 \rightarrow 生长中弱者死亡，存活个体增粗（密度 \downarrow ，平均胸

径↑)。

三、群落生态学法则

1. 种-面积曲线 (Species-Area Relationship, SAR)

- 模型：
 - 幂函数 (Arrhenius): $S = cA^z$ ($z \approx 0.25$, 适用于岛屿);
 - 对数函数 (Gleason): $S = c \log A + a$ (适用于连续生境)。
- 应用：
 - 预测物种灭绝: 生境丧失 90% → 物种损失约 50% (因 $S \propto A^{0.25}$);
 - 保护区设计: 大型保护区比多个小型保护区能支持更多物种。

2. 生态代谢理论 (Metabolic Theory of Ecology, MTE)

- 核心假说: 物种多样性受温度驱动的代谢速率控制。
 - 公式: $\log S \propto -\frac{E}{kT}$ ($E \approx 0.65 \text{ eV}$, k : 玻尔兹曼常数, T : 绝对温度)。
- 验证与争议：
 - 支持: 中国/北美树木多样性随温度升高而增加 (斜率 ≈ 0.6);
 - 反例: 高纬地区北美物种 > 中国 (历史冰期避难所效应干扰预测)。

3. 岛屿生物地理学理论

- 平衡模型: 物种数由迁入率 (距离效应) 和灭绝率 (面积效应) 动态平衡。
 - 迁入率: 距离大陆越远 → 迁入率越低;
 - 灭绝率: 岛屿面积越小 → 资源越少 → 灭绝率越高。
- 公式: $S = cA^z$ (z : 隔离参数, 远岛 z 值更高)。
- 应用：
 - 国家公园设计 (大型、靠近物种源);
 - 预测生境破碎化对物种的影响 (如森林孤岛中的鸟类灭绝)。

四、补充说明

- 生态系统/全球变化法则：
 - 10%法则: 能量沿食物链传递时损失 90% (e.g., 1000kg 草 → 100kg 兔 → 10kg 狼);
 - 生物地化循环: 碳/氮等元素在生物圈-大气圈-岩石圈循环 (如 $\text{CO}_2 \uparrow$ 导致温室效应)。
- 关键联系：
 - 个体法则 (适应) → 种群法则 (动态) → 群落法则 (结构) → 系统法则 (功能), 形成生态学完整框架。

以上阐释结合了生理机制、数学模型及现实案例, 可帮助深入理解各法则的科学内涵与应用场景。

第十二讲 气候变暖与碳排放

以下是对文档《第十二讲气候变化及其生态影响》的结构化内容分析, 涵盖核心观点、数据

要点及争议焦点：

一、文档框架与核心内容

1. 气候变化背景

- **观测事实**: 工业革命后全球升温加速, 1901–2020 年增温 **0.99°C** (IPCC AR6)。
- **主因**: 温室气体 (CO_2 、 CH_4 、 N_2O) 浓度上升, 主要来自化石燃料使用。
- **IPCC 角色**: 政府间气候变化专门委员会, 提供权威科学评估 (1988 年成立)。

2. 全球变暖争议点

- **科学争议事件**:
 - **气候门 (2009)**: 黑客曝光气候学家涉嫌操纵数据。
 - **冰川门 (IPCC AR4)**: 误称“喜马拉雅冰川 2035 年消失”(实际应为 2350 年)。
- **四大争论焦点**:
 - 变暖是否真实发生?
 - 人类活动 vs. 自然因素贡献比例?
 - 气候模型的预测准确性?
 - 影响严重性评估?

3. 变暖证据与不确定性

- **证据**:
 - **温度**: 1970 年后加速升温 (图: 1901–2020 年升温曲线)。
 - **冰川退缩**: 巴塔哥尼亚、喜马拉雅映佳冰川等案例。
 - **海平面上升**: 1901–2010 年上升 **19 cm** (冰川融化+海水热膨胀)。
- **不确定性来源**:
 - 地质时期代用资料误差。
 - 气象站点分布不均及城市化影响 (**热岛效应**):
 - 上海城区-郊区温差随城市化加剧 (1975–2005 数据)。
 - 北美热岛效应显著影响区域温度。

4. 气候变暖驱动因素

因素类型	具体影响
人为因素	
- 温室气体	CO_2 (9–26%)、 CH_4 (4–9%)、 N_2O (6%)、 O_3 (3–7%)
- 气溶胶	降温作用 (但不确定性高)
自然因素	
- 水汽 (H_2O)	最大温室气体 (36–72%), 但生命周期短 (平均 9 天), 人类难干预
- 太阳活动/火山爆发	ENSO、火山活动起降温作用 (见图: 温度变化与自然因素关联)
- 地球轨道变化	长期气候波动

注: 水汽未被强调因其浓度稳定且非人为可控。

5. 碳排放与全球变暖关系

- **支持依据**:
 - **物理学基础**: CO_2 浓度 $\uparrow \rightarrow$ 温室效应 $\uparrow \rightarrow$ 升温 (工业革命后 CO_2 浓度曲线)。
 - **气候模型**: 仅加入温室气体后模型能复现变暖趋势。
- **质疑点**:

1. 气溶胶/自然因素影响不明（如 1995–2020 年 CO₂↑但温度停滞）。

2. 大气 CO₂年增量与温度年变化无显著相关性（图示）。

3. 部分时段气温与 CO₂变化反向。

6. 全球碳排放格局（1900–2020）

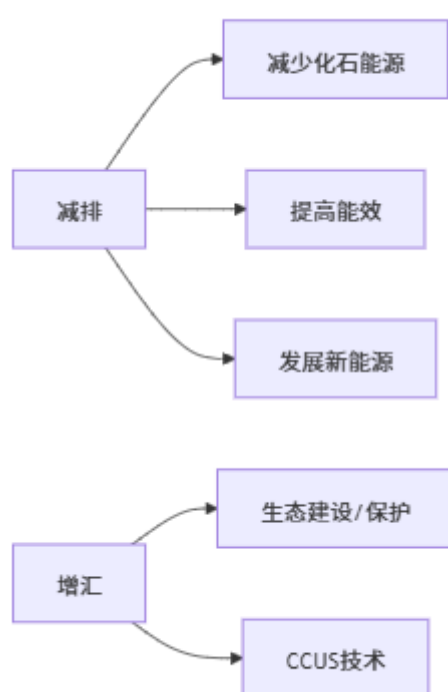
- 累计总量：美国（4067 亿吨）> 欧盟（2751 亿）> 中国（2356 亿）> 印度（543 亿）。
- 人均累计：美国（2026 吨/人）≈ 中国（192 吨/人）的 11 倍。
- 经济关联：人均累积碳排放↑→ 人均 GDP↑（1970–2020 年数据：每吨碳增 100–200 美元 GDP）。

7. 中国“双碳”目标

• 定义：

- 碳达峰：2030 年前 CO₂排放达峰（预测峰值为 29–33 亿吨碳）。
- 碳中和：CO₂排放 = 碳吸收（陆地+海洋+CCUS 技术）。

• 实现路径：



- 中国碳汇作用：陆地生态系统抵消 12.5–27.5% 碳排放（2010s 数据：年碳汇 12.2 亿吨 CO₂）。

8. 反思问题

若无 CO₂排放：可能导致降温、干旱、生物生产力下降、粮食减产等新问题。

二、文档亮点与特色

1. 平衡视角：既陈述 IPCC 共识，也纳入“气候门”等争议事件，体现科学辩证性。
2. 数据可视化：多图展示温度、冰川、海平面、碳排放趋势，增强说服力。
3. 中国焦点：强调中国碳排放在全球的位置及“双碳”路径的本土方案。
4. 关键质疑：深入分析变暖不确定性（如热岛效应、气溶胶），避免单向结论。

三、可深入探讨的方向

1. 气候模型局限性：如何量化自然因素（如太阳活动）的贡献？
 2. 碳汇潜力：中国生态系统（森林、农田等）固碳能力如何进一步提升？
 3. 公平性问题：历史累计碳排放差异下的全球责任分担（美/欧 vs. 中/印）。
 4. 技术路径：CCUS 技术的实际应用瓶颈与成本效益。
-

附：小测验参考答案

1. 温室气体示例：二氧化碳 (CO₂)、甲烷 (CH₄)、氧化亚氮 (N₂O)、氟氯烃 (CFCs)。
2. 相关生长法则示例：城市化与热岛效应（如上海城区温度随城市化加剧而升高）。
3. 变暖不确定性：代用资料误差、气象站点分布偏差、热岛效应、气溶胶作用不明。
此分析覆盖文档核心逻辑，如需聚焦某部分可进一步深入。

没有 CO₂ 排放，自然-社会系统的变化？

根据文档内容，如果没有二氧化碳排放（此处指停止人为排放），自然-社会系统可能发生以下变化：

1. 降温趋势

- 温室效应减弱：CO₂是主要温室气体之一（贡献 9-26%），浓度下降会减少大气吸热能力，导致全球温度逐渐降低。
 - 潜在影响：可能逆转当前变暖趋势，引发区域性气候变冷，影响生态系统和农业分布。
-

2. 生态系统生产力下降

- 光合作用受抑制：CO₂是植物光合作用的原料。浓度降低可能削弱植物生长效率，尤其对 C₃ 植物（如小麦、水稻）影响显著。
 - 生物圈碳汇减弱：陆地生态系统碳吸收能力下降（文档提到当前陆地碳汇占人为排放的 29%），可能进一步打破碳循环平衡。
-

3. 粮食安全风险

- 农作物减产：低 CO₂环境可能降低作物光合速率，导致全球粮食产量减少。研究显示，工业化前 CO₂浓度 (280 ppm) 下作物产量比现代 (420 ppm) 低 10-15%。
 - 干旱加剧：文档提到 CO₂减少可能伴随“干旱”问题，影响水资源和灌溉农业。
-

4. 自然碳循环失衡

- 海洋酸化缓解但生物链受冲击：海洋吸收 CO₂减少会缓解酸化，但部分海洋生物（如浮游植物）依赖 CO₂生存，可能影响海洋食物网。
 - 碳汇功能衰退：陆地与海洋碳汇能力依赖碳循环动态，CO₂浓度骤降可能扰乱自然过程。
-

5. 社会经济影响

- 能源转型阵痛：若强制零排放，依赖化石燃料的产业（如重工业、交通）可能瘫痪，

短期内引发经济衰退（文档指出碳排放与 GDP 增长呈正相关）。

- **疾病模式改变：**降温可能扩大寒带病媒生物（如蜱虫）活动范围，增加呼吸道疾病风险（如文档提到的“疾病增多”）。

科学依据

- 文档末尾明确提出：“如果没有 CO₂排放，可能引发降温、干旱、生物圈生产力下降、粮食减产、疾病增多”。
- 基于物理学机制：CO₂浓度与温室效应的因果关系是 IPCC 核心结论（文档第一部分）。

需注意的复杂性

- **自然因素作用：**太阳活动、火山喷发等自然因素仍会影响气候，可能放大或抵消 CO₂ 减少的效果。
- **时间尺度：**上述变化需数十年至百年显现，短期影响较小。

综上，停止 CO₂ 排放虽可抑制全球变暖，但可能因打破现有气候-生态-经济平衡而引发系统性风险。这也印证了文档观点：人类需通过技术手段（如新能源、碳汇增强）逐步实现“碳中和”，而非激进归零排放。

第十三讲 水环境变化与人类健康

以下是对所提供的系统性内容分析，按核心模块、逻辑脉络和关键信息进行结构化梳理：

一、文档整体框架

1. 课程信息

- **课程名称：**生态学与环境变化（全校理工科类平台课）
- **主讲单位：**北京大学城市与环境学院
- **教师团队：**方精云、王志恒、朱彪、徐福留
- **课时安排：**第十三讲（水环境变化，5.9）、第十四讲（大气环境变化，5.30）
- **推荐阅读：**《环境与健康》（贾振邦，北京大学出版社，2008）

2. 内容结构

- **第一部分：**生态学基本理论与应用
- **第二部分：**环境变化与人体健康
 - **本讲主题：**第十三讲《水环境变化与人类健康》

二、核心内容分析

(一) 水环境基本特征

1. 天然水的组成

- **离子成分：**阳离子 (Na⁺、K⁺、Ca²⁺、Mg²⁺)、阴离子 (Cl⁻、SO₄²⁻、CO₃²⁻、HCO₃⁻)
- **其他组分：**气体 (O₂、CO₂)、微量元素 (氟、碘、砷等)、胶体物质 (腐殖质)、非溶解物 (泥沙、细菌)。

2. 关键指标

- **矿化度**: 以干涸残余物总量衡量, 分为淡水 (<1 g/L)、微咸水 (1-3 g/L)、咸水 (3-10 g/L)、盐水 (10-50 g/L)、卤水 (>50 g/L)。
- **硬度**: 由 Ca^{2+} 、 Mg^{2+} 含量决定, 硬水危害包括锅炉结垢、心血管疾病风险等。

3. 水资源分布

- **全球视角**: 淡水仅占 2.53%, 其中 68.7% 为冰川, 可利用淡水资源稀缺。
- **中国现状**:
 - 总量全球第 6, 人均仅为世界 1/4 (2300 m^3), 属“重度缺水”国家。
 - 空间不均: 南多北少 (400mm 降水线为界), 时间不均 (河流季节性断流)。
- **应对策略**: 南水北调、红旗河工程 (藏水入疆)、国际调水案例 (美国加州、以色列北水南调)。

(二) 水环境变化驱动因素

1. 自然因素

- **水循环**: 蒸发-输送-降水-径流过程, 影响水资源分配与污染物迁移。
- **洋流作用**:
 - 暖流增湿 (增加降雨)、寒流减湿 (形成沙漠)
 - 扩散污染物 (如福岛核废水)、影响渔场分布 (寒暖流交汇区)
- **气候异常**: 厄尔尼诺 (东太平洋增温) 引发洪涝/干旱。

2. 人为因素

- **污染排放**:
 - 全球每年 4200 亿 m^3 污水排入水体, 中国 77% 湖泊富营养化 (巢湖、太湖、滇池)。
 - 污染类型: 重金属 (Cd 、 Hg 、 As)、有机物、营养盐 (N 、 P 导致藻华)。
- **水利工程**:
 - 巢湖案例: 建闸后滞留时间延长 → 沉水植物消亡 → 藻类暴发提前 10 年。
- **其他活动**: 城市化 (需水量 \uparrow)、农业 (化肥流失)、采矿 (重金属废水)。

(三) 水环境变化对健康的影响

1. 直接影响途径

- 饮用/接触污染水 → 摄入污染物 (如高氟水致氟骨症)。
- **致癌风险**: As 、 Cr^{6+} 、亚硝酸盐等; **非致癌风险**: Cd (骨痛病)、 Hg (水俣病)。

2. 间接影响途径

- 水 → 水生生物 → 人类 (如甲基汞通过鱼类富集致水俣病)。
- 水 → 土壤 → 农作物 → 人类 (如 Cd 污染稻米致“痛痛病”)。

3. 典型疾病关联

污染物	疾病案例	致病机制
甲基汞	日本水俣病 (1950s)	神经毒性, 致瘫痪、死亡
镉	日本骨痛病 (1930s)	肾损伤 → 钙磷代谢紊乱 → 骨质疏松
氟	中国地方性氟中毒	饮水/燃煤释放氟 → 氟斑牙、骨变形
高硬度水	心血管疾病、结石风险 \uparrow	$\text{Ca}^{2+}/\text{Mg}^{2+}$ 沉积

4. 宏观影响

- 水环境是文明起源基础 (四大文明均发源于大河流域)。

- 当前全球挑战：80%疾病与污染水相关，50%儿童死亡归因于水污染（WHO）。

三、关键图表与数据

1. **全球水资源分布图**：凸显淡水稀缺性（冰川占 68.7%）。
2. **中国水资源分布图**：400mm 降水线划分南北差异，北方人均量 < 500m³（极度缺水）。
3. **巢湖建闸影响示意图**：量化闸坝导致滞留时间延长（142 天 → 198 天），加速污染累积。
4. **洋流模式图**：解释污染物迁移（如北极熊体内 POPs）、渔场形成机制（秘鲁/北海道渔场）。

四、核心结论与警示

1. **水资源危机**：中国是全球人均水资源最贫乏国之一，需通过工程与技术手段缓解。
2. **污染治理紧迫性**：工农业排放是水环境恶化的主因，巢湖案例警示水利工程需生态评估。
3. **健康风险关联**：重金属/有机物污染通过食物链放大，历史公害病（水俣病、骨痛病）需引以为戒。
4. **系统性对策**：需统筹水资源管理（调水）、污染控制（减排）、生态修复（恢复水生植被）。

总结：本文档从水环境特征→变化驱动→健康效应构建完整逻辑链，结合全球与中国案例，强调水资源保护与污染治理的紧迫性，为理工科学生提供生态风险与公共健康的交叉视角。

胡焕庸线

胡焕庸线是一条在中国人口地理和自然地理上具有划时代意义的标志性分界线。

核心概念：

胡焕庸线（Hu Line），或称“胡焕庸人口地理分界线”，是中国地理学家胡焕庸教授在 1935 年提出的，用以描述中国人口分布极端不均衡现象的重要界线。

具体位置：

这条线大致呈东北-西南走向：

- **起点：** 黑龙江省的黑河市（旧称“瑷珲”）。
- **终点：** 云南省的腾冲市（旧称“腾冲”）。

胡焕庸线将中国版图大致划分为两大区域：

1. **东南半壁：** 位于这条线的东南部。
2. **西北半壁：** 位于这条线的西北部。

核心特征与意义：

1. **人口分布极度不均：** 这是胡焕庸线最基本也最显著的特征。
 - **面积占比：** 东南半壁面积约占全国陆地总面积的 43%，西北半壁约占 57%。
 - **人口占比（历史上及至今仍大致成立）：**
 - **东南半壁：** 约 94% 的中国人口集中居住在这里。（胡焕庸 1935 年的数据是 96%，后来随着西北开发略有下降，但仍在 90% 以上，例如 2010 年第六次人口普查时约为 94%，近年略有下降但仍占绝对多数）。

- 西北半壁：仅约 6% 的人口居住在这片广袤的土地上。
 - 通俗说法：它揭示了中国“东密西疏”、“东部拥挤、西部空旷”的基本人口格局。
2. 自然地理与生存环境的分野：
- 东南半壁：主要是季风气候区（亚热带季风、温带季风），降水相对丰沛，平原、丘陵、低山为主，土地较肥沃，水系发达（如长江、黄河、珠江流域），适合农耕和人类密集居住。
 - 西北半壁：主要是非季风气候区（温带大陆性气候、高原山地气候），降水稀少，干旱、半干旱环境广布，地形以高原、高山、沙漠、戈壁为主（如青藏高原、内蒙古高原、塔克拉玛干沙漠），生存条件相对严苛，环境承载力低。
3. 经济文化发展的分界：
- 东南半壁：历史上就是中国的经济、文化和政治核心区，人口密集带来发展优势，经济相对发达，交通便利，城市化程度高，现代工业、服务业集中。
 - 西北半壁：受自然条件限制，历史上开发程度较低，经济相对欠发达（尽管有资源禀赋），地广人稀，交通等基础设施相对薄弱。

形成原因：

- 自然地理因素起决定性作用：气候、降水、地形、水文等自然条件是塑造这种人口格局的基础性因素。适宜的气候和水土资源是农业社会和早期工业社会人口大规模聚集的前提。
- 历史与农业经济基础：中国数千年的农耕文明主要发生在东南部适合耕种的土地上，形成了稳定的高密度农业社会和城市文明。
- 交通与区位：东南沿海拥有天然的海运便利，近代以来更成为对外开放的前沿，利于经济发展和人口聚集。
- 现代发展路径依赖：人口集聚本身产生了规模效应和基础设施集聚优势，进一步吸引了更多人口和经济活动，形成正反馈循环。西北部开发则面临巨大的自然障碍和发展成本。

补充要点：

- 别称：“瑷珲-腾冲线”。
- 学术名称：在人口地理学上被称为“人口密度对比线”或“人口地理分界线”。
- 长期稳定性：尽管经历了抗日战争（导致部分人口西迁）、新中国建设（如三线建设、西部大开发）等事件，人口在局部虽有迁移，但胡焕庸线所揭示的宏观人口分布格局表现出惊人的长期稳定性。即使到今天，在快速城镇化和交通通信发展的背景下，基本格局仍未发生根本性改变。
- 重要意义：
 - 认识国情的基础：是理解中国最基本国情（人地关系）的关键工具。
 - 研究基准线：在人口学、地理学、经济学、环境科学、城市规划、区域发展等领域研究中具有重要参考价值。
 - 政策制定依据：为中国制定区域协调发展战略、扶贫政策、生态保护（如主体功能区规划）、国土空间规划等提供了重要的科学依据，引导决策者关注东西部发展的不平衡不充分问题。
- 动态观察：随着气候变化、技术进步（如水处理、农业技术）、交通改善（如高铁）和国家发展战略（如西部大开发、“一带一路”）的推进，一些学者关注这条线是否会有缓慢变化或需要进行新的解读，但其根本性作用在可预见的未来仍将持续。

总结来说，胡焕庸线是一条深刻揭示了中国人口分布与自然地理、经济发展之间关系的核心分界线。它以清晰的东北-西南走向，描绘出中国“东部人口稠密、经济发达”与“西部地广人稀、发展滞后”的巨大区域差异格局，是研究中国国情和区域发展最重要的地理标志之一。

厄尔尼诺现象和拉尼娜现象

厄尔尼诺现象 (El Niño) 和拉尼娜现象 (La Niña) 是地球上最显著的两个自然气候波动模式，它们都是赤道中东太平洋海表温度大范围、持续异常的表现，属于一个更大的气候系统循环（称为“厄尔尼诺-南方涛动”或 ENSO）的两个相反极端状态。

它们会显著影响全球大气环流，进而对世界各地的天气和气候（如气温、降水、风暴路径）产生深远影响。

1. 厄尔尼诺现象

- **核心特征：** 赤道中东太平洋（靠近南美海岸）海洋表面水温出现异常、持续的显著升高（高于长期平均值 0.5°C 或以上）。
- **成因（简化）：**
 - 正常情况下，强劲的东南信风将太平洋表层温暖的海水向西吹（堆积在澳大利亚、印尼附近），同时使得太平洋东岸（南美沿海）深层的冷海水上翻（上升流），带来养分。
 - 在厄尔尼诺期间，**东南信风显著减弱**（甚至变成西风）。
 - 暖水不再向西堆积，反而在赤道中东部太平洋聚集甚至向东回流。
 - 冷海水上翻减弱或停止，导致东太平洋海水异常温暖。
- **主要影响（举例）：**
 - **赤道太平洋及其周边：** 原本湿润的澳大利亚、印尼、菲律宾等地变得异常干旱、炎热（野火风险）。秘鲁、厄瓜多尔等地则出现异常多雨（洪水）。
 - **美洲：** 美国南部（加州等）冬季通常多雨、风暴增加。巴西东北部可能干旱。
 - **其他地区：** 南部非洲部分地区干旱。印度季风可能减弱（降水减少）。北美北部和欧洲部分地区冬季可能偏暖。大西洋飓风活动通常受抑制。太平洋台风路径可能偏东。
- **整体效应：** 厄尔尼诺年份通常导致全球平均地表温度升高（在已经有全球变暖趋势的背景下尤其明显，易创下高温记录）。

2. 拉尼娜现象

- **核心特征：** 赤道中东太平洋海洋表面水温出现异常、持续的显著下降（低于长期平均值 0.5°C 或以上）。
- **成因（简化）：** 与厄尔尼诺相反。
 - 东南信风**异常强劲**。
 - 更多暖水被吹向西太平洋堆积（澳大利亚、印尼附近海温更高）。
 - 太平洋东岸（南美沿海）的冷海水上翻**异常增强**，导致赤道中东太平洋海表温度比平时**更低**。
- **主要影响（举例）：**
 - **赤道太平洋及其周边：** 澳大利亚、印尼、东南亚等地降雨增多（洪涝）。南美西海岸（秘鲁、厄瓜多尔）则更加干旱。

- **美洲**: 美国南部(尤其是西南部)可能干旱。美国北部及加拿大的冬季通常更冷、降雪更多。大西洋飓风活动通常更活跃(数量可能更多、更强)。
- **其他地区**: 南美东北部(如巴西)多雨。印度季风可能增强(降水增多)。非洲南部可能多雨。西太平洋和澳大利亚附近的台风/气旋活动可能更活跃。
- **整体效应**: 拉尼娜年份可能会暂时、局部性地减缓全球变暖趋势(但长期变暖趋势不变)，全球平均温度往往比厄尔尼诺年略低。

总结对比表

特征	厄尔尼诺 (El Niño)	拉尼娜 (La Niña)
赤道中东太平洋海温	异常、持续显著变暖	异常、持续显著变冷
信风	减弱(甚至出现西风)	增强
沃克环流	减弱，暖湿空气移至中东部太平洋	增强，暖湿空气聚集在西部太平洋
秘鲁/厄瓜多尔沿海	暖湿、多雨(洪涝)	干冷、干旱
澳大利亚/印尼	干热、干旱(林火风险)	暖湿、多雨(洪涝)
美国南部冬季	暖湿、风暴多	干冷、干旱
美国北部/加拿大冬季	偏暖	偏冷、多雪
南美东北部	干旱	多雨
印度季风	易减弱(干旱)	易增强(洪涝)
大西洋飓风季	受抑制(活动减弱)	更活跃(更多、更强飓风)
全球平均温度	易创高温记录	相对厄年略低(但仍在变暖趋势上)
频率/持续时间	约每2-7年一次，持续9-12个月(甚至更长)	约每2-7年一次，常比厄年持续更久
两者关系	同一循环(ENSO)的两个相反极端	

重要补充

- **中性状态**: 大部分时间处于厄尔尼诺和拉尼娜之间，称为**ENSO 中性状态**。
- **ENSO 循环**: 厄尔尼诺和拉尼娜现象通常交替出现(但不完全规则)，合称为**ENSO (厄尔尼诺-南方涛动) 循环**。一个完整循环平均周期约为2-7年。
- **监测与预报**: 科学家通过浮标、卫星等持续监测海温、信风等数据，并结合气候模型进行预报。准确预报这两种现象对于农业规划、水资源管理、防灾减灾至关重要。
- **与气候变化**: 目前研究仍在深入探讨全球变暖如何影响ENSO的频率、强度和特征模式。有证据表明强厄尔尼诺事件可能变得更频繁。

总而言之，厄尔尼诺和拉尼娜是地球气候系统的自然振荡现象，对全球天气格局有着“牵一发而动全身”的巨大影响。理解它们有助于我们更好地预测和应对极端气候事件。

微量元素对人体健康的影响

环境中微量元素对人体健康的影响具有典型的双重性：部分元素是人体必需的营养物质，但在过量或缺乏时均会导致健康风险。以下是关键要点：

一、必需微量元素：剂量决定作用

元素	生理功能	缺乏症	过量危害	主要环境来源
氟(F)	强化骨骼、防龋齿	龋齿、骨质疏松	氟骨症(关节变形)、氟斑牙	高氟地下水、燃煤污染
碘(I)	甲状腺激素合成	甲状腺肿、呆小症(智力障碍)	甲状腺功能亢进、甲状腺炎	土壤/水碘分布不均
硒(Se)	抗氧化、免疫调节	克山病(心肌坏死)、大骨节病	脱发、神经系统损伤	土壤硒含量地域差异
锌(Zn)	酶活性中心、生长发育	免疫力下降、伤口愈合延迟	胃肠功能紊乱、铜缺乏	工业排放、含锌农药

典型案例：

- 中国地方性氟中毒**: 北方高氟地下水地区(如山西、内蒙古)，饮水氟含量>1.5 mg/L时，氟斑牙患病率超30%。
- 克山病**: 黑龙江低硒土壤带，人群血硒<0.02 mg/L时，心肌坏死风险显著上升。

二、有毒微量元素：极低剂量即可致病

元素	健康危害	致病机制	典型疾病/事件	暴露途径
砷(As)	皮肤角化、癌变	破坏DNA修复、诱发基因突变	台湾乌脚病(皮肤癌)	含砷矿石污染地下水
镉(Cd)	肾损伤、骨软化	置换骨骼钙质、抑制维生素D	日本痛痛病(骨痛、骨折)	矿山废水→稻米富集
汞(Hg)	神经毒性、致畸	破坏神经元、穿透血脑屏障	水俣病(瘫痪、死亡)	工业汞→水体甲基化→鱼贝
铅(Pb)	儿童智力损伤、贫血	干扰血红素合成、损害神经系统	全球儿童血铅超标(IQ下降)	含铅涂料、汽车尾气

典型事件：

- 水俣病**(日本，1950s): 化工厂排放甲基汞→鱼体富集→人食鱼后神经系统损伤，致死率超25%。
- 痛痛病**(日本，1930s): 铅锌矿镉污染河水→稻田灌溉→稻米含镉→人群肾衰竭、骨质软化。

三、环境迁移与健康风险放大

1. 水体富集作用

- 砷、氟等通过地下水迁移，在低流速区域浓度升高(如华北平原深层地下水砷超标率达10%)。
- 汞在厌氧水体中被微生物甲基化，毒性增强100倍(如松花江汞污染事件)。

2. 食物链生物放大

- 镉：土壤→水稻→人体(亚洲稻米摄入贡献50%以上镉暴露)。
- 甲基汞：浮游生物→小鱼→大鱼→人体(金枪鱼体内汞浓度可达水体10万倍)。

四、应对策略

- 源头控制：严格限制工业重金属排放(如《水俣公约》全球控汞)。

2. 工程干预：改水降氟（中国北方饮水工程）、土壤修复（镉污染稻田石灰调节）。
 3. 膳食调整：低硒地区补充硒盐、高砷地区避免饮用浅层地下水。
- 关键提示：**微量元素健康风险具有**强地域性**（如氟中毒集中在干旱区、砷中毒见于冲积平原），需结合环境介质浓度与人群暴露途径进行精准防控。

第十四讲 大气环境变化与人类健康

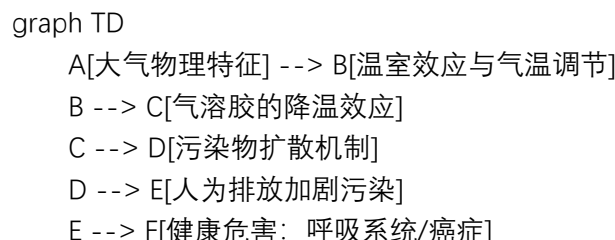
以下是对文档内容的系统性分析，结合结构框架、核心知识点和逻辑关联进行梳理：

一、文档整体结构

1. 三大核心模块

模块	主要内容	关键子主题
1. 大气环境基本特征	物理与化学组成	气温、气压、垂直分层（对流层/平流层）、气体成分 ($N_2/O_2/CO_2/O_3$)、气溶胶
2. 大气环境变化驱动因素	自然运动与人为影响	大气环流（三圈环流/季风/城市风）、人类排放（固定源/移动源）、污染类型（雾霾/臭氧洞/酸雨）
3. 对人类健康的影响	暴露途径与健康效应	直接呼吸暴露、间接食物链暴露、PM2.5 致癌性、多环芳烃 (PAHs) 致癌机制、健康风险评估模型

2. 逻辑递进关系



二、核心知识点解析

1. 大气物理特征

- 气温垂直分层
 - 对流层：气温递减率 ($0.65^{\circ}\text{C}/100\text{m}$)，人类活动主要区域。
 - 平流层：臭氧层吸收紫外线 (O_3 浓度下降致臭氧洞)。
- 温室效应关键证据
 - 地球均温 15°C vs 金星 460°C (CO_2 占 97%) vs 月球无大气 ($-183\text{~}127^{\circ}\text{C}$)。
 - 千年尺度气温与 CO_2 浓度正相关（图示证据）。

2. 大气化学组成

成分	作用	环境问题
O_3 (臭氧)	平流层：紫外防护 对流层：强氧化剂	南极臭氧洞（氟利昂催化） 光化学烟雾 污染物
气溶胶	凝结核促降雨 散射太阳辐射（降温）	载体作用：承载 PAHs 等致癌物 PM2.5 穿透肺泡入血

CO_2/CH_4	温室气体保温	工业排放致浓度上升→全球变暖
---------------------------	--------	----------------

3. 大气运动与环境影响

- 环流类型与作用

- 行星风系：三圈环流调节热量输送（67%由大气环流完成）。
- 局地环流：
 - 城市热岛→城市风（污染物向郊区扩散）
 - 山谷风/海陆风→污染物局地循环。

- 污染传输案例

- 北极熊体内检出 DDT/PCB（持久性有机物跨洲传输）。
- 华北雾霾：北风减轻污染，南风加重（地形与环流叠加）。

4. 人为污染与健康危害

- 主要污染类型

- 雾霾：PM2.5（一级致癌物，2013年中国35.9霾日/年）。
- 光化学烟雾： $\text{O}_3+\text{NOx}+\text{挥发性有机物(VOCs)}$ 。
- 酸雨： SO_2/NOx 排放。

- 健康影响机制

污染物	健康效应	数据支持
PM2.5	肺泡沉积→入血→心脑血管疾病	2010年全球300万人死亡 中国123万人死亡（第4大死因）
苯并[a]芘	DNA损伤→肺癌	中国居民暴露浓度7.6ng/m³（超国标30%人口）
O₃	呼吸系统炎症	每增加10µg/m³，死亡率升0.3%

- 风险评估模型

- 暴露途径：呼吸（直接）+食物链（间接）。
- 剂量效应：PM2.5每增20µg/m³，死亡率线性上升（WHO模型）。

三、关键图表与证据

- 温室效应对比图：金星（ CO_2 97%）、地球（ CO_2 0.03%）、月球（无大气）表面温度差异。
- 南极臭氧洞变化图：1970s起平流层 O_3 急剧减少（氟利昂催化）。
- 全球PM2.5分布图：中国东部、印度北部为全球污染核心区。
- 苯并芘暴露-肺癌风险图：京津冀、长三角超标人口占比超40%。

四、结论与延伸方向

- 污染治理核心：

- 减排（工业/交通源）+区域联防联控（如京津冀协同治霾）。

- 健康防护建议：

- 个人：重污染日减少户外活动，佩戴N95口罩。
- 社会：建立污染预警系统（如AQI>300停课停工）。

- 未解决问题：

- 气溶胶降温效应能否抵消温室效应？
- 臭氧层恢复进度（蒙特利尔议定书执行效果）。

此文档系统整合了大气科学与环境医学的交叉知识，强调自然机制与人为干扰的平衡破坏是健康风险的根源，数据支撑扎实，逻辑链条完整。

污染物进入人体的途径

根据提供的两份课件内容，污染物进入人体的途径可归纳为以下三类：

1. 直接接触（呼吸、皮肤、饮水）

- **呼吸暴露（大气污染物）：**

吸入空气中的颗粒物（如 PM_{2.5}、PM₁₀）、气态污染物（如 SO₂、NO₂、O₃、VOCs）等，直接进入呼吸道和肺部（文件 2, P63、P75）。

- **皮肤暴露：**

大气污染物（如甲醛、有机溶剂）或水污染物（如重金属、有机化学物）通过皮肤接触吸收（文件 2, P63；文件 1, P74）。

- **饮水暴露：**

摄入受污染的水源（如含重金属、氟化物、有机污染物或致病微生物的水），直接进入消化道（文件 1, P74、P82）。

2. 间接暴露（食物链传递）

- **水产品途径：**

水生生物（鱼类、贝类）富集水中的污染物（如甲基汞、镉、多环芳烃），人类食用后摄入毒素（文件 1, P74、P88；文件 2, P74）。

- **农作物途径：**

- 污水灌溉导致土壤污染，重金属（如镉、铅）或有机污染物被农作物吸收，通过粮食、蔬菜进入人体（文件 1, P74、P91）。
- 大气污染物（如苯并[a]芘）沉降到土壤或植物表面，污染农产品（文件 2, P74）。

- **肉类/乳制品途径：**

污染物通过饲料进入牲畜，在动物体内累积（如二噁英、抗生素），人类食用后间接暴露（文件 1, P74）。

3. 其他特殊途径

- **母婴传递：**

污染物（如甲基汞、多氯联苯）通过胎盘或母乳影响胎儿/婴儿（文件 1, P88；文件 2, P69）。

- **二次污染暴露：**

- 大气污染物经干湿沉降进入水体或土壤，再通过饮水或食物链进入人体（文件 2, P40）。
- 室内污染物（如装修释放的甲醛、VOCs）通过空气或尘埃被吸入或误食（文件 2, P76）。

关键案例佐证

- **水俣病（日本）：**甲基汞通过受污染鱼类进入人体，导致神经损伤（文件 1, P87）。

- **骨痛病** (日本): 镉通过污染稻米进入人体，引发肾衰竭和骨质疏松 (文件 1, P90)。
 - **室内 VOCs 暴露**: 甲醛、苯系物通过装修材料释放，经呼吸或皮肤接触引发癌症 (文件 2, P76)。
 - **多环芳烃 (PAHs)**: 大气中的苯并[a]芘沉降到农作物，经食用导致肺癌 (文件 2, P74、P81)。
-

总结

污染物主要通过 **直接接触（呼吸、饮水、皮肤）** 和 **食物链传递（水产品、农作物、肉类）** 进入人体，且可能通过母婴传递或二次污染扩大暴露范围。防控需针对这些途径采取减排、净化水源、食品安全监管及个人防护等措施。

重金属污染的健康危害

根据文档内容，重金属污染的健康危害主要体现在以下几个方面：

1. 体内累积性与慢性中毒

- **不易代谢**: 重金属进入人体后无法被分解代谢，长期滞留并累积 (文档 1)。
- **蓄积途径**: 通过饮水、食物链 (如鱼类、农作物) 进入人体，与蛋白质结合形成难降解的化合物 (文档 1)。

2. 典型疾病与健康影响

- **汞 (Hg) 中毒 (水俣病)**:
 - **症状**: 神经系统损伤 (口齿不清、运动障碍、麻痹)，甚至死亡 (文档 1)。
 - **案例**: 日本水俣湾甲基汞污染导致鱼类中毒，人食用后患病 (文档 1)。
- **镉 (Cd) 中毒 (骨痛病)**:
 - **症状**: 初期关节痛，后期全身骨痛、骨质疏松、易骨折，脊柱变形 (文档 1)。
 - **机制**: 镉损害肾功能→抑制维生素 D 活性→钙磷代谢紊乱→骨骼软化 (文档 1)。
- **其他重金属危害**:
 - **致癌性**: 砷 (As)、铬 (Cr)、镍 (Ni) 等可诱发癌症 (文档 1)。
 - **多系统损伤**: 影响造血系统 (贫血)、免疫系统、内分泌系统及心血管系统 (文档 1)。

3. 暴露途径多样化

- **直接暴露**: 饮用污染水、呼吸含重金属颗粒物 (如 PM2.5 携带的重金属) (文档 1, 2)。
- **间接暴露**:
 - **食物链传递**: 污染水灌溉农田→重金属在作物中累积 (如“镉米”) →经消化道进入人体 (文档 1)。
 - **大气沉降**: 大气中的重金属通过降水进入水体/土壤，间接影响人类健康 (文档 2)。

4. 中国当前风险

- **污染源广泛**: 采矿、冶炼、工业排放、煤炭燃烧等导致水体和大气重金属污染 (文档 1)。
 - **潜在重演风险**: 文档 1 警示“骨痛病会在中国重演吗？”，强调需警惕类似日本的重金属污染事件 (文档 1)。
-

关键案例与数据支持

重金属	疾病	主要症状/机制	案例来源
汞	水俣病	神经系统损伤、运动障碍、死亡	日本水俣事件
镉	骨痛病	肾损伤→钙磷代谢紊乱→骨质疏松、骨折	日本神通川流域
多种	致癌风险	砷、铬等通过饮水/呼吸诱发癌症	文档 1 健康风险分析

结论：重金属污染的健康危害具有长期性、累积性和多系统毒性，需严格管控工业排放及水资源保护，防止历史公害事件重演。

雾霾污染的成因与危害

根据提供的文档内容，结合大气环境科学相关知识，雾霾污染的成因与危害可归纳如下：

一、雾霾污染的成因

1. 主要污染物来源

- **人为排放**（主导因素）：
 - **燃煤污染**：工业燃煤、冬季供暖释放大量 SO₂、烟尘及多环芳烃（PAHs）等致癌物。
 - **机动车尾气**：汽车排放的氮氧化物（NO_x）、挥发性有机物（VOCs）、PM2.5 和 PM10。
 - **工业排放**：化工、冶金等行业产生的重金属颗粒物（如铅、镉）及有机污染物。
 - **生活源**：餐饮油烟、建筑扬尘、垃圾焚烧等。
- **自然源**：沙尘暴、火山灰、海盐颗粒等，但占比相对较小。

2. 气象条件加剧污染

- **逆温层现象**：冷空气层覆盖暖空气，导致污染物无法垂直扩散（文档中提及大气垂直运动受阻）。
- **静稳天气**：低风速、高湿度抑制水平扩散，易形成持续性雾霾（如北京持续 8 天的污染案例）。
- **地形影响**：盆地（如京津冀）易堆积污染物。

3. 二次颗粒物生成

- **光化学反应**：NO_x、VOCs 在阳光下反应生成臭氧（O₃）和二次细颗粒物（PM2.5），加剧雾霾（文档提到光化学烟雾）。
- **气溶胶吸湿增长**：PM2.5 吸附水汽后体积膨胀，降低能见度。

4. 区域传输与复合污染

- **跨区域输送**：大气环流携带污染物迁移（如华北平原污染物传输至周边地区）。
- **多污染物协同**：燃煤（SO₂、烟尘）与机动车尾气（NO_x）复合污染形成“煤烟型+光化学型”混合雾霾。

二、雾霾污染的危害

1. 健康危害（文档重点强调）

- **呼吸系统**：

- PM2.5 可深入肺泡，引发哮喘、支气管炎、肺气肿（慢性暴露），急性暴露导致咳嗽、呼吸困难。
- 多环芳烃（如苯并[a]芘）为强致癌物，增加肺癌风险（文档指出 PAHs 致癌性）。
- **心血管系统：**
 - PM2.5 进入血液诱发炎症，升高心肌梗死、中风风险（WHO 数据：臭氧暴露每增加 $10\mu\text{g}/\text{m}^3$ ，心脏病风险增 0.4%）。
- **其他系统：**
 - 血液系统：重金属（如铅）干扰造血功能。
 - 神经系统：超细颗粒物（PM0.1）可能穿透血脑屏障，与阿尔茨海默症相关。
 - 免疫系统：长期暴露降低免疫力，增加感染风险。
- **致癌性：**
 - 世界卫生组织（WHO）认定雾霾为一级致癌物（2015 年报告）。
 - 中国研究：2003 年多环芳烃暴露导致肺癌死亡率增加 1.6%，30% 人口暴露浓度超标（文档数据）。

2. 特殊人群风险

- **儿童：**发育期器官更敏感，雾霾关联儿童医院就诊率上升（如北京雾霾期间儿科就诊增 40%）。
- **老年人/慢性病患者：**心肺功能脆弱，死亡率显著升高。

3. 环境与气候影响

- **阳伞效应：**气溶胶散射阳光，削弱地表辐射，影响农作物光合作用（文档提及颗粒物降低地面温度）。
- **酸雨与生态破坏：**SO₂、NO_x转化为硫酸盐/硝酸盐颗粒，沉降后导致土壤酸化、水体富营养化。

4. 社会经济成本

- **医疗负担：**呼吸/心血管疾病治疗费用激增（2010 年全球因 PM2.5 死亡超 300 万人）。
- **交通延误：**低能见度引发航班取消、高速公路封闭（如华北 1981–2010 年雾霾日数增 4 倍）。

三、防治对策（基于文档补充）

1. **源头减排：**淘汰燃煤锅炉、推广新能源车，严控工业排放。
2. **区域联防联控：**跨省市协同治理（如京津冀大气污染传输通道）。
3. **预警与防护：**发布 AQI 指数，重污染天减少户外活动，使用 N95 口罩/空气净化器。

关键数据佐证：

- 中国 PM2.5 年均浓度每上升 $20\mu\text{g}/\text{m}^3$ ，死亡率增加约 8%（WHO 模型）。
- 2013 年中国 74 个城市中，仅 3 个 PM2.5 年均值达标（《中国环境状况公报》）。

雾霾污染是自然条件与人类活动叠加的复杂问题，需科学治理与公众防护结合以降低危害。

阳伞效应

“阳伞效应”是一个描述大气中的微小颗粒物（气溶胶）对太阳辐射产生遮挡作用，从而降低地表温度的气候效应。

你可以把它想象成在大气层中撑开了一把巨大的阳伞：

1. 关键“材料”：气溶胶粒子

- 这些粒子非常小，可以长时间悬浮在大气中。
- 它们来源多样：
 - **自然来源：**火山喷发（向高层大气喷出大量硫酸盐颗粒和火山灰）、沙尘暴、森林大火产生的烟尘、海水飞沫蒸发的盐粒等。
 - **人为来源：**燃烧化石燃料（煤、石油、天然气）产生的硫酸盐、硝酸盐、煤烟（黑碳）颗粒、汽车尾气、工业粉尘、农业活动产生的灰尘等。

2. 工作原理：反射与散射

- 这些气溶胶粒子本身颜色较浅（硫酸盐、盐粒）或虽然颜色深（黑碳）但数量众多、极其微小。
- 它们能**有效地反射、散射和吸收**来自太阳的入射短波辐射（阳光）。
- 结果就是，**到达地球表面的阳光总量减少了**。
- 更少的阳光抵达地表 → 地表的加热效应减弱 → 地表温度下降。

3. 与温室效应的关系：一个冷却机制

- 温室效应主要是由温室气体（如二氧化碳、甲烷）造成的，它们允许大部分太阳短波辐射进入，但吸收并重新辐射地表发出的长波（红外）辐射，从而使**大气层和地表变暖**，类似于温室大棚。
- 阳伞效应的作用方向正好相反，它通过**阻挡太阳辐射进入地表**来冷却地表温度。
- 因此，阳伞效应通常被认为是地球气候系统中的一个**自然或人为的冷却机制或负反馈机制**。

4. 重要特征与影响：

- **降温作用：**最显著的效果是直接降低地表温度。例如，大型火山喷发（如1991年菲律宾皮纳图博火山喷发）会将大量气溶胶喷入平流层，这些气溶胶可以在全球范围内停留1-3年，显著降低全球平均温度达零点几摄氏度（虽然幅度不大，但对气候系统有可观测的影响）。工业化以来的人为气溶胶排放也被认为部分抵消了温室气体导致的全球变暖趋势。
- **影响降水：**
 - **减少降水：**气溶胶增多会使到达地面的太阳辐射减少，影响地表的蒸散发，进而可能减少可形成降水的云量和水汽。
 - **改变降水模式：**某些气溶胶（如黑碳）在吸收太阳光后能局部加热大气层，改变大气稳定度和环流模式，从而影响降雨的区域分布。
 - **充当凝结核：**一些气溶胶（特别是吸湿性的硫酸盐粒子）可以作为云凝结核。有足够的凝结核时，云中会产生**更多、更小的水滴**（而不是少量大水滴）。小水滴的碰撞效率较低，它们更难增长到足够大形成雨滴降落下来（除非云层很厚、上升气流很强），这可能会导致云的生命周期延长、降水效率降低。
- **区域性与局部性：**阳伞效应的强度和影响范围具有区域性，通常在与污染源关联的地区（如工业区）或火山喷发路径区域表现得更为明显。其影响也比温室效应更复杂和难以精确量化。
- **与空气质量关联：**大多数人为气溶胶同时是空气污染的主要成分，对人类健康和生态系统有直接危害（如导致呼吸系统疾病、酸雨等）。

总结来说：

“阳伞效应”是指大气中的气溶胶颗粒（来自火山、污染、尘埃等）像一把撑开的阳伞一样，反射、散射和吸收部分入射的太阳辐射，减少抵达地球表面的阳光总量，从而导致地表温度降低的一种降温机制。这是地球气候系统中一个重要而复杂的因素，常与导致升温的温室效应共同作用，影响着全球和区域的气候变化。理解阳伞效应对全面评估人类活动对气候的影响以及预测未来气候趋势至关重要。

大气运动与人类活动对大气环境的影响

以下基于文档内容，系统讲解大气运动和人类活动对大气环境的影响：

一、大气运动对大气环境的影响

大气运动通过热量输送、污染物扩散和区域气候调节，深刻改变大气环境。

1. 热量再分配（大气环流的核心作用）

- **热量传输机制：**

低纬度（40°N-40°S）太阳辐射过剩，高纬度（极地）辐射亏损。大气环流（占 67%）和洋流（占 33%）共同向极地输送热量。

- **环境影响：**

- 高纬度（60°-90°）升温 19~23°C，避免极寒；
- 赤道降温约 13°C，缓解极端高温；
- 维持地球宜居温度（地表平均 15°C），对比无大气的月球（-183~127°C）或金星（460°C）。

2. 污染物迁移与扩散

- **全球尺度传输：**

大气环流携带持久性有机污染物（POPs，如 DDT、多环芳烃）跨洲迁移。例：北极熊体内检出 100+ 种污染物（源于低纬度工业排放）。

- **区域尺度影响：**

- 风场调控污染浓度：如北京北风可稀释污染物，南风则加重污染（外源输入）；
- 垂直运动影响扩散：对流层上升气流稀释污染物，逆温层抑制扩散。

3. 局地环流改变区域环境

- **海陆风：**沿海地区昼间海风（海洋→陆地）增湿降温，夜间陆风（陆地→海洋）干燥。
- **山谷风：**白昼谷风（谷底→山坡）助污染物上山，夜间山风（山坡→谷底）致谷地污染堆积。
- **城市热岛环流：**城市高温区空气上升，郊区冷空气下沉，形成闭合环流，加剧城区污染滞留（如 PM_{2.5}）。

二、人类活动对大气环境的影响

人类活动通过排放污染物直接破坏大气组成与结构，引发多重环境问题。

1. 污染源与主要污染物

污染源类型	代表污染物	主要来源
工业源（固定源）	SO ₂ 、NO _x 、PM _{2.5} 、VOCs	燃煤、化工生产

交通源（移动源）	NO _x 、CO、O ₃ （二次生成）、PM _{2.5}	机动车尾气
生活源（面源）	CO ₂ 、PM ₁₀ （餐饮/取暖）	燃煤、秸秆焚烧

2. 典型大气环境问题

- 雾霾（PM_{2.5}/PM₁₀主导）：
 - 成因：工业燃煤（含硫化合物）+ 机动车尾气（氮氧化物、VOCs）复合污染。
 - 影响：散射太阳辐射（阳伞效应），降低地表温度；携带致癌物（如苯并[a]芘）入肺。
 - 中国现状：2013年华北霾日达35.9天（1971年仅6.7天），PM_{2.5}年均值超标（国标35μg/m³ vs 实际>70μg/m³）。
- 臭氧层破坏：
 - 成因：氟里昂等污染物进入平流层，催化臭氧分解。
 - 表现：南极臭氧洞（自1970年代末持续扩大），削弱紫外线防护能力。
- 温室效应加剧：
 - 驱动因素：CO₂（工业排放）、CH₄（农业/能源）浓度上升。
 - 证据：千年尺度气温与CO₂浓度正相关（文档图），对比金星（CO₂占97%，地表460°C）。
- 酸雨与健康风险：
 - 成因：SO₂、NO_x在大气中转化为硫酸/硝酸。
 - 间接健康影响：酸化土壤→重金属溶出→污染食物链（如镉米）。

三、关键案例与数据佐证

1. PM_{2.5}的全球健康负担：
 - WHO认定为一类致癌物，2010年全球约300万人死于PM_{2.5}相关疾病（中国占123万）。
 - 浓度每上升20μg/m³，死亡率增加15%（欧盟数据）。
2. 大气环流的热调节价值：

若无极向热输送，高纬温度将降低19~23°C，赤道升温13°C，地球宜居性大幅下降。
3. 局地环流的污染放大效应：

北京“城市风”导致污染物向城区汇聚，2015年雾霾期间儿童医院就诊量增40%。

结论

- 大气运动是地球环境平衡的“调节器”，通过热量和物质输送维持气候稳定，但也可扩散污染物。
- 人类活动已成为大气环境恶化的主因，需通过减排（如清洁能源）、联防联控（如区域协同治霾）及个人防护（如雾霾天减少外出）应对。
二者共同塑造了当代大气环境问题的复杂性与全球性。